

บทที่ 4

ผลการทดลองและอภิปรายผลการทดลอง

4.1 การเตรียมตัวอย่างน้ำมันรำข้าวกำ

จากการคัดเลือกรำข้าวกำทั้งหมด 7 ตัวอย่าง คือ ข้าวกำลีมผ้า ข้าวกำดอยสะเก็ด ข้าวกำพะ夷า ข้าวกำเชียงราย ข้าวกำตอ ข้าวกำปึง และข้าวกำป่าอีค้อ และรำข้าวขาวจำนวน 2 ตัวอย่าง คือ ข้าวเหนียวสันป่าตองและข้าวขาวดอกมะลิ 105 โดยแหล่งวัตถุดิบตัวอย่างข้าวดังแสดงในตารางที่ 4.1 จากนั้นจึงทำการจะทำเปลี่ยนด้วยเครื่องลีข้าวทองทวี รุ่น 1000 TURBO เพื่อเก็บตัวอย่างรำข้าว โดยรูปตัวอย่างรำข้าวที่ได้ดังแสดงในรูปที่ 4.1 เมื่อได้ตัวอย่างรำข้าวแล้วจึงทำการเตรียมตัวอย่างน้ำมันรำข้าวกำด้วยเทคนิคการบีบเย็น (FEA-100SS-M-H-TC, ห้องหุ้นส่วนจัดเพื่อน พลังงาน, เชียงใหม่) และการสกัดด้วยคาร์บอนไดออกไซด์วิกฤตยิ่งยอด (supercritical carbon dioxide extraction, SCDE) ที่ความดัน 450 bar อุณหภูมิ 60 องศาเซลเซียส ซึ่งคัดเลือกสภาวะการสกัดด้วยคาร์บอนไดออกไซด์วิกฤตยิ่งยอดมาจากโครงการวิจัย “การพัฒนาระบบนำส่งสารสกัดแคมม่า-โอลิโซนอลจากข้าวสาลี่พันธุ์ไทยที่มีศักยภาพในการป้องกันการก่อมะเร็งลำไส้ใหญ่และลำไส้ตรง” โดยปริมาณร้อยละของน้ำมันรำข้าวกำที่เตรียมได้จากทั้ง 2 วิธี ดังแสดงในตารางที่ 4.2

ตารางที่ 4.1 แหล่งวัตถุดิบตัวอย่างข้าว

ลำดับที่	ตัวอย่าง	แหล่งวัตถุดิบ
1	ข้าวกำลีมผ้า	สำนักงานเกษตรอำเภอพบพระ จังหวัดตาก
2	ข้าวกำดอยสะเก็ด	ศูนย์วิจัยข้าวเชียงใหม่ จังหวัดเชียงใหม่
3	ข้าวกำแหงสีหิน (พะ夷า)	กลุ่มน้ำนาข้าวกำพะ夷า อำเภอจุน จังหวัดพะ夷า (ศูนย์เมล็ดพันธุ์ข้าวพะ夷า)
4	ข้าวกำเวียงป่าเป้า (เชียงราย)	วิสาหกิจชุมชนกลุ่มผลิตข้าวกล้องอินทรีย์เพื่อสุขภาพอำเภอเวียงป่าเป้า จังหวัดเชียงราย (ศูนย์วิจัยข้าวเชียงราย จังหวัดเชียงราย)
5	ข้าวกำตอ	สำนักงานเกษตรอำเภอพบพระ จังหวัดตาก
6	ข้าวกำปึง	สำนักงานเกษตรอำเภอชุมแสง จังหวัดตาก
7	ข้าวกำป่าอีค้อ	ศูนย์วิจัยข้าวป่างมะผ้า จังหวัดแม่ฮ่องสอน
8	ข้าวเหนียวสันป่าตอง	ศูนย์วิจัยข้าวเชียงใหม่ จังหวัดเชียงใหม่
9	ข้าวขาวดอกมะลิ 105	ศูนย์วิจัยข้าวเชียงใหม่ จังหวัดเชียงใหม่

Sample_1



รำข้าวกำลีมผ้า

Sample_2



รำข้าวกำดอยสะเต๊ด

Sample_3



รำข้าวกำหงส์หิน (พะ夷า)

Sample_4



รำข้าวกำเวียงป่าเป้า (เชียงราย)

Sample_8



รำข้าวเหนียวสันป่าตอง

Sample_9



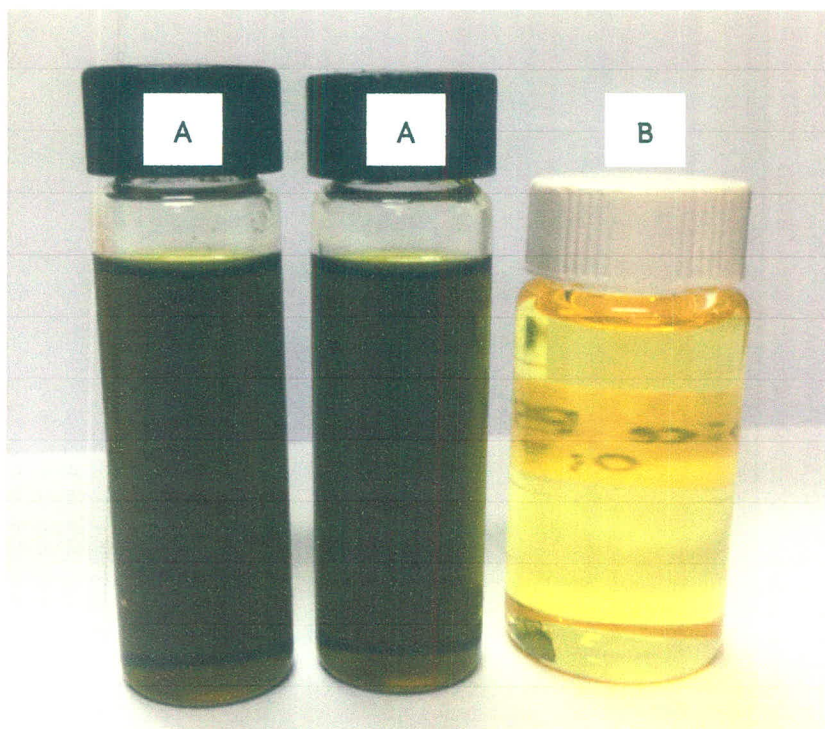
รำข้าวขาวดอกมะลิ 105

รูปที่ 4.1 ตัวอย่างรำข้าวที่เตรียมได้จากการกระเทาเปลือกข้าว

ตารางที่ 4.2 ปริมาณร้อยละ (%yield) น้ำมันรำข้าวกำที่ได้

ลำดับที่	ตัวอย่าง	ปริมาณร้อยละ (%yield) น้ำมันรำข้าว	
		การบีบเย็น	SCDE
1	ข้าวกำลีมผั่ว	4.65 ± 0.55	6.88 ± 0.58
2	ข้าวกำดอยสะเก็ด	4.27 ± 0.45	6.26 ± 0.38
3	ข้าวกำพะ夷า	4.08 ± 0.39	6.16 ± 0.53
4	ข้าวกำเชียงราย	3.93 ± 0.47	5.87 ± 0.44
5	ข้าวกำต่อ	4.19 ± 0.43	6.32 ± 0.52
6	ข้าวกำปึง	4.33 ± 0.42	6.73 ± 0.47
7	ข้าวกำป้าอีค้อ	4.54 ± 0.51	7.15 ± 0.45
8	ข้าวเหนียวสันป่าตอง	3.68 ± 0.45	5.85 ± 0.36
9	ข้าวข้าวดอกมะลิ 105	3.75 ± 0.38	5.56 ± 0.43

SCDE: Supercritical Carbon Dioxide Extraction; Mean ± SD



รูปที่ 4.2 น้ำมันรำข้าวกำ (A) และน้ำมันรำข้าวขาว (B) ที่เตรียมได้

จากการเตรียมตัวอย่างน้ำมันรำข้าวกำลังด้วยเทคนิคการบีบเย็นและการบอนไดออกไซด์วิกฤติยังคง พบว่าเทคนิคการสกัดน้ำมันรำข้าวกำลังด้วยเทคนิคการบอนไดออกไซด์วิกฤติยังคงให้ร้อยละผลผลิตน้ำมันรำข้าวกำลัง (%yield) สูงกว่าการสกัดน้ำมันรำข้าวด้วยการบีบเย็น เมื่อเปรียบเทียบปริมาณน้ำมันรำข้าวกำลังกับน้ำมันรำข้าวขาวที่ได้จากการสกัดทั้ง 2 วิธี พบว่ารำข้าวกำลังให้ปริมาณน้ำมันรำข้าวกำลังที่สูงกว่าน้ำมันรำข้าวขาวซึ่งเป็นมาตรฐาน (ข้าวเหนียวลันป่าตองและข้าวขาวดอกมะลิ 105) สำหรับการสกัดน้ำมันรำข้าวกำลังด้วยเทคนิคการบีบเย็นนั้นพบว่ารำข้าวกำลังมีผิวให้ร้อยละของน้ำมันรำข้าวกำลังสูงที่สุดเท่ากับร้อยละ 4.65 ± 0.55 ตามมาด้วยรำข้าวกำลังป้าอีกดอและรำข้าวกำลังปึง ตามลำดับ ในขณะที่การสกัดน้ำมันรำข้าวกำลังด้วยเทคนิคการบอนไดออกไซด์วิกฤติยังคงน้ำมันรำข้าวกำลังสูงที่สุดเท่ากับ 7.15 ± 0.45 ตามมาด้วยรำข้าวกำลังป้าอีกดอและรำข้าวกำลังปึง ตามลำดับ เมื่อเปรียบเทียบสีของน้ำมันรำข้าวที่เตรียมด้วยเทคนิคการบีบเย็นและการบอนไดออกไซด์วิกฤติยังคงพบว่าน้ำมันรำข้าวกำลังที่เตรียมได้จะมีสีที่เข้มกว่าน้ำมันรำข้าวขาวซึ่งมีความเป็นไปได้ที่น้ำมันรำข้าวกำลังที่เตรียมได้อาจมีสารกลุ่มแอนโธไซยานิน (สารสีม่วงแดง) ถูกสกัดออกมากด้วยจึงทำการวิเคราะห์หาปริมาณแอนโธไซยานินด้วยเทคนิค pH different spectrometry วิเคราะห์ปริมาณสารประกอบพืชนลโดยรวมและปริมาณสารประกอบฟลาโนนอยด์โดยรวม จากนั้นจึงนำตัวอย่างน้ำมันรำข้าวกำลังทั้ง 14 ตัวอย่างและน้ำมันรำข้าวขาวอีก 4 ตัวอย่างมาวิเคราะห์หาปริมาณแคมม่า-โอโรชานอลด้วยเทคนิค reversed-phase HPLC ด้วยตัวตรวจวัดชนิดมูวี วิเคราะห์รูปแบบและปริมาณโทโคลิตรอีนอลและโทโคลิเพอรอลด้วยเทคนิค reversed-phase HPLC ด้วยตัวตรวจวัดชนิดฟลูออเรสเซนต์ รวมทั้งชนิดและปริมาณของกรดไขมันด้วยเทคนิค GC/MS/MS

4.2 การตรวจวิเคราะห์ปริมาณสารประกอบพืชนลลิกทั้งหมด

จากรายงานการวิจัยพบว่าสารประกอบพืชนลลิกเป็นสารที่มีความสัมพันธ์กับฤทธิ์ต้านออกซิเดชัน (Saenjum et al., 2010) โครงสร้างของสารประกอบพืชนลลิกนั้นประกอบด้วยวงแหวนอะโรมาติกและมีหมู่แทนที่ที่เป็นหมู่ไฮดรอกซิลอย่างน้อย 1 หมู่ จากการวิเคราะห์ปริมาณสารประกอบพืชนลลิกทั้งหมดด้วย Folin-Ciocalteu reagent ในสารสกัดที่เตรียมได้จากน้ำมันรำข้าวกำลัง 14 ตัวอย่างและน้ำมันรำข้าวขาว 4 ตัวอย่าง จากการผลการวิเคราะห์ปริมาณสารประกอบพืชนลลิกทั้งหมดแสดงในตารางที่ 4.3

ตารางที่ 4.3 ปริมาณสารประกอบพื้นอลิกทั้งหมด

ลำดับที่	ตัวอย่าง	ปริมาณสารประกอบพื้นอลิกโดยรวม (mg GAE/100 g น้ำมัน)	
		การบีบเย็น	SCDE
1	ข้าวกำลีมผ้า	38.59 ± 1.47 ^A	27.65 ± 1.58 ^{ab}
2	ข้าวกำลําดอยสะเก็ด	28.43 ± 1.35 ^{bc}	22.27 ± 1.35 ^c
3	ข้าวกำลําพะ夷า	26.54 ± 1.42 ^c	21.76 ± 1.27 ^{cd}
4	ข้าวกำลําเชียงราย	25.88 ± 1.36 ^c	19.34 ± 1.16 ^d
5	ข้าวกำลําต่อ	31.28 ± 1.33 ^B	23.48 ± 1.28 ^c
6	ข้าวกำลําปึง	32.38 ± 1.29 ^B	25.38 ± 1.32 ^{bc}
7	ข้าวกำลําป้าอีค้อ	36.74 ± 1.37 ^A	28.24 ± 1.46 ^a
8	ข้าวเหนียวลันป่าตอง	15.78 ± 1.25 ^D	11.68 ± 1.43 ^e
9	ข้าวข้าวดอกมะลิ 105	14.36 ± 1.18 ^D	11.16 ± 1.37 ^e

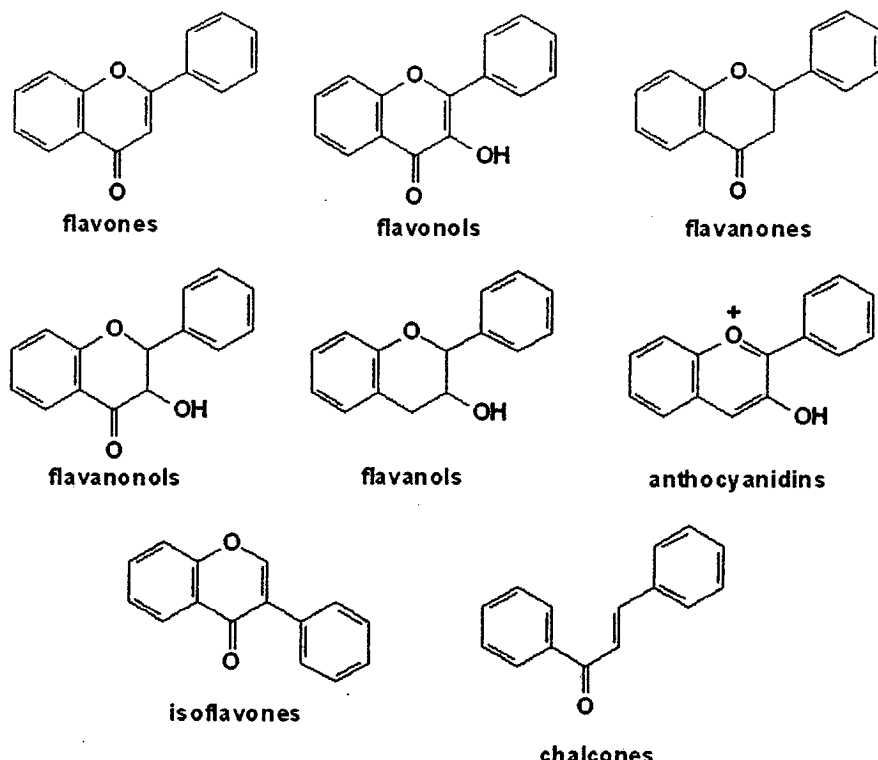
SCDE: Supercritical Carbon Dioxide Extraction; Mean ± SD; วิเคราะห์ที่ระดับความเชื่อมั่นร้อยละ 95 ในแต่ละวิธีการเตรียมตัวอย่างน้ำมันรำข้าว

จากการวิเคราะห์ปริมาณสารประกอบพื้นอลิกทั้งหมดในสารสกัดที่เตรียมได้จากน้ำมันรำข้าวทั้ง 7 ตัวอย่างและน้ำมันรำข้าวข้าว 2 ตัวอย่าง พบว่าน้ำมันรำข้าวที่เตรียมด้วยการบีบเย็น ตรวจวิเคราะห์พบปริมาณสารประกอบพื้นอลิกทั้งหมดสูงกว่าน้ำมันรำข้าวที่เตรียมด้วยเทคนิคคาร์บอนไดออกไซด์วิกลฤทธิ์ยิ่งyat อาจมีความเป็นไปได้จากการเตรียมน้ำมันรำข้าวด้วยเทคนิคคาร์บอนไดออกไซด์วิกลฤทธิ์ยิ่งกดน้ำมันสามารถสกัดได้เฉพาะสารสำคัญกลุ่มไม่มีช้ำ (Bimakr et al., 2010) สารสำคัญกลุ่มนี้มีช้ำที่พบในน้ำมันรำข้าวคือ สารกลุ่มแแกมม่า-โอโซนอล โทโคไตรอีนอล และโทโคเพอรอล เมื่อพิจารณาจากโครงสร้างของแแกมม่า-โอโซนอลซึ่งเป็นเอสเทอโรของกรดフェอูลิกซึ่งมีส่วนประกอบของฟีนอลในโครงสร้าง นอกจากนั้นโทโคไตรอีนอลและโทโคเพอรอลมีส่วนประกอบของฟีนอลในโครงสร้างในส่วนของวงแหวนโครงสร้าง (ดังแสดงในรูปที่ 2.2) จึงให้ผลบวกเมื่อตรวจวิเคราะห์ปริมาณสารประกอบพื้นอลิกทั้งหมดด้วย Folin-Ciocalteu reagent ในขณะที่การเตรียมตัวอย่างน้ำมันรำข้าวด้วยเทคนิคการบีบเย็นนั้นมีสารสำคัญอื่นๆ ถูกสกัดออกมากกว่า การเตรียมตัวอย่างน้ำมันรำข้าวด้วยเทคนิคการบีบเย็นได้แก่ สารกลุ่มแยนโธไซยาโนฟลาโนนอยด์ เป็นต้น ซึ่งแสดงให้เห็นจากการตรวจวิเคราะห์ปริมาณฟลาโนนอยด์และแยนโธไซยาโนทั้งหมดดังแสดงในตารางที่ 4.4 และ 4.5 ตามลำดับ นอกจากนั้นเมื่อเปรียบเทียบระหว่างกลุ่มตัวอย่างน้ำมันรำข้าวทั่วไปและน้ำมันรำข้าวขาวพบว่า น้ำมันรำข้าวที่เตรียมด้วยเทคนิค

การสกัดหั้ง 2 วิธีนั้นมีปริมาณสารประกอบฟีโนลิกทั้งหมดสูงกว่าน้ำมันรำข้าวขาวอย่างมีนัยสำคัญ ทางสถิติที่ระดับความเชื่อมั่นร้อยละ 95 โดยที่น้ำมันรำข้าวขาวกำลังผ่านการบีบเย็นมีปริมาณสารประกอบฟีโนลิกทั้งหมดสูงสุดที่ 38.59 ± 1.47 mg GAE/100 g น้ำมัน

4.3 การตรวจวิเคราะห์ปริมาณสารประกอบพลาโนนอยด์ทั้งหมด

สารกลุ่มพลาโนนอยด์เป็นสารประกอบฟีโนลประกอบด้วย polyphenol มีสูตรโครงสร้างทางเคมีเป็นวงแหวนอะโรมาติกที่มีหมู่จำนวนหมู่แทนที่ไฮดรอกซิลรวมอยู่ในโมเลกุลตั้งแต่ 2 โมเลกุลขึ้นไป สารกลุ่มพลาโนนอยด์แบ่งเป็นกลุ่มย่อยได้หลายกลุ่ม ตามสูตรโครงสร้างทางเคมีโดยเฉพาะวงแหวนที่มีอะตอมของออกซิเจนอยู่ในรูปแบบต่างๆ ดังแสดงในรูปที่ 4.3 ซึ่งจากรายงานวิจัยพบว่าสารกลุ่มพลาโนนอยด์มีฤทธิ์ทางชีวภาพที่หลากหลาย เช่น ฤทธิ์ต้านออกซิเดชัน ฤทธิ์ป้องกันการก่อมะเร็ง ฤทธิ์ต้านการอักเสบ ฤทธิ์ป้องกันหลอดเลือดแดงแข็ง (antiatherosclerotic effects) ฤทธิ์ป้องกันกระดูกพุ่น เป็นต้น (Nijveldt *et al.*, 2001) ผลการวิเคราะห์ปริมาณพลาโนนอยด์ทั้งหมดของตัวอย่างน้ำมันรำข้าวมากกว่า 14 ตัวอย่างและน้ำมันรำข้าว 4 ตัวอย่าง โดยเปรียบเทียบกับสารมาตรฐาน quercetin (mg QAE/100 g น้ำมัน) แสดงในตารางที่ 4.4



รูปที่ 4.3 สารประกอบกลุ่มพลาโนนอยด์ (Nijveldt *et al.*, 2001)

ตารางที่ 4.4 ปริมาณสารประกอบพลาโนยด์ทั้งหมด

ลำดับที่	ตัวอย่าง	ปริมาณสารประกอบพลาโนยด์ทั้งหมด (mg QAE/100 g น้ำมัน)	
		การบีบเย็น	SCDE
1	ข้าวกำลีมผ้า	15.77 ± 1.63 ^A	13.27 ± 1.29 ^a
2	ข้าวกำลือยสะเก็ด	14.38 ± 1.38 ^{AB}	12.48 ± 1.17 ^{ab}
3	ข้าวกำลทะยา	13.29 ± 1.44 ^B	12.18 ± 1.25 ^{ab}
4	ข้าวกำลเชียงราย	13.16 ± 1.38 ^B	11.32 ± 1.09 ^b
5	ข้าวกำลต้อ	14.56 ± 1.49 ^{AB}	12.55 ± 1.27 ^a
6	ข้าวกำลึง	15.45 ± 1.47 ^A	13.58 ± 1.33 ^a
7	ข้าวกำลปาอีค้อ	16.25 ± 1.56 ^A	13.22 ± 1.16 ^a
8	ข้าวเหนียวลันป่าตอง	7.46 ± 1.36 ^C	6.39 ± 1.15 ^c
9	ข้าวข้าวคอกมะลิ 105	7.67 ± 1.24 ^C	6.53 ± 1.08 ^c

SCDE: Supercritical Carbon Dioxide Extraction; Mean ± SD; วิเคราะห์ที่ระดับความเชื่อมั่นร้อยละ 95 ในแต่ละวิธีการเตรียมตัวอย่างน้ำมันรำข้าว

จากการวิเคราะห์ปริมาณพลาโนยด์ทั้งหมดของสารสกัดน้ำมันรำข้าวกล้า 14 ตัวอย่าง และน้ำมันรำข้าวข้าว 4 ตัวอย่าง พบร่วมน้ำมันรำข้าวกล้าที่เตรียมตัวอย่างน้ำมันด้วยการบีบเย็นและคาร์บอนไดออกไซด์วิกฤตยังขาดมีปริมาณพลาโนยด์ทั้งหมดสูงกว่าในรำข้าวข้าวอย่างมีนัยสำคัญทางสถิติ จากผลการทดลองที่กล่าวมาก่อนหน้านี้แสดงให้เห็นว่าน้ำมันรำข้าวกล้าจะมีสีที่เข้มกว่าน้ำมันรำข้าวขาดังแสดงในรูปที่ 4.2 จึงมีความเป็นไปได้ที่น้ำมันรำข้าวกล้าที่เตรียมได้นั้นจะประกอบด้วยสารกลุ่มแอนโธไซยานินซึ่งเป็นสารกลุ่มพลาโนยด์ที่ตรวจพบในรำข้าวกล้า (Zhang et al., 2010) ซึ่งให้ผลบวกกับการวิเคราะห์ปริมาณพลาโนยด์ทั้งหมด เช่นเดียวกัน ดังนั้นในการวิเคราะห์ปริมาณพลาโนยด์ทั้งหมดของน้ำมันรำข้าวกล้าจึงมีปริมาณพลาโนยด์ทั้งหมดสูงกว่าในน้ำมันรำข้าวข้าว

4.4 การตรวจวิเคราะห์ปริมาณสารประกอบแอนโธไซยานินทั้งหมด

จากลักษณะทางกายภาพของน้ำมันรำข้าวถ้าที่เตรียมได้จากทั้งเทคนิคการบีบเย็นและคาร์บอนไดออกไซด์วิกลุตยิ่งขึ้นเมื่อสีเข้ม (สีน้ำตาล ดังแสดงในรูปที่ 4.2) จึงมีความเป็นไปได้ในการเตรียมตัวอย่างน้ำมันรำข้าวถ้าหากมีสารสีม่วงแดง (แอนโธไซยานิน) ถูกสกัดออกมากด้วย แต่เมื่อสารกลุ่มแอนโธไซยานินอยู่ในรูปของ chalcone จากการวิเคราะห์ปริมาณแอนโธไซยานินทั้งหมดด้วยเทคนิค pH different spectrophotometry ซึ่งได้ดัดแปลงจากการของ Kim et al. (2005) เมื่อนำตัวอย่างน้ำมันรำข้าวที่เตรียมได้มาสกัดสารกลุ่มแอนโธไซยานินด้วยสารละลายน 0.1 N กรดไฮโดรคลอโริกใน ethyl alcohol จะทำให้โครงสร้างที่อยู่ในรูปของ chalcone เปลี่ยนเป็นโครงสร้างของสารกลุ่มแอนโธไซยานิน (Moldovan et al., 2012) จากนั้นจึงจะเห็นตัวทำละลายออกแล้วนำสารสกัดที่ได้มาวิเคราะห์ปริมาณแอนโธไซยานินทั้งหมดด้วยเทคนิค pH different spectrophotometry ผลการวิเคราะห์ดังแสดงในตารางที่ 4.5

ตารางที่ 4.5 ปริมาณสารประกอบแอนโธไซยานินทั้งหมด

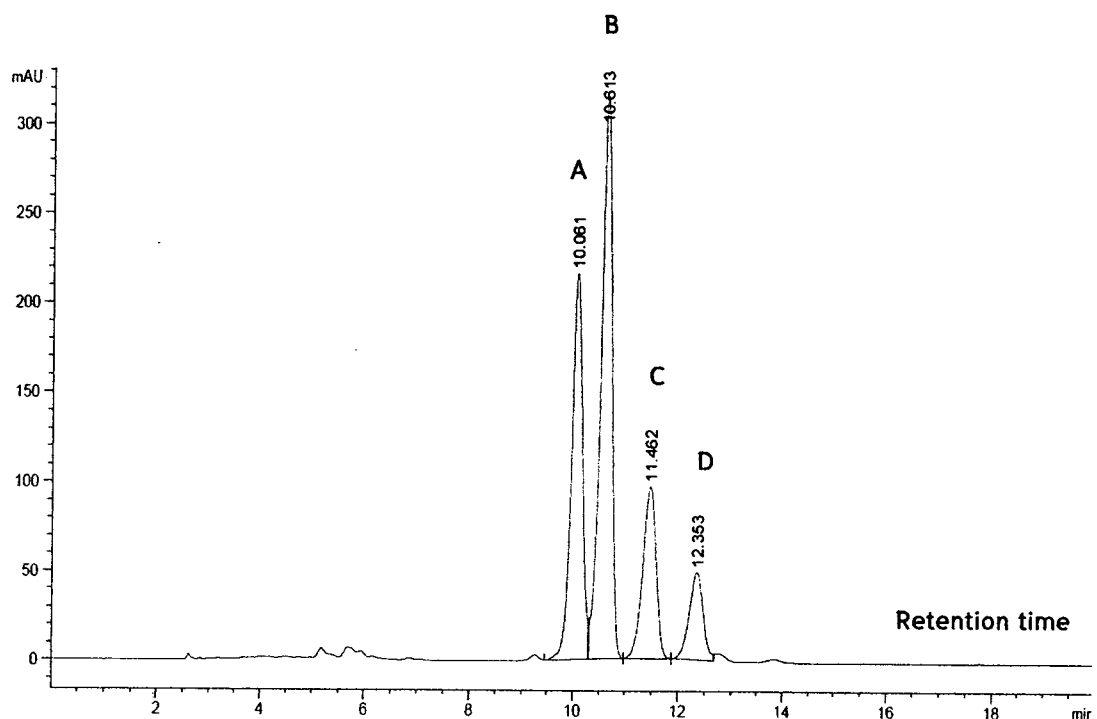
ลำดับที่	ตัวอย่าง	ปริมาณสารประกอบแอนโธไซยานินทั้งหมด (cyanidin 3- glucoside equivalent mg/100 g น้ำมัน)	
		การบีบเย็น	SCDE
1	ข้าวกำลีมผ้า	6.23 ± 0.44 ^A	4.39 ± 0.38 ^a
2	ข้าวกำดอยสะเก็ต	4.82 ± 0.55 ^{BC}	3.36 ± 0.35 ^{bc}
3	ข้าวกำพะ夷า	4.56 ± 0.47 ^{BC}	3.08 ± 1.25 ^c
4	ข้าวกำเชียงราย	4.48 ± 0.58 ^{BC}	3.12 ± 1.09 ^c
5	ข้าวกำต่อ	5.46 ± 0.43 ^{AB}	3.65 ± 0.37 ^{ab}
6	ข้าวกำปีง	5.78 ± 0.52 ^A	4.48 ± 0.42 ^a
7	ข้าวกำป้าอีค้อ	6.12 ± 0.48 ^A	3.96 ± 0.36 ^{ab}
8	ข้าวเหนียวล้านป่าตอง	nd.	nd.
9	ข้าวข้าวดอกมะลิ 105	nd.	nd.

SCDE: Supercritical Carbon Dioxide Extraction; Mean ± SD; วิเคราะห์ที่ระดับความเชื่อมั่นร้อยละ 95 ในแต่ละวิธีการเตรียมตัวอย่างน้ำมันรำข้าว

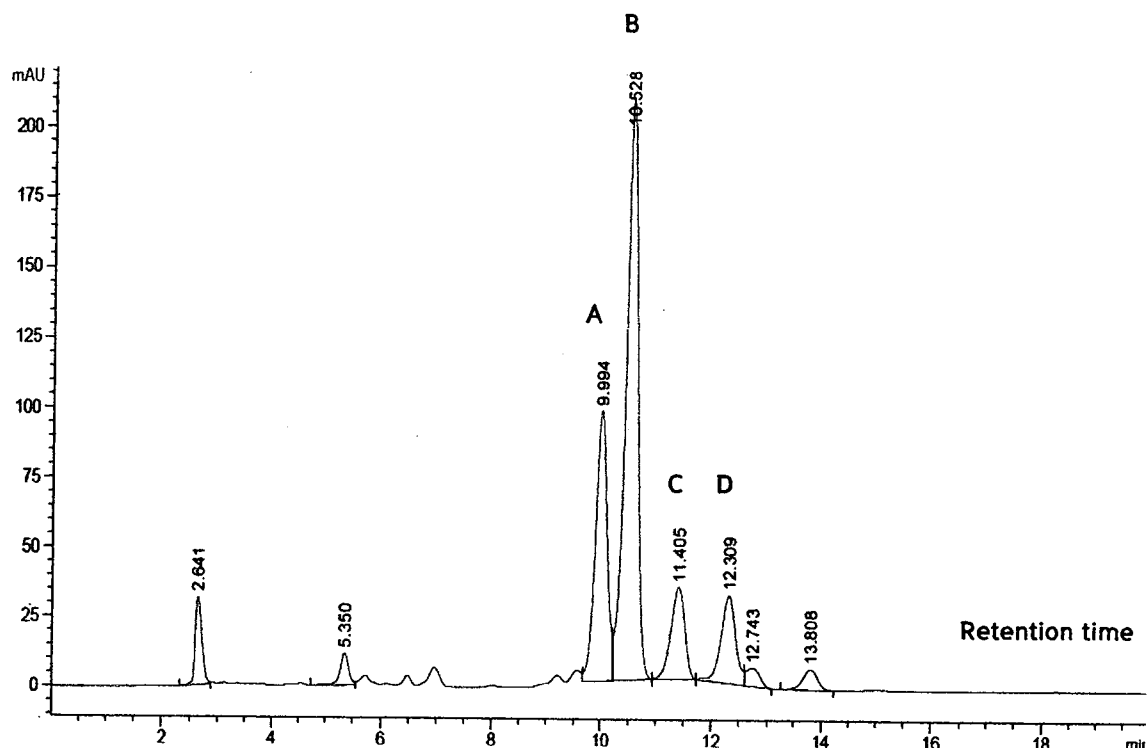
จากการวิเคราะห์ปริมาณแอนโธไซยานินทั้งหมดของสารสกัดน้ำมันรำข้าวกล้า 14 ตัวอย่าง และน้ำมันรำข้าวขาว 4 ตัวอย่าง ตรวจพบสารกลุ่มแอนโธไซยานินในน้ำมันรำข้าวกล้าที่เตรียมตัวอย่างน้ำมันด้วยการบีบเย็นและคาร์บอนไดออกไซด์วิกฤตยิ่งยอด โดยที่ตรวจไม่พบในน้ำมันรำข้าวขาว (น้ำมันรำข้าวเหนียวสันป่าตอง 1 และน้ำมันรำข้าวหอมมะลิ 105) การเตรียมตัวอย่างเพื่อวิเคราะห์ปริมาณแอนโธไซยานินทั้งหมดด้วยเทคนิค pH different spectrometry นั้นมีความสำคัญเนื่องจากสภาวะที่ใช้วิเคราะห์นั้นเป็นสารละลายที่มีข้อทั้งหมด ดังนั้นการวิเคราะห์ปริมาณแอนโธไซยานินในน้ำมันรำข้าวกล้าจึงต้องทำการสกัดสารกลุ่มแอนโธไซยานินออกจากน้ำมันรำข้าวกล้าก่อนด้วยสารละลาย 0.1 N กรดไฮโดรคลอโรลิกใน ethyl alcohol โดยที่ไม่สามารถนำตัวอย่างน้ำมันรำข้าวกล้ามาตรวจวิเคราะห์ปริมาณแอนโธไซยานินทั้งหมดด้วยเทคนิค pH different spectrometry ได้โดยตรง นอกจากนี้ปริมาณสารกลุ่มแอนโธไซยานินในน้ำมันรำข้าวกล้ามีปริมาณน้อย จึงอาจมีค่าต่ำกว่าความเข้มข้นต่ำสุดที่สามารถตรวจวิเคราะห์ได้ด้วยเทคนิคดังกล่าว จึงต้องทำการสกัดสารกลุ่มแอนโธไซยานินออกจากน้ำมันรำข้าวกล้า แล้วทำการระเหยตัวทำละลายออกเพื่อให้มีความเข้มข้นของสารกลุ่มแอนโธไซยานินมากขึ้นเพื่อให้สามารถตรวจวิเคราะห์ปริมาณแอนโธไซยานินทั้งหมดด้วยเทคนิค pH different spectrometry ได้ จากการตรวจวิเคราะห์ปริมาณแอนโธไซยานินทั้งในน้ำมันรำข้าวกล้าพบว่า น้ำมันรำข้าวกล้าลีมผ้าที่เตรียมด้วยเทคนิคการบีบเย็นมีปริมาณแอนโธไซยานินทั้งหมดสูงสุดเท่ากับ 6.23 ± 0.44 mg cyanidin 3-glucoside/100 g น้ำมัน นอกจากนี้ยังพบว่าน้ำมันรำข้าวกล้าที่เตรียมด้วยเทคนิคการบีบเย็นตรวจวิเคราะห์พบสารกลุ่มแอนโธไซยานินทั้งหมดสูงกว่าน้ำมันรำข้าวกล้าที่เตรียมด้วยเทคนิคการบีบเย็นโดยออกไซด์วิกฤตยิ่งยอด

4.5 การวิเคราะห์ปริมาณแคมม่า-โอไรซานอล

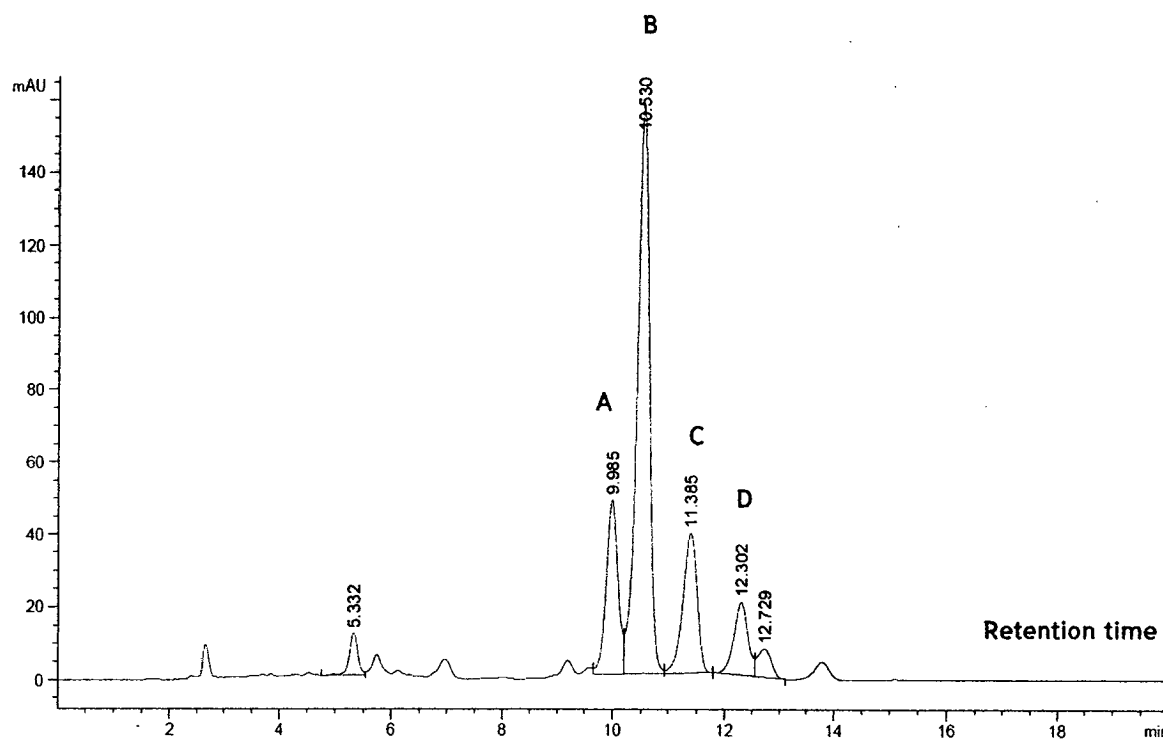
จากการวิเคราะห์ปริมาณแคมม่า-โอไรซานอลของน้ำมันรำข้าวกล้าทั้งหมด 14 ตัวอย่าง และน้ำมันรำข้าวขาว 4 ตัวอย่าง เปรียบเทียบกับสารมาตรฐานแคมม่า-โอไรซานอลด้วยเทคนิค reversed-phase HPLC จากการวิเคราะห์พบว่าสารมาตรฐานแคมม่า-โอไรซานอลประกอบด้วยสารสำคัญหลักทั้งหมด 4 ชนิดดังนี้คือ cycloartenyl ferulate (A), 24-methylenecycloartanyl ferulate (B), campesteryl ferulate (C) และ sitosteryl ferulate (D) ตามลำดับ โดยในปี ค.ศ. 1999 Xu และ Godber สามารถแยกสารสำคัญจากน้ำมันรำข้าวได้ถึง 10 ชนิด ซึ่งประกอบด้วย Δ^7 -stigmastenyl ferulate, stigmasteryl ferulate, cycloartenyl ferulate, 24-methylenecycloartanyl ferulate, Δ^7 -campestenyl ferulate, campesteryl ferulate, Δ^7 -sitostenyl ferulate, sitosteryl ferulate, campestanyl ferulate และ sitostanyl ferulate และพบว่า cycloartenyl ferulate, 24-methylenecycloartanyl ferulate และ campesteryl ferulate เป็นสารสำคัญหลักที่พบในน้ำมันรำข้าว โดยที่ HPLC โครมาโทแกรมของสารมาตรฐานแคมม่า-โอไรซานอล น้ำมันรำข้าวกล้าและน้ำมันรำข้าวขาวดังแสดงในรูปที่ 4.4 – 4.12



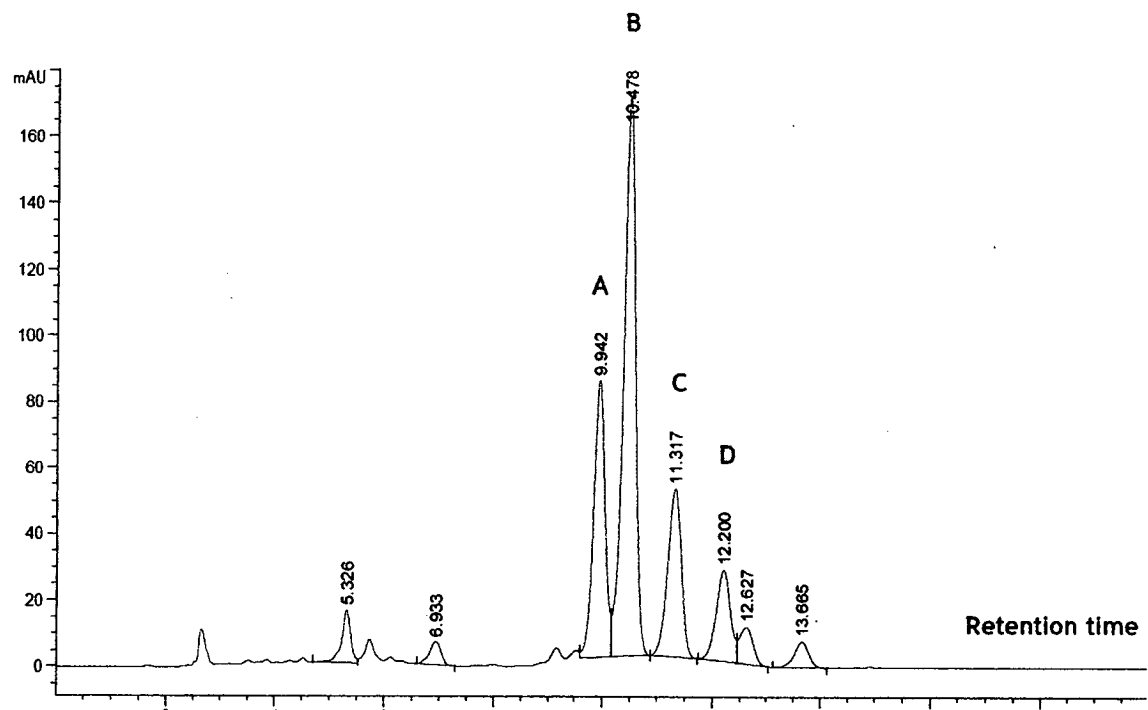
รูปที่ 4.4 HPLC โครมาโทแกรมของสารมาร์คูนแ去买เม่า-โอไรซานอล เมื่อ A: cycloartenyl ferulate, B: 24-methylenecycloartanyl ferulate, C: campesteryl ferulate, และ D: sitosteryl ferulate



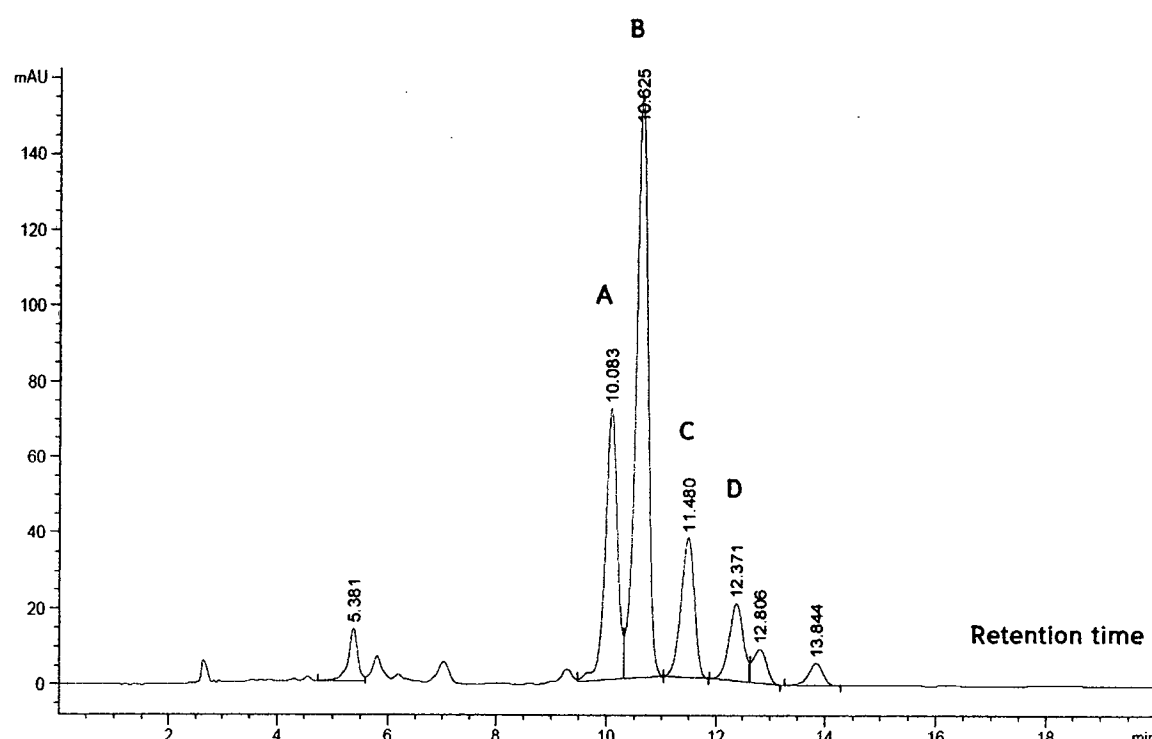
รูปที่ 4.5 HPLC โครมาโทแกรมของน้ำมันรำข้าวถั่ลีมผัว เมื่อ A: cycloartenyl ferulate, B: 24-methylenecycloartanyl ferulate, C: campesteryl ferulate, และ D: sitosteryl ferulate



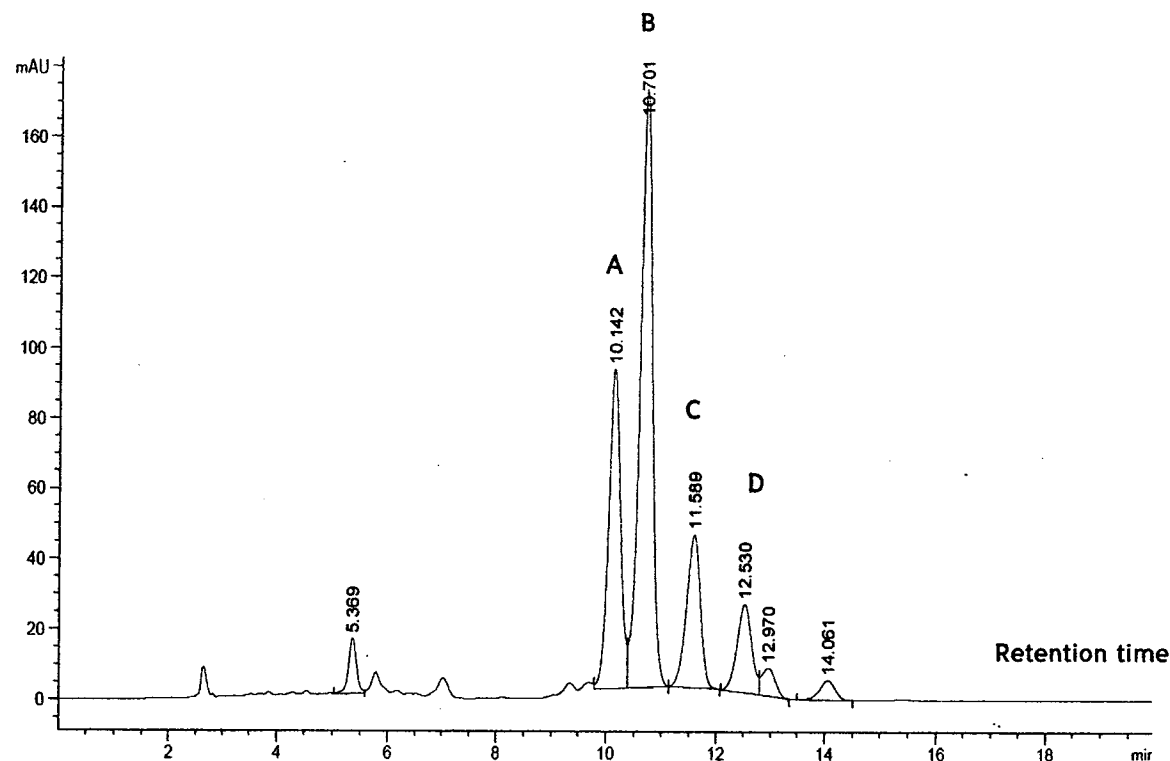
รูปที่ 4.6 HPLC โปรแกรมของน้ำมันรำข้าวกำดอยสะเก็ด เมื่อ A: cycloartenyl ferulate, B: 24-methylenecycloartanyl ferulate, C: campesteryl ferulate, และ D: sitosteryl ferulate



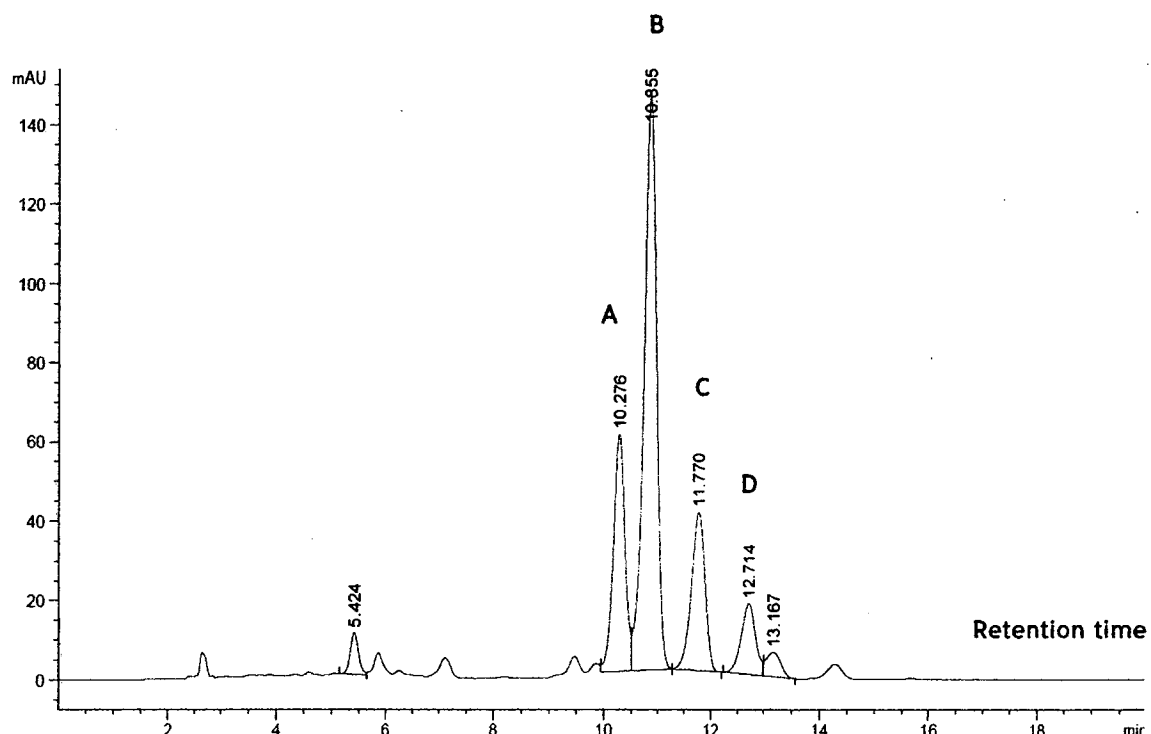
รูปที่ 4.7 HPLC โปรแกรมน้ำมันรำข้าวกำพะ夷า เมื่อ A: cycloartenyl ferulate, B: 24-methylenecycloartanyl ferulate, C: campesteryl ferulate, และ D: sitosteryl ferulate



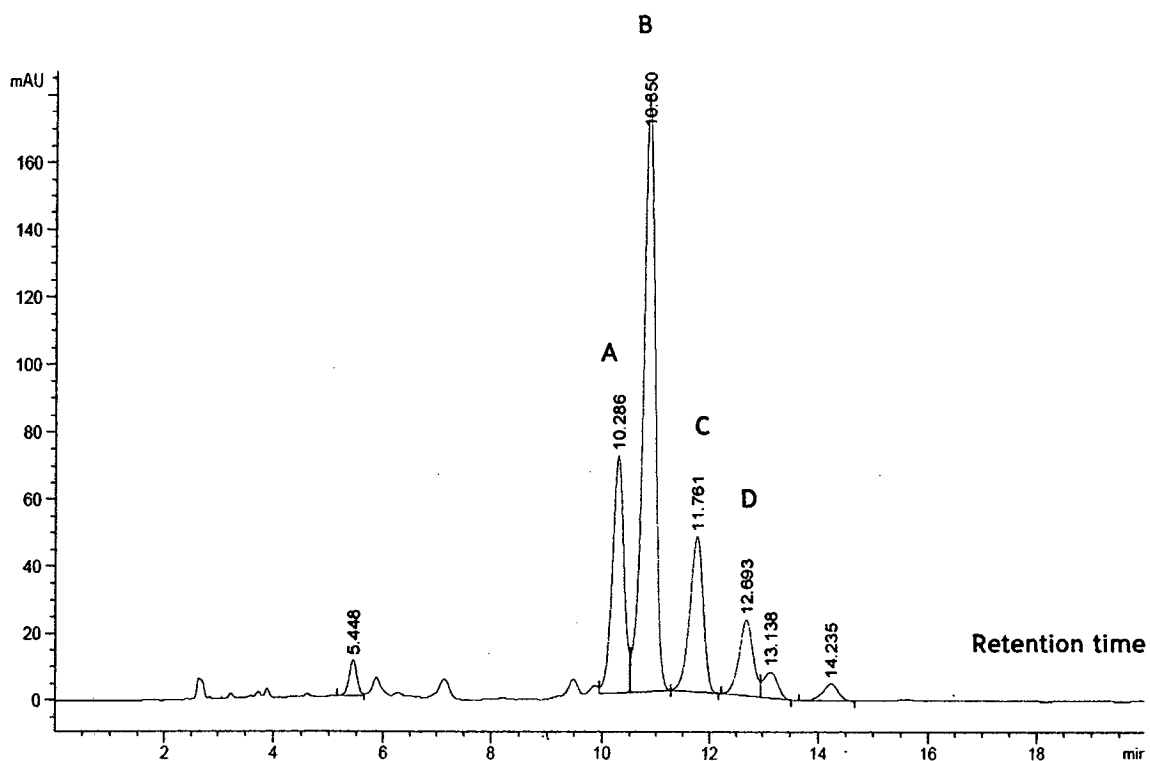
รูปที่ 4.8 HPLC โครมาโทแกรมของน้ำมันรำข้าวกำลังเชียงราย เมื่อ A: cycloartenyl ferulate, B: 24-methylenecycloartanyl ferulate, C: campesterol ferulate, และ D: sitosteryl ferulate



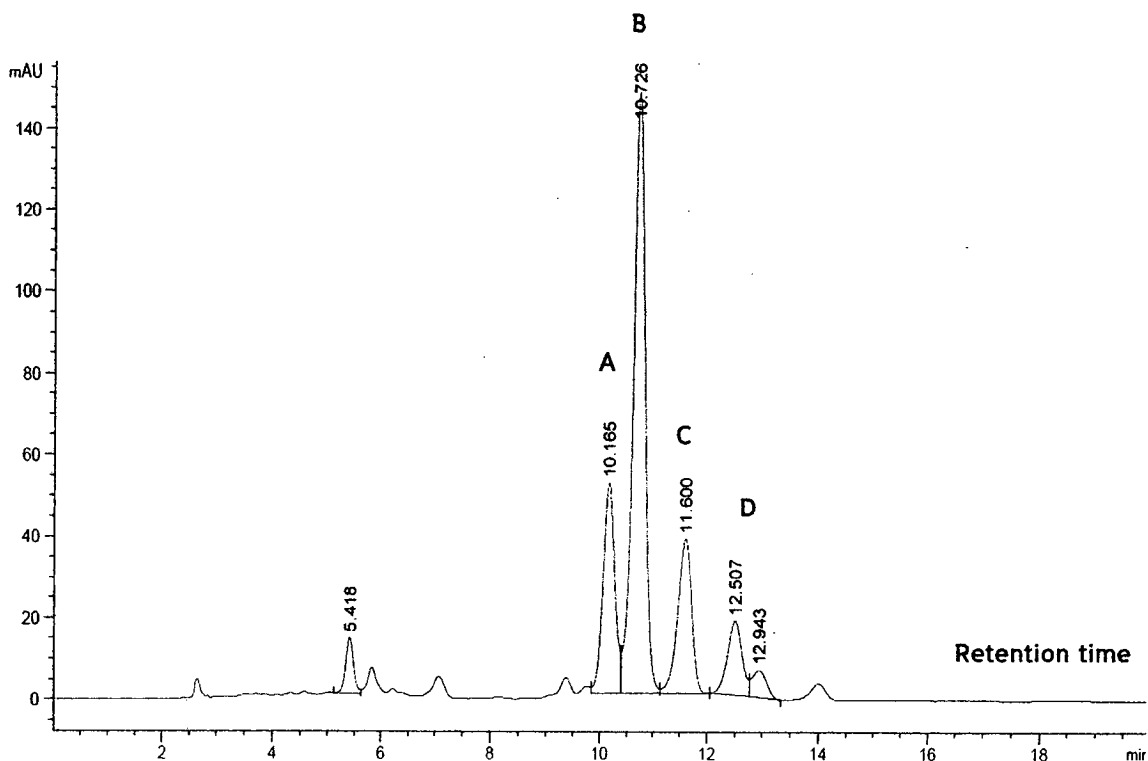
รูปที่ 4.9 HPLC โครมาโทแกรมของน้ำมันรำข้าวเหนียวสันป่าตองเมื่อ A: cycloartenyl ferulate, B: 24-methylenecycloartanyl ferulate, C: campesterol ferulate, และ D: sitosteryl ferulate



รูปที่ 4.10 HPLC โครมาโทแกรมของน้ำมันรำข้าวขาวดอกมะลิ 105 เมื่อ A: cycloartenyl ferulate, B: 24-methylenecycloartanyl ferulate, C: campesteryl ferulate, และ D: sitosteryl ferulate



รูปที่ 4.11 HPLC โครมาโทแกรมของน้ำมันรำข้าวกำป้าอีคิว เมื่อ A: cycloartenyl ferulate, B: 24-methylenecycloartanyl ferulate, C: campesteryl ferulate, และ D: sitosteryl ferulate



รูปที่ 4.12 HPLC โครม่าโทแกรมของน้ำมันรำข้าวกำปัง เมื่อ A: cycloartenyl ferulate, B: 24-methylenecycloartanyl ferulate, C: campesteryl ferulate, และ D: sitosteryl ferulate

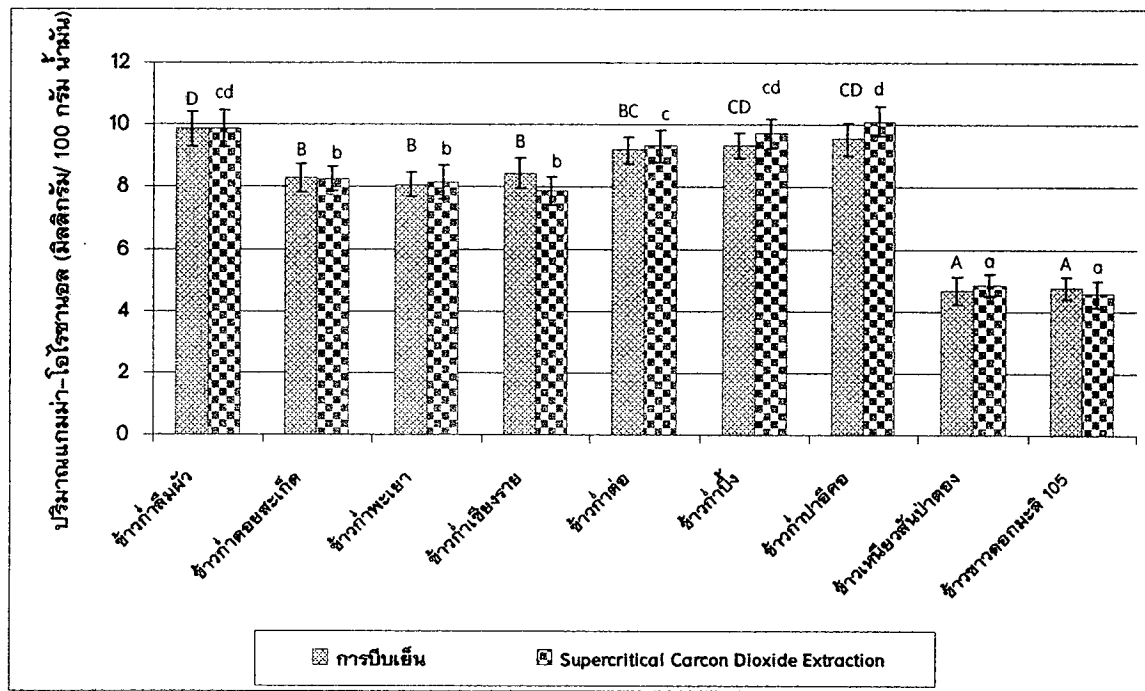
จากการวิเคราะห์ปริมาณแกรมม่า-โอไรซานอลในตัวอย่างน้ำมันรำข้าวกำ 14 ตัวอย่างและน้ำมันรำข้าวขาว 4 ตัวอย่าง พบร่วมน้ำมันรำข้าวทั้ง 18 ตัวอย่างประกอบด้วยสารสำคัญหลักทั้ง 4 ชนิดเหมือนที่พบในสารมาตราฐานแกรมม่า-โอไรซานอลซึ่งประกอบด้วย cycloartenyl ferulate, 24-methylenecycloartanyl ferulate, campesteryl ferulate, และ sitosteryl ferulate โดยที่ยังประกอบด้วยสารสำคัญรองอีกประมาณ 3-5 ชนิด จากที่กล่าวมาแล้วข้างต้นนี้ Xu และ Godber (1999) สามารถแยกสารสำคัญจากแกรมม่า-โอไรซานอลได้ถึง 10 ชนิด จึงมีความเป็นไปได้ที่น้ำมันรำข้าวกำจะประกอบด้วยสารสำคัญหลักทั้ง 4 ชนิด และสารสำคัญรองอีกประมาณ 3-5 ชนิด ซึ่งต้องมีการศึกษาต่อไป เมื่อเปรียบเทียบปริมาณแกรมม่า-โอไรซานอลระหว่างน้ำมันรำข้าวกำและน้ำมันรำข้าวขาวโดยคำนวณจากพื้นที่ได้กราฟของสารสำคัญหลักทั้ง 4 ชนิด พบร่วมน้ำมันรำข้าวกำ มีปริมาณแกรมม่า-โอไรซานอลสูงกว่าน้ำมันรำข้าวขาวประมาณ 1.5 – 2 เท่า ซึ่งมีความสัมพันธ์กับรายงานวิจัยของ Boonsit และคณะ (2010) ที่ได้สกัดและวิเคราะห์ปริมาณแกรมม่า-โอไรซานอลของข้าวขาวและข้าวกำ ซึ่งพบว่าข้าวหอมมะลิ 105 มีปริมาณแกรมม่า-โอไรซานอลเท่ากับ 30.89 มิลลิกรัมต่อมูล็ดข้าว 100 กรัม ข้าวகช 6 มีปริมาณแกรมม่า-โอไรซานอลเท่ากับ 30.44 มิลลิกรัมต่อมูล็ดข้าว 100 กรัม ในขณะที่ข้าวกำด้อยละเกิดมีปริมาณแกรมม่า-โอไรซานอลเท่ากับ 74.84 มิลลิกรัมต่อมูล็ดข้าว 100 กรัม ข้าวกำด้อยมูเซอมีปริมาณแกรมม่า-โอไรซานอลเท่ากับ 75.30

มิลลิกรัมต่อมล็ดข้าว 100 กรัม ซึ่งเมื่อเปรียบเทียบปริมาณแกรมม่า-โอลิโรมานอลที่พบในข้าวขาว และข้าวกำลังพบว่า ข้าวกำลังมีปริมาณแกรมม่า-โอลิโรมานอลสูงกว่าข้าวขาวประมาณ 2 เท่า เช่นเดียวกัน กับผลการวิเคราะห์ในการวิจัยครั้งนี้ นอกจากนั้นยังพบว่าในการเตรียมตัวอย่างนำมันรำข้าวด้วย เทคนิคการบีบเย็น นำมันรำข้าวกำลังมีปริมาณแกรมม่า-โอลิโรมานอลสูงสุดเท่ากับ 9.85 ± 0.55 มิลลิกรัมต่อน้ำมันรำข้าว 100 มิลลิกรัม ตามมาด้วยนำมันรำข้าวกำลังป้าอีค้อและนำมันรำข้าวกำปึง ตามลำดับ ในขณะที่การเตรียมตัวอย่างด้วยคาร์บอนไดออกไซด์วิกฤตยังขาดนั้นพบว่า นำมันรำ ข้าวกำลังป้าอีค้อมีปริมาณแกรมม่า-โอลิโรมานอลสูงสุดเท่ากับ 10.11 ± 0.48 มิลลิกรัมต่อน้ำมันรำข้าว 100 มิลลิกรัม ตามมาด้วยนำมันรำข้าวกำลังมีผ้าและนำมันรำข้าวกำปึง ตามลำดับ ผลการวิเคราะห์ ปริมาณแกรมม่า-โอลิโรมานอลดังแสดงในตารางที่ 4.6 และรูปที่ 4.13

ตารางที่ 4.6 ปริมาณแกรมม่า-โอลิโรมานอล

ลำดับที่	ตัวอย่าง	ปริมาณแกรมม่า-โอลิโรมานอล (mg/ 100 mg น้ำมัน)	
		การบีบเย็น	SCDE
1	ข้าวกำลังผ้า	$9.85 \pm 0.55^{\text{D}}$	$9.88 \pm 0.58^{\text{ad}}$
2	ข้าวกำลังละเอียด	$8.27 \pm 0.45^{\text{B}}$	$8.26 \pm 0.38^{\text{b}}$
3	ข้าวกำลังเผยา	$8.08 \pm 0.39^{\text{B}}$	$8.16 \pm 0.53^{\text{b}}$
4	ข้าวกำลังเชียงราย	$8.43 \pm 0.47^{\text{B}}$	$7.87 \pm 0.44^{\text{b}}$
5	ข้าวกำลังต่อ	$9.19 \pm 0.43^{\text{BC}}$	$9.32 \pm 0.52^{\text{c}}$
6	ข้าวกำปึง	$9.33 \pm 0.42^{\text{cd}}$	$9.73 \pm 0.47^{\text{ad}}$
7	ข้าวกำลังป้าอีค้อ	$9.54 \pm 0.51^{\text{CD}}$	$10.11 \pm 0.48^{\text{d}}$
8	ข้าวเหนียวสันป่าตอง	$4.68 \pm 0.45^{\text{A}}$	$4.85 \pm 0.36^{\text{e}}$
9	ข้าวขาวดอกมะลิ 105	$4.75 \pm 0.38^{\text{A}}$	$4.56 \pm 0.43^{\text{e}}$

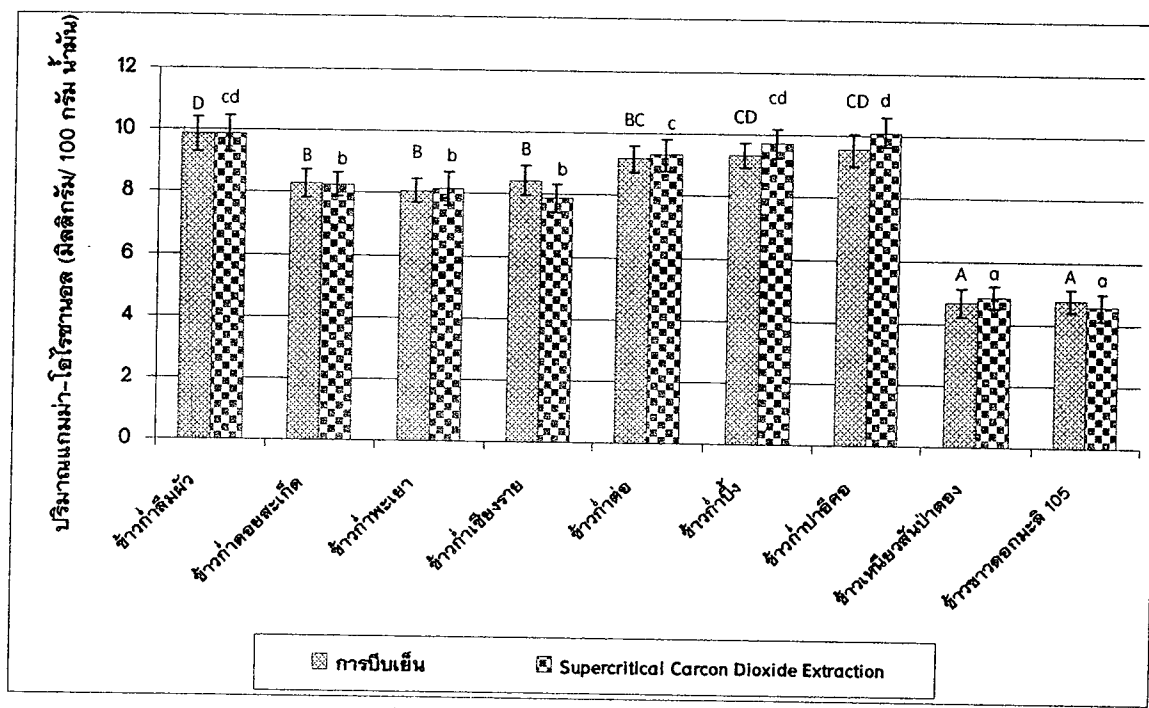
SCDE: Supercritical Carbon Dioxide Extraction; Mean \pm SD; วิเคราะห์ที่ระดับความเชื่อมั่นร้อยละ 95 ในแต่ละ วิธีการเตรียมตัวอย่างนำมันรำข้าว



รูปที่ 4.13 ปริมาณแกรมม่า-โกริซานอล

4.6 การทดสอบสภาวะที่เหมาะสมและการวิเคราะห์ปริมาณโทโคไตรอีนอลและโทโคเฟอรอล

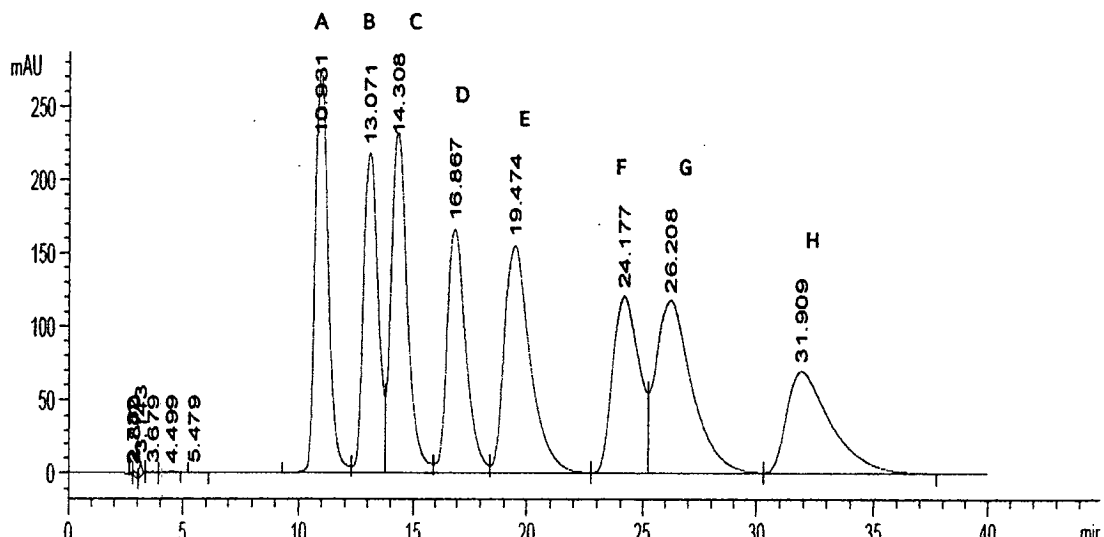
จากการที่โทโคไตรอีนอลและโทโคเฟอรอลประกอบด้วยโครงสร้างอย่างละ 4 รูปแบบ คือ เดลต้า-, บีต้า-, แกรมม่า-, และแอลฟ่า ซึ่งเมื่อเปรียบเทียบมวลโมเลกุลของทั้ง 8 รูปแบบแล้วจะพบว่าบีต้า-โทโคไตรอีนอล ($C_{28}H_{42}O_2$) และแกรมม่า-โทโคไตรอีนอล ($C_{28}H_{42}O_2$) มีมวลโมเลกุลเท่ากันคือ 410.68 ในขณะที่บีต้า-โทโคเฟอรอล ($C_{28}H_{48}O_2$) และแกรมม่า-โทโคเฟอรอล ($C_{28}H_{48}O_2$) มีมวลโมเลกุลเท่ากันคือ 416.68 (ดังแสดงในรูปที่ 4.14) ซึ่งทำให้การวิเคราะห์หาปริมาณของทั้ง บีต้า-โทโคไตรอีนอล แกรมม่า-โทโคไตรอีนอล บีต้า-โทโคเฟอรอลและแกรมม่า-โทโคเฟอรอลด้วยเทคนิค HPLC นั้นค่อนข้างยาก เนื่องจากสารมีมวลโมเลกุลที่เท่ากัน จากการที่คณะผู้วิจัยได้ทำการพัฒนาการวิเคราะห์ปริมาณโทโคไตรอีนอลและโทโคเฟอรอลทั้ง 8 รูปแบบด้วยเทคนิค Reversed-phase HPLC โดยใช้ตัวตรวจวัดชนิดดิยูวีเพบว่าไม่สามารถแยกพิเศษของบีต้า-โทโคไตรอีนอลและแกรมม่า-โทโคไตรอีนอล รวมทั้งบีต้า-โทโคเฟอรอลและแกรมม่า-โทโคเฟอรอลได้อย่างสมบูรณ์ดังแสดงในรูปที่ 4.15 นอกจากนี้ในการวิเคราะห์ปริมาณโทโคไตรอีนอลและโทโคเฟอรอลในตัวอย่าง น้ำมันรำข้าวซึ่งมีสารสำคัญและสารตัวกลาง (matrix) ออยูห์ลายชนิดทำให้ค่า retention time ของ การวิเคราะห์นั้นไม่สัมพันธ์กับค่า retention time ของสารมาตรฐานดังแสดงในรูปที่ 4.16 ซึ่งโดยปกติแล้วในน้ำมันที่ได้จากพืชจะมีโทโคไตรอีนอลและโทโคเฟอรอลในปริมาณน้อยมาก ซึ่งการใช้ตัวตรวจวัดชนิดดิยูวีบางครั้งไม่สามารถตรวจวิเคราะห์ได้ เนื่องจากความไว (sensitivity) ของตัวตรวจวัดชนิดดิยูวีมีค่าต่ำกว่าตัวตรวจวัดชนิดฟลูออเรสเซนต์ นอกจากนั้นปริมาณของโทโคไตรอีนอลและโท



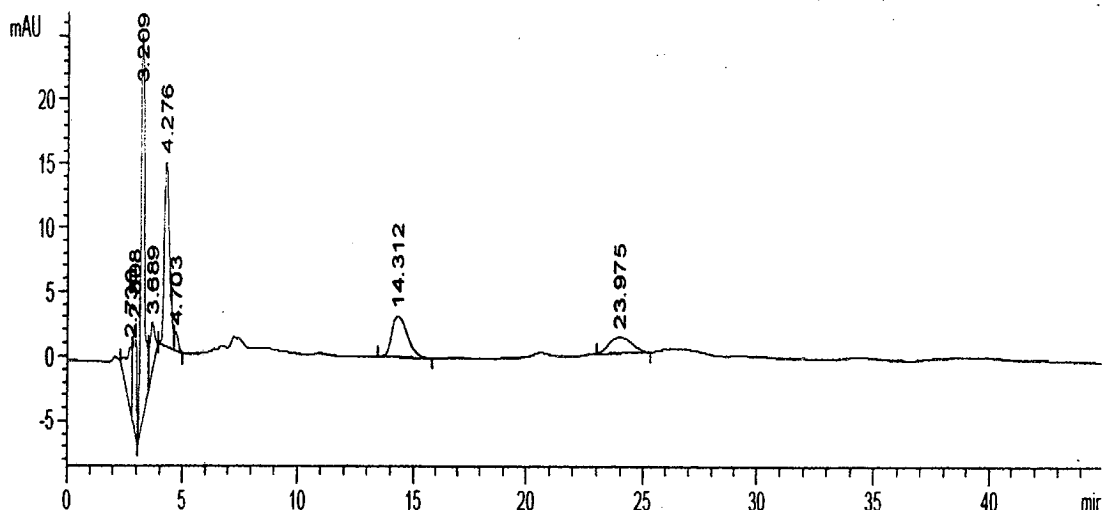
รูปที่ 4.13 ปริมาณแคมม่า-ໂໂไรซานอล

4.6 การทดสอบสภาวะที่เหมาะสมและภาระปริมาณໂໂโคไตรอีนอลและໂໂโคเพอรอล

จากการที่ໂໂโคไตรอีนอลและໂໂโคเพอรอลประกอบด้วยโครงสร้างอย่างละ 4 รูปแบบ คือ เดลต้า-, บีต้า-, แคมม่า-, และแอลฟ่า ซึ่งเมื่อเปรียบเทียบมวลโมเลกุลของทั้ง 8 รูปแบบแล้วจะพบว่าบีต้า-ໂໂโคไตรอีนอล ($C_{28}H_{42}O_2$) และแคมม่า-ໂໂโคไตรอีนอล ($C_{28}H_{42}O_2$) มีมวลโมเลกุลเท่ากันคือ 410.68 ในขณะที่บีต้า-ໂໂโคเพอรอล ($C_{28}H_{48}O_2$) และแคมม่า-ໂໂโคเพอรอล ($C_{28}H_{48}O_2$) มีมวลโมเลกุลเท่ากันคือ 416.68 (ดังแสดงในรูปที่ 4.14) ซึ่งทำให้ภาระปริมาณของทั้ง บีต้า-ໂໂโคไตรอีนอล แคมม่า-ໂໂโคไตรอีนอล บีต้า-ໂໂโคเพอรอลและแคมม่า-ໂໂโคเพอรอลด้วยเทคนิค HPLC นั้นค่อนข้างยาก เนื่องจากสารมีมวลโมเลกุลที่เท่ากัน จากการที่คนละผู้วิจัยได้ทำการพัฒนาภาระปริมาณໂໂโคไตรอีนอลและໂໂโคเพอรอลทั้ง 8 รูปแบบด้วยเทคนิค Reversed-phase HPLC โดยใช้ตัวตรวจวัดชนิดดิยูวีเพบว่าไม่สามารถแยกพิเศษของบีต้า-ໂໂโคไตรอีนอลและแคมม่า-ໂໂโคไตรอีนอล รวมทั้งบีต้า-ໂໂโคเพอรอลและแคมม่า-ໂໂโค เพอรอลได้อย่างสมบูรณ์ดังแสดงในรูปที่ 4.15 นอกจากนี้ในการวิเคราะห์ปริมาณໂໂโคไตรอีนอลและໂໂโคเพอรอลในตัวอย่างน้ำมันรำข้าวซึ่งมีสารสำคัญและสารตัวกลาง (matrix) ออยู่หลายชนิดทำให้ค่า retention time ของภาระปริมาณนั้นไม่ล้มพ้นธกับค่า retention time ของสารมาตรฐานดังแสดงในรูปที่ 4.16 ซึ่งโดยปกติแล้วในน้ำมันที่ได้จากพืชจะมีໂໂโคไตรอีนอลและໂໂโคเพอรอลในปริมาณน้อยมาก ซึ่งการใช้ตัวตรวจวัดชนิดดิยูวีบางครั้งไม่สามารถตรวจวิเคราะห์ได้เนื่องจากความไว (sensitivity) ของตัวตรวจวัดชนิดดิยูวีมีค่าต่ำกว่าตัวตรวจวัดชนิดฟลูออเรสเซนต์ นอกจากนั้นปริมาณของໂໂโคไตรอีนอลและໂ



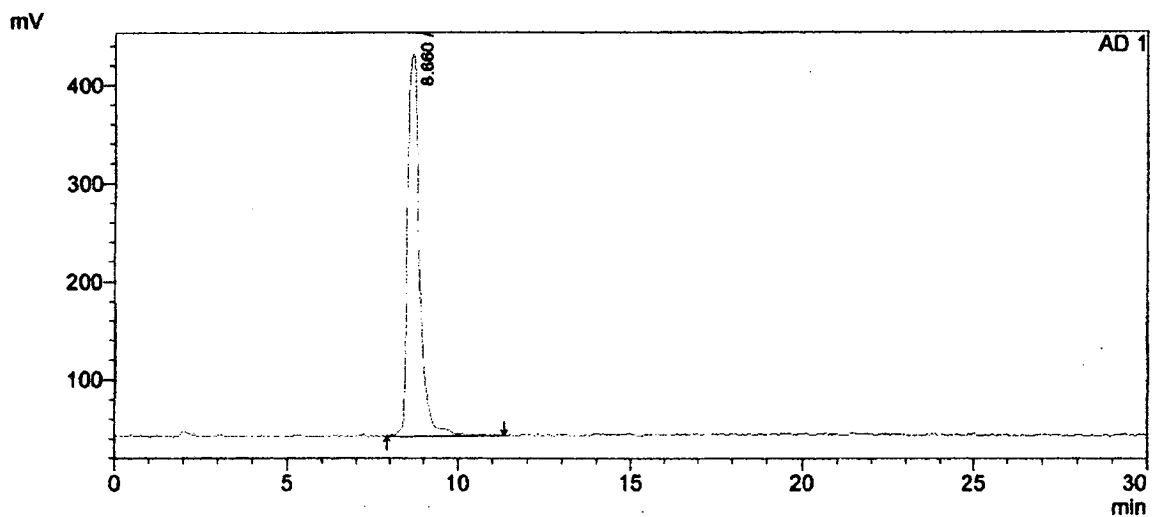
รูปที่ 4.15 HPLC โครมาโทแกรมของสารละลายน้ำของโภคไซเดอร์อีนอลและโภคไซเดอร์เฟอรอลเมื่อวิเคราะห์ด้วยตัวตรวจจับชนิดดิจิทัล โดยที่ A: เดลต้า-โภคไซเดอร์อีนอล, B: บีต้า-โภคไซเดอร์อีนอล, C: แคมม่า-โภคไซเดอร์อีนอล, D: แอลฟ่า-โภคไซเดอร์อีนอล, E: เดลต้า-โภคไซเดอร์เฟอรอล, F: บีต้า-โภคไซเดอร์เฟอรอล, G: แคมม่า-โภคไซเดอร์เฟอรอล, และ H: แอลฟ่า-โภคไซเดอร์เฟอรอล ตามลำดับ



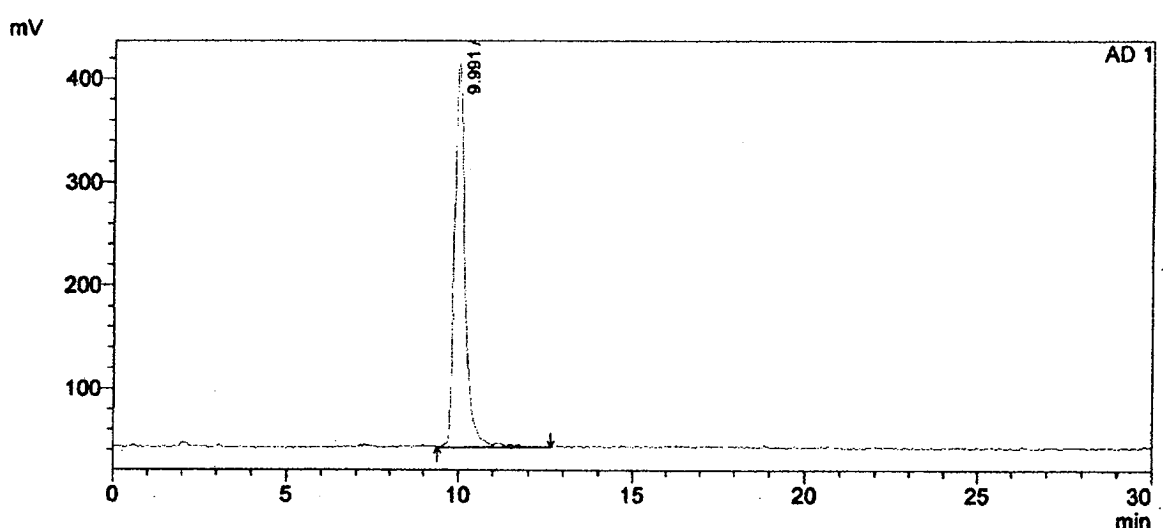
รูปที่ 4.16 HPLC โครมาโทแกรมของน้ำมันรำข้าวกำลังก้าสีเมืองเมื่อวิเคราะห์ด้วยเทคนิค Reversed-phase HPLC โดยใช้ตัวตรวจจับชนิดดิจิทัล

จากการตัดแปลงวิธีตรวจวิเคราะห์ปริมาณโภคไซเดอร์อีนอลและโภคไซเดอร์เฟอรอลด้วยเทคนิค Reversed-phase HPLC ด้วยตัวตรวจจับชนิดฟลูออเรสเซนต์ในการตรวจวิเคราะห์ปริมาณโภคไซเดอร์อีนอลและโภคไซเดอร์เฟอรอลทั้ง 8 รูปแบบคือ เดลต้า-, บีต้า-, แคมม่า-, และแอลฟ่า โดยตัดแปลงจากวิธีการของ Jang and Xu (2009) โดยสภาวะที่ใช้วิเคราะห์ประกอบด้วยคอลัมน์ RP-Column C-30 (ขนาดเส้นผ่านศูนย์กลาง 250 x 4.6 มิลลิเมตร) ขนาดของวัสดุภาชนะคงที่ (stationary phase) เท่ากับ 5 ไมโครเมตร โดยวัสดุภาคเคลื่อนที่ (mobile phase) ประกอบด้วยอะเซทโกรในไตรล์ เม

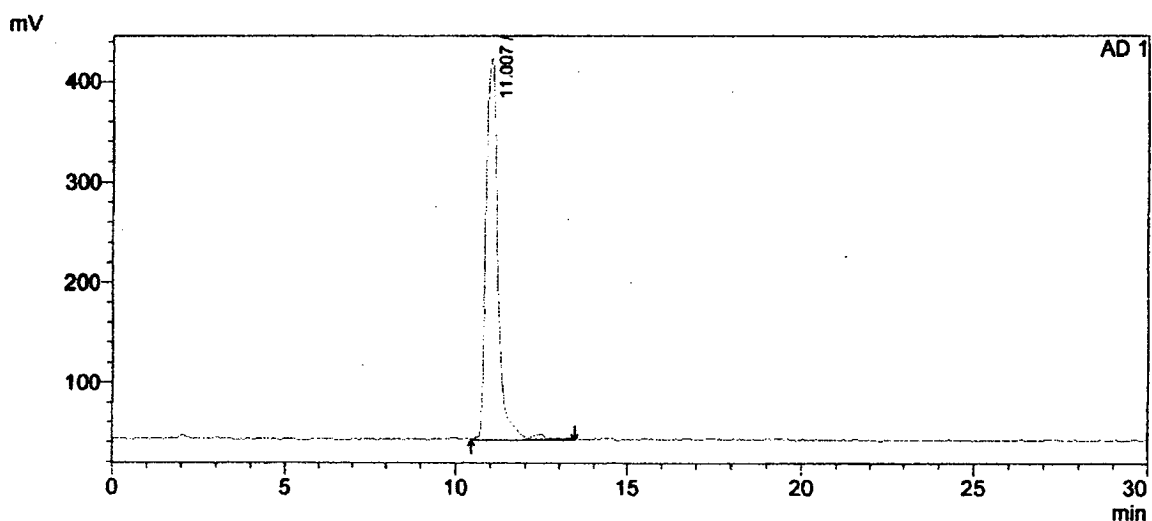
ท่านอลและน้ำในอัตราส่วน 50:40:10 โดยปริมาตร อัตราการให้หลเท่ากับ 1 มิลลิลิตรต่อนาทีและตรวจวิเคราะห์โดยโคไซด์รีเซ็นต์และโดยโคเพอร์ออลที่ความยาวคลื่นการกระตุ้น (excitation wavelength) ที่ 292 นาโนเมตรและความยาวคลื่นการเรืองแสง (emission wavelength) ที่ 330 นาโนเมตร ผลการวิเคราะห์ดังแสดงในรูปที่ 4.17 – 4.25



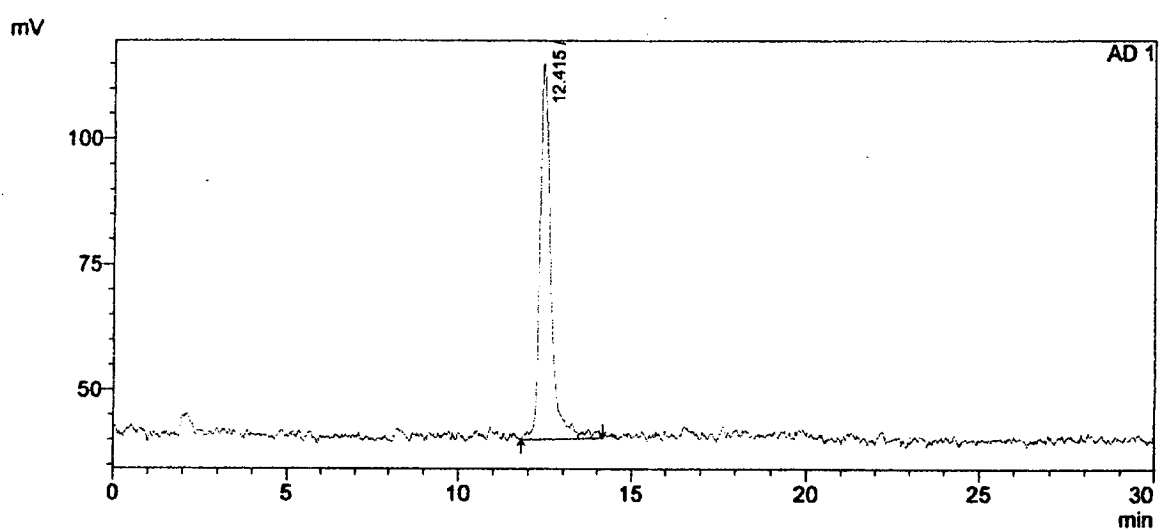
รูปที่ 4.17 HPLC โครมาໂทแกรมของสารมาตรฐานเดลต้า-ໂໂโคไซด์รีเซ็นต์



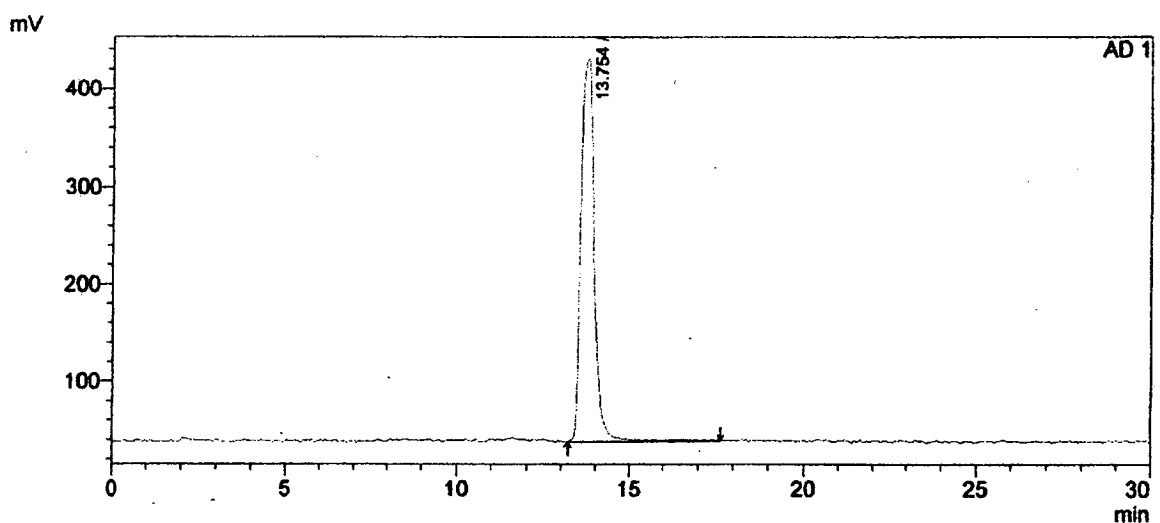
รูปที่ 4.18 HPLC โครมาໂทแกรมของสารมาตรฐานบีต้า-ໂໂโคไซด์รีเซ็นต์



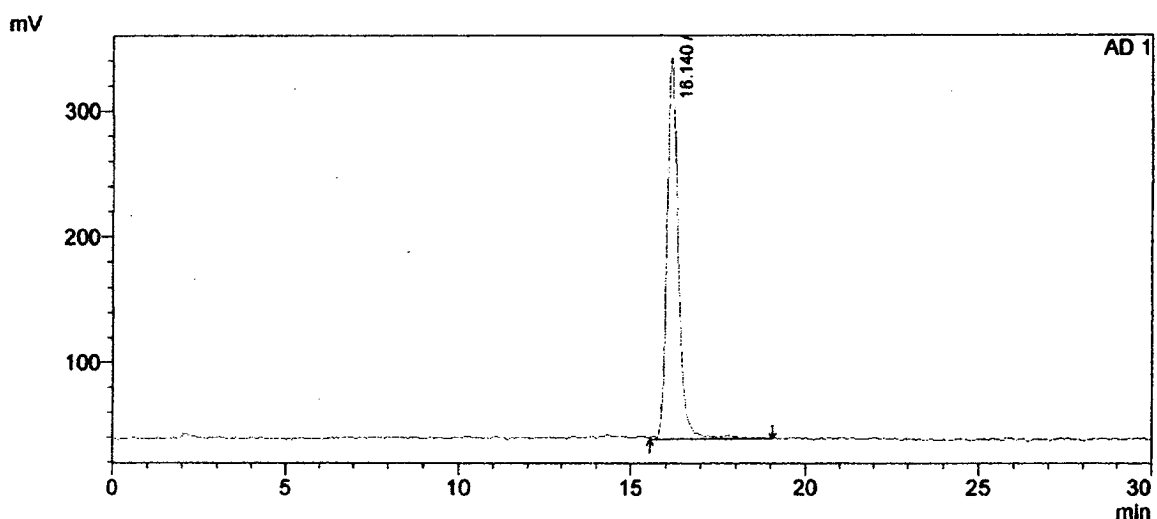
รูปที่ 4.19 HPLC โครมาโทแกรมของสารมาตรฐานแกมม่า-ໂໂโคଡีටอีนอล



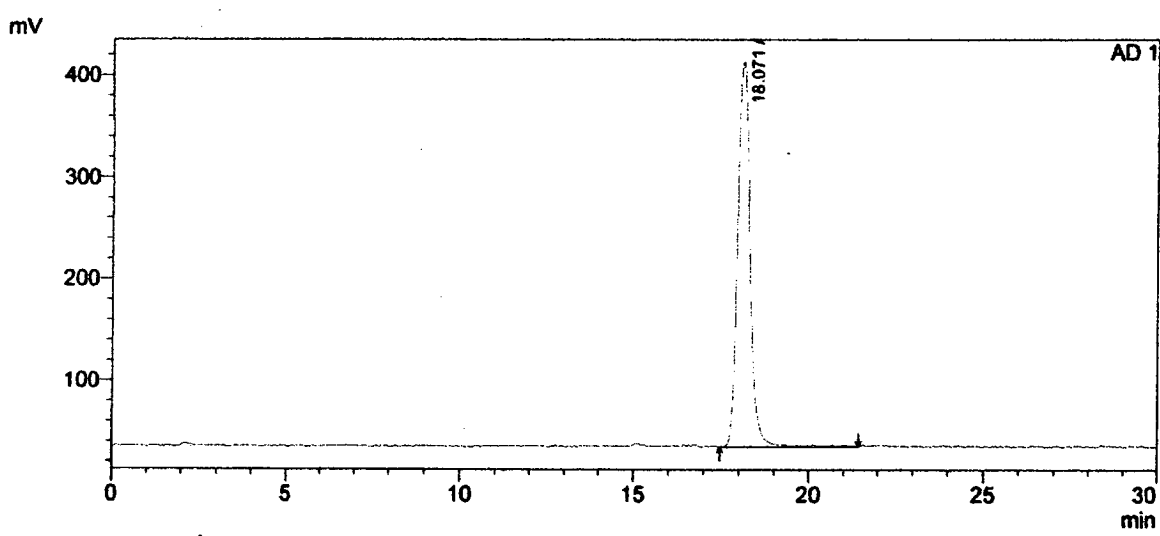
รูปที่ 4.20 HPLC โครมาโทแกรมของสารมาตรฐานแอลฟ้า-ໂໂโคଡีටอีนอล



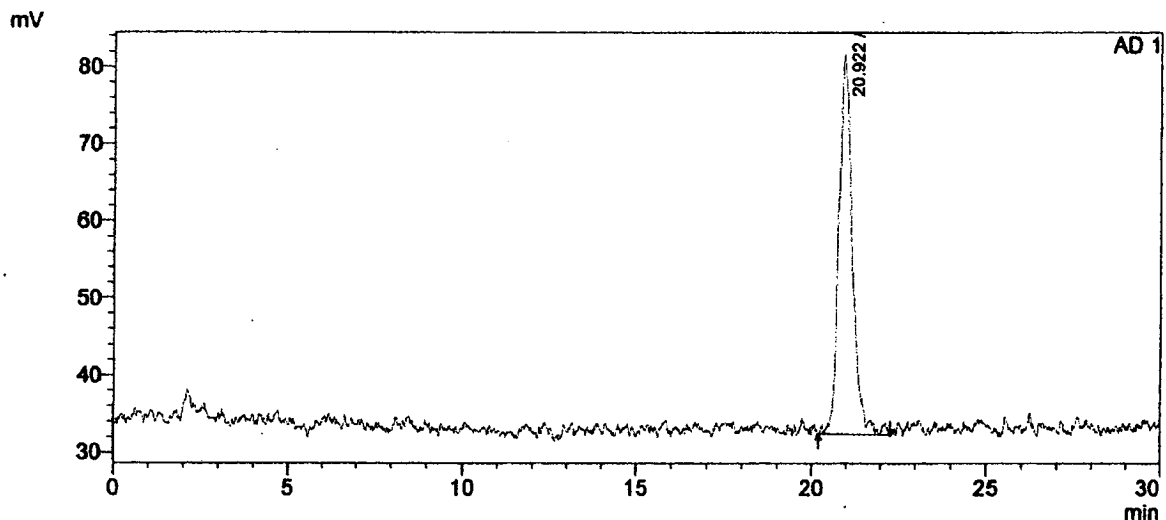
รูปที่ 4.21 HPLC โครมาโทแกรมของสารมาตรฐานเดลต้า-ໂໂโคເຟອຣອල



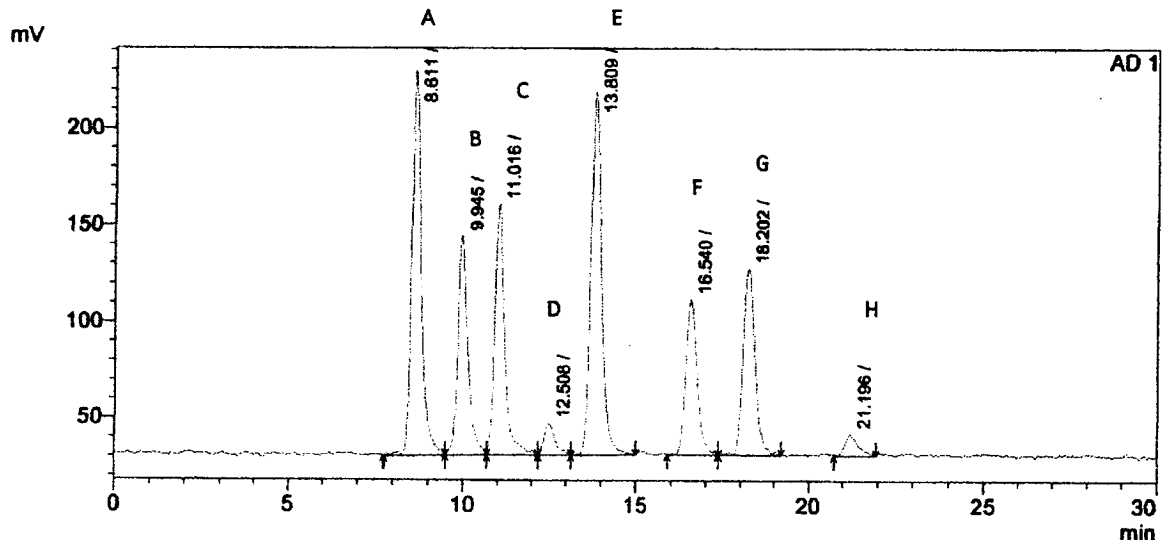
รูปที่ 4.22 HPLC โครมาโทแกรมของสารมาตรฐานบีต้า-ໂໂຄເຟອຣອລ



รูปที่ 4.23 HPLC โครมาಠອແກຣມຂອງສາຣມາຕຽນແກມມ່າ-ໂໂຄເຟອຣອລ

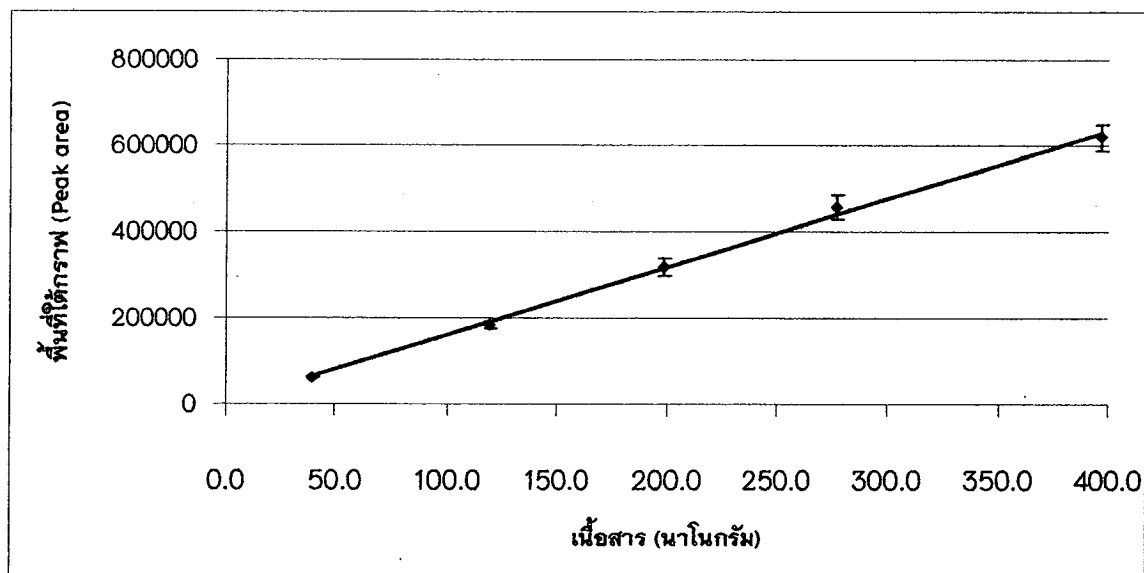


รูปที่ 4.24 HPLC โครมาಠອແກຣມຂອງສາຣມາຕຽນແລລພໍາ-ໂໂຄເຟອຣອລ

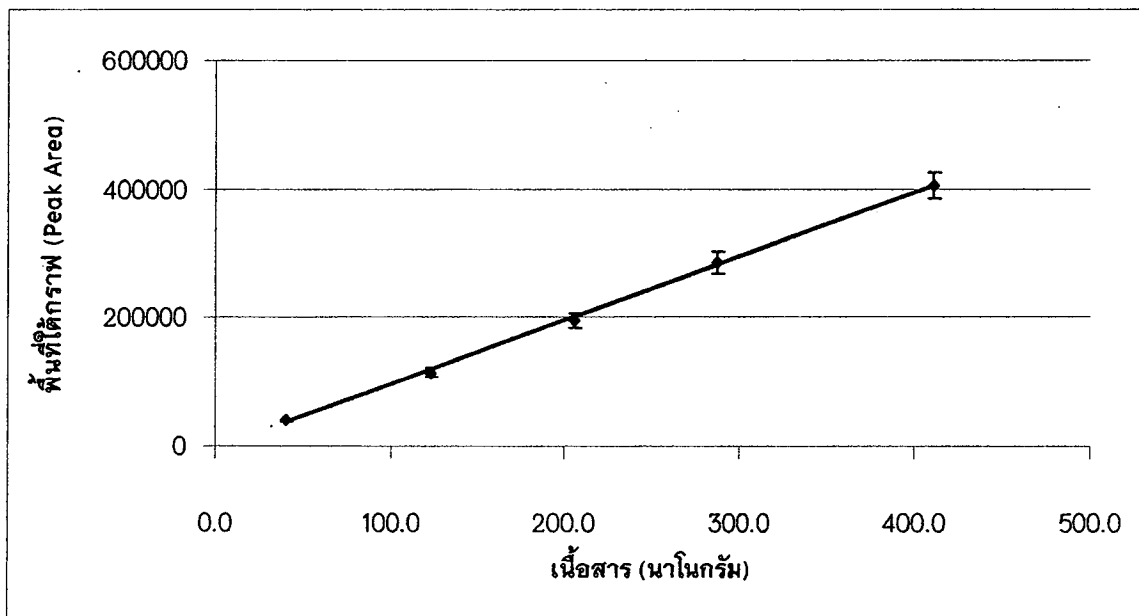


รูปที่ 4.25 HPLC โครมაทิกรัมของสารละลายน้ำของโทโคไตรอีนอลและโทโคเฟอรอล เมื่อ A: เดลต้า-โทโคไตรอีนอล, B: บีต้า-โทโคไตรอีนอล, C: แกรมม่า-โทโคไตรอีนอล, D: แอลฟ่า-โทโคไตรอีนอล, E: เดลต้า-โทโคเฟอรอล, F: บีต้า-โทโคเฟอรอล, G: แกรมม่า-โทโคเฟอรอล, และ H: แอลฟ่า-โทโคเฟอรอล ตามลำดับ

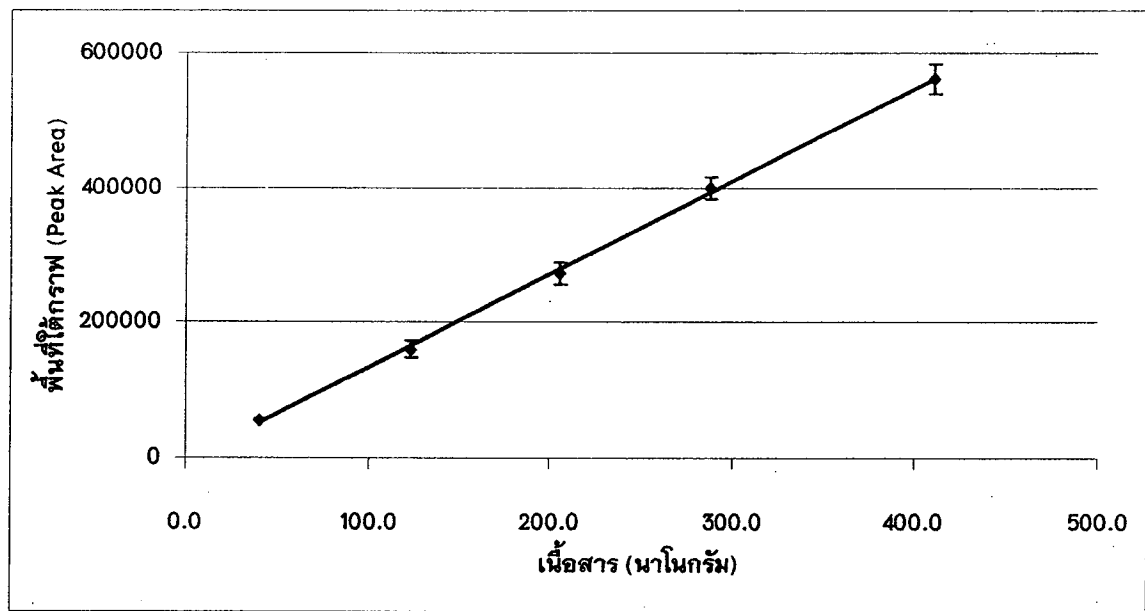
จากการทดสอบความสมเหตุสมผลของวิธีวิเคราะห์ปริมาณโทโคไตรอีนอลและโทโคเฟอรอลด้วยเทคนิค reversed-phase HPLC ด้วยตัวตรวจวัดชนิดฟลูออเรสเซนต์ที่ได้ทำการดัดแปลงขึ้นนั้น กราฟมาตรฐานของเดลต้า-โทโคไตรอีนอล บีต้า-โทโคไตรอีนอล แกรมม่า-โทโคไตรอีนอล แอลฟ่า-โทโคไตรอีนอล เดลต้า-โทโคเฟอรอล บีต้า-โทโคเฟอรอล แกรมม่า-โทโคเฟอรอลและแอลฟ่า-โทโคเฟอรอล ดังแสดงในรูปที่ 4.26 – 4.33



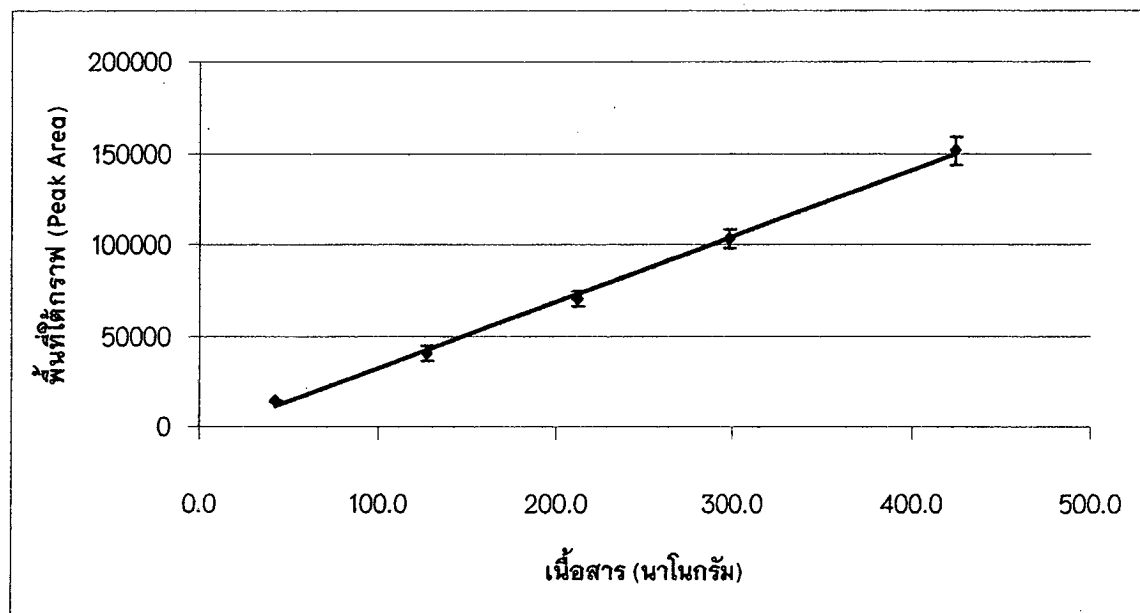
รูปที่ 4.26 กราฟมาตรฐานของเดลต้า-โทโคไตรอีนอล



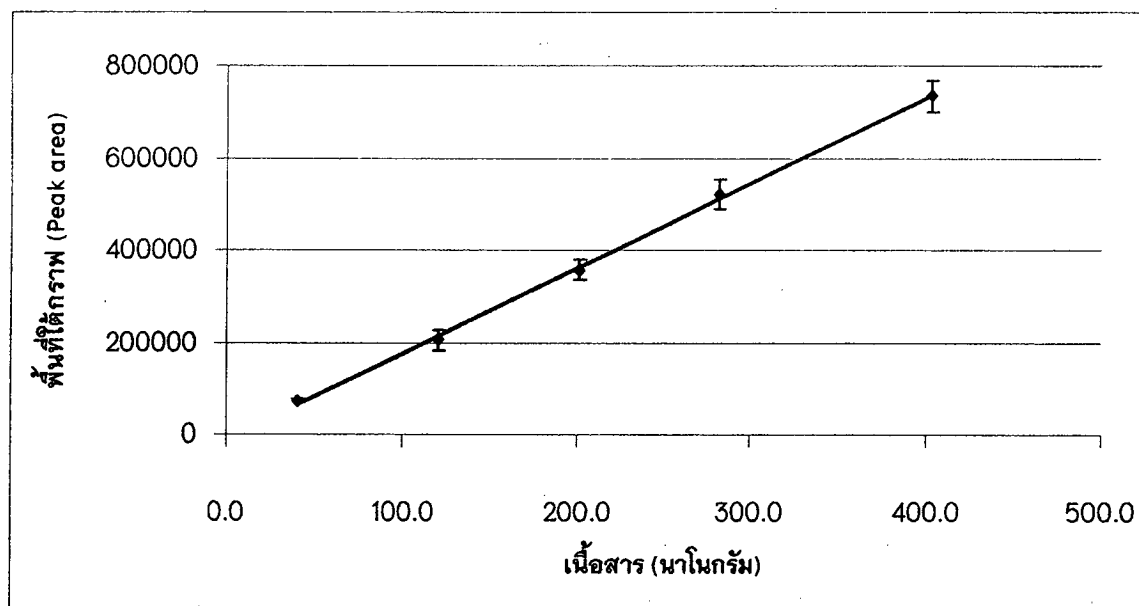
รูปที่ 4.27 กราฟมาตรฐานของบีต้า-ໂໂโคଡිට්‍රේනිකෝල



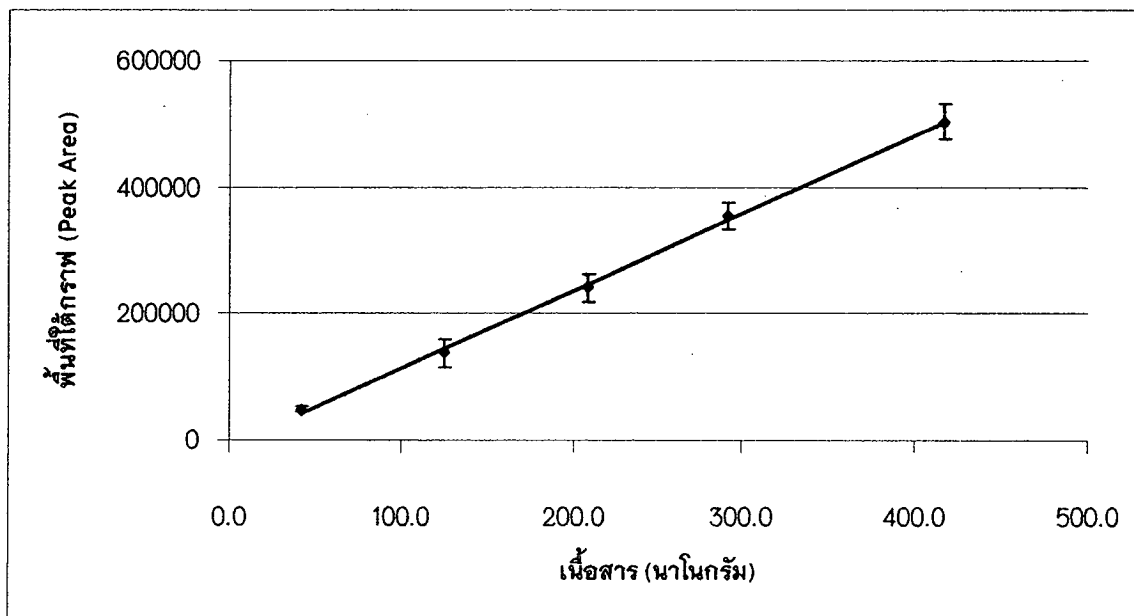
รูปที่ 4.28 กราฟมาตรฐานของแกรมม่า-ໂໂโคଡිට්‍රේනිකෝල



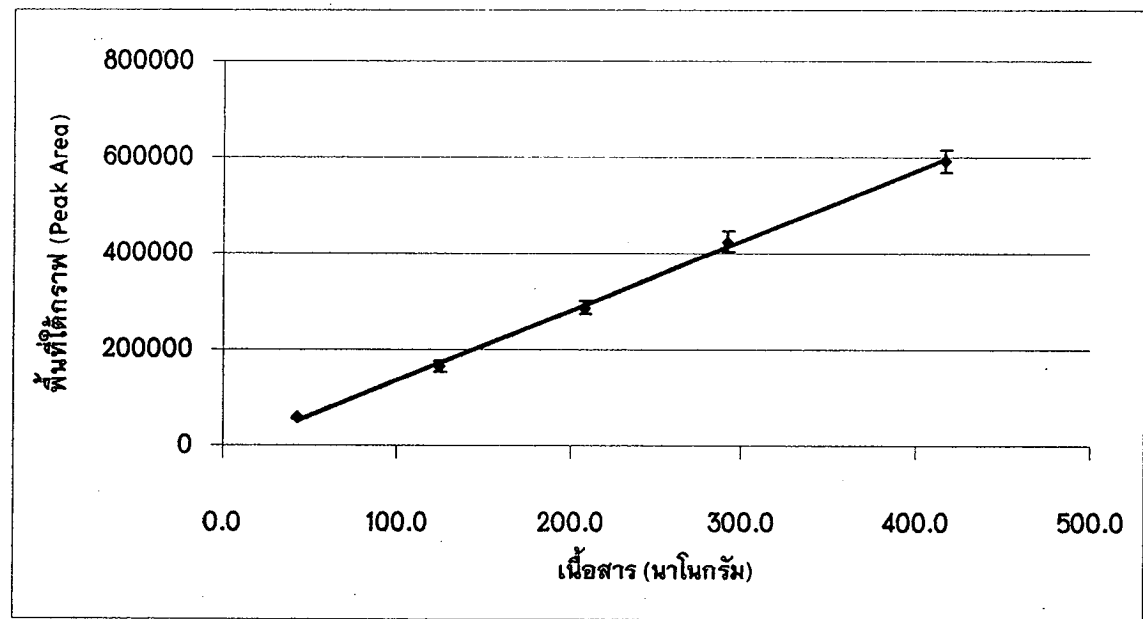
รูปที่ 4.29 กราฟมาตรฐานของแอลฟ่า-โทโคไซเรอีนอล



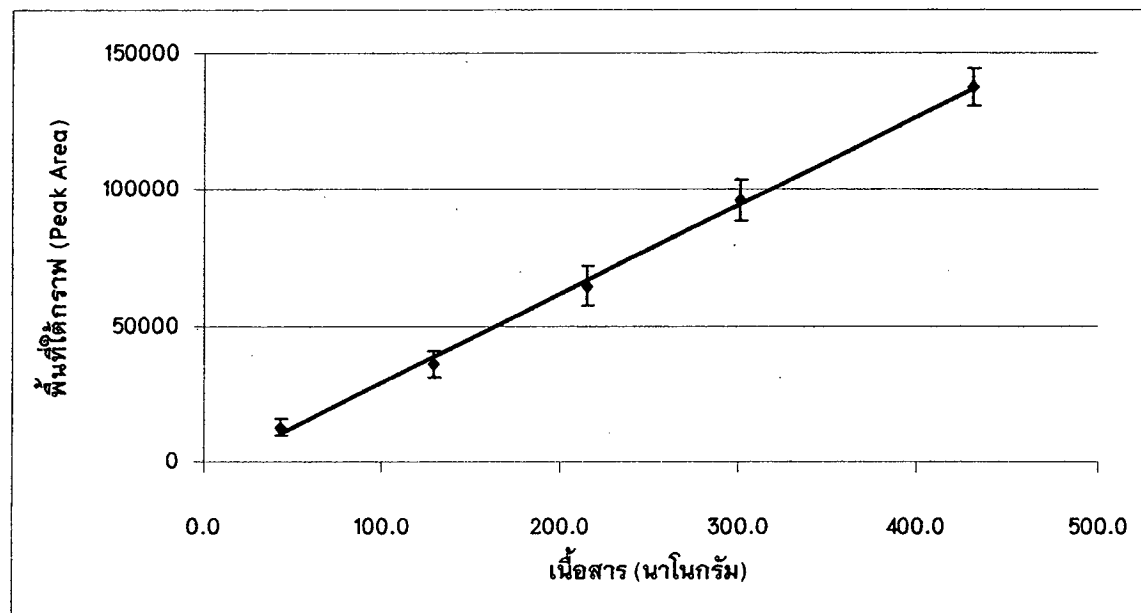
รูปที่ 4.30 กราฟมาตรฐานของเดลต้า-โทโคเฟอรอล



รูปที่ 4.31 กราฟมาตรฐานของบีต้า-ໂໂโคເຟອຣອລ



รูปที่ 4.32 กราฟมาตรฐานของแກມມ่า-ໂໂโคເຟອຣອລ



รูปที่ 4.33 กราฟมาตรฐานของแอลฟ่า-ໂໂโคເຟອຣອລ

จากรูปที่ 4.26–4.33 แสดงกราฟมาตรฐานໂໂโคໄຕຣອິນອລແລະໂໂโคເຟອຣອລທັງ 8 ຮູບແບບ
ສາມາດສຽບປ່າພາຮາມີເຫຼອ້າໃນການທົດສອບຄວາມສມເຫຼຸມຜລຂອງວິທີ່ວິເຄຣະທີ່ໂໂโคໄຕຣອິນອລແລະ
ໂໂโคເຟອຣອລດ້ວຍເຖິງເກົ່ານີ້ reversed-phase HPLC ດ້ວຍຕົວຕະວັດໜີດຟ້າຂອງເຮັດເໜີນທີ່ດັ່ງແສດງໃນ
ທາງໆ 4.7

ตารางที่ 4.7 พารามิเตอร์ของการทดสอบความสมเหตุสมผลของวิธีวิเคราะห์โทโคไตรอีนอลและโทโคเฟอรอล

พารามิเตอร์	โทโคไตรอีนอล			
	เดลต้า-	บีต้า-	แคมม่า-	แอลฟ่า-
R ²	0.9980	0.9991	0.9991	0.9981
Precision (%CV)	1.25	1.82	1.67	1.49
Range (ng)	25–500	25–500	25–500	25–500
LOD (ng)	8	5	5	11
LOQ (ng)*	25	16	16	34
พารามิเตอร์	โทโคเฟอรอล			
	เดลต้า-	บีต้า-	แคมม่า-	แอลฟ่า-
R ²	0.9989	0.9987	0.9984	0.9982
Precision (%CV)	1.48	1.75	1.52	1.65
Range (ng)	20–500	20–500	20–500	20–500
LOD (ng)	9	8	8	12
LOQ (ng)*	27	23	23	36

* คำนวณจาก 3 x LOD

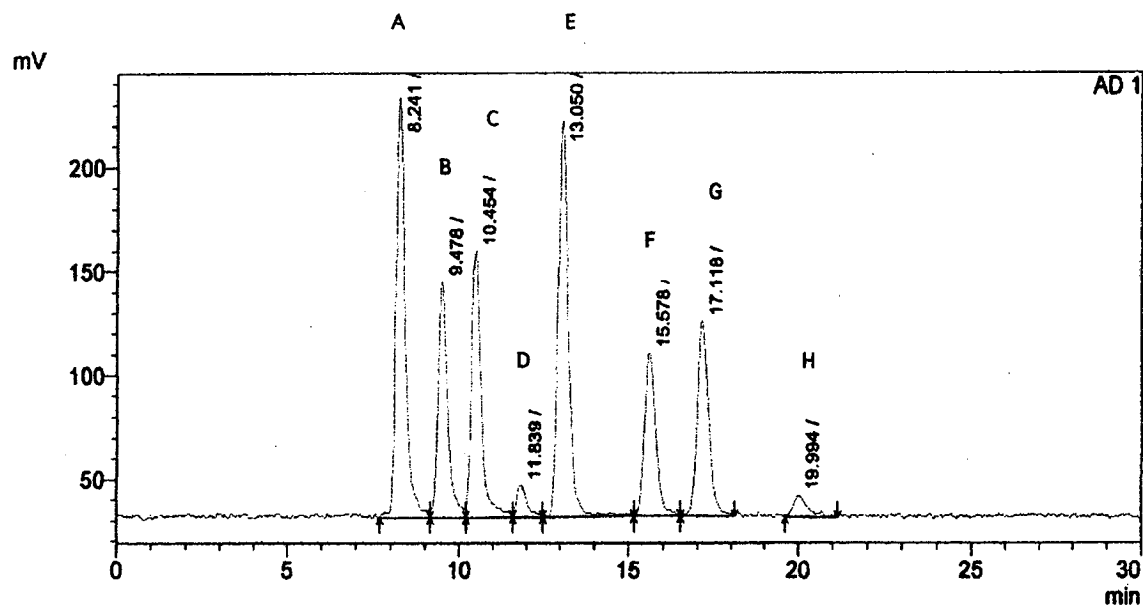
จากตารางที่ 4.7 แสดงพารามิเตอร์ในการทดสอบความสมเหตุสมผลของวิธีวิเคราะห์โทโคไตรอีนอลและโทโคเฟอรอลด้วยเทคนิค reversed-phase HPLC โดยใช้ตัวตรวจวัดชนิดฟลูออเรสเซนต์ ที่ได้การพัฒนาขึ้นมาใหม่ มีค่าใกล้เคียงกับรายงานวิจัยของ Belo และคณะ (2013) ที่ทำการทดสอบความสมเหตุสมผลของวิธีวิเคราะห์โทโคเฟอรอลด้วยเทคนิค reversed-phase HPLC โดยใช้ตัวตรวจวัดชนิดฟลูออเรสเซนต์เช่นเดียวกัน ผลการทดสอบความสมเหตุสมผลของวิเคราะห์ของ Belo และคณะ ดังแสดงในตารางที่ 4.8

ตารางที่ 4.8 พารามิเตอร์ของการทดสอบความสมเหตุสมผลของวิธีวิเคราะห์โทโคไตรอีนอลและโทโคเฟอรอล (Bele และคณะ, 2013)

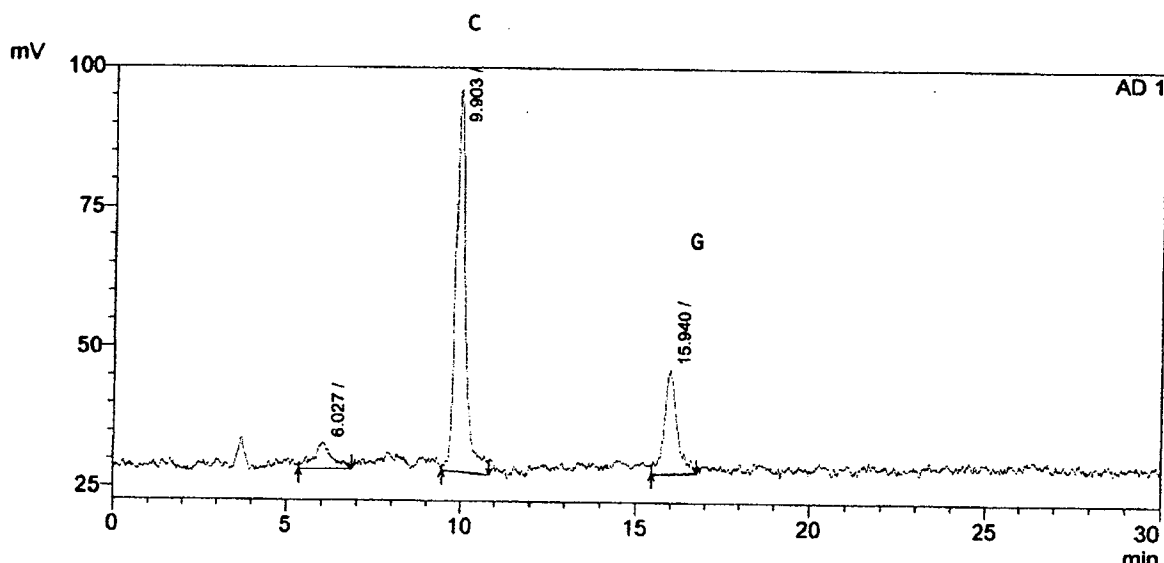
พารามิเตอร์	โทโคเฟอรอล			
	เดลต้า-	บีต้า-	แกลม่า-	แอลฟ่า-
R ²	0.9979	0.9967	0.9974	0.9956
Precision (%CV)	2.3	2.9	2.7	1.6
Range (μg)	0.05–10	0.05–10	0.05–10	0.05–10
LOD (ng)	8	8	8	9
LOQ (ng)*	23	23	23	28

* คำนวณจาก $3 \times \text{LOD}$

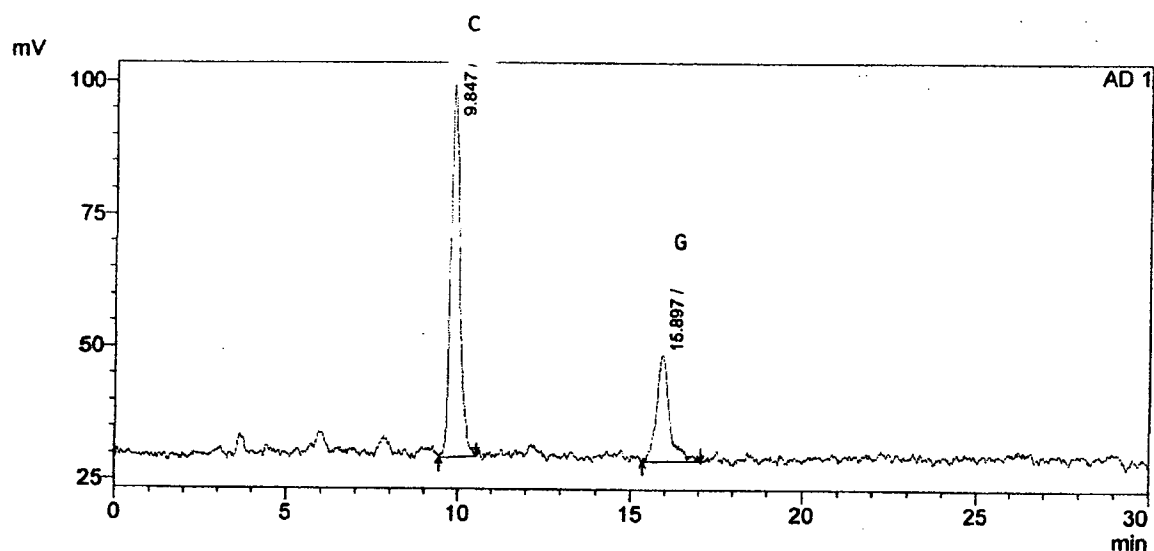
เมื่อทำการวิเคราะห์ปริมาณโทโคไตรอีนอลและโทโคเฟอรอลในตัวอย่างน้ำมันรำข้าวขาว 4 ตัวอย่างเปรียบเทียบกับ HPLC โครมาโทแกรมของสารมาตรฐานโทโคไตรอีนอลและโทโคเฟอรอล ดังแสดงในรูปที่ 4.34 พบว่าน้ำมันรำข้าวขาวที่สกัดด้วยการบีบเย็นและการบอนไดออกไซด์วิกลุต ยังยวดตรวจพบสารสำคัญในกลุ่มโทโคไตรอีนอลและโทโคเฟอรอลทั้งหมด 2 ชนิดคือ แกลม่า-โทโคไตรอีนอลและแกลม่า-โทโคเฟอรอล ดังแสดงในรูปที่ 4.35 – 4.38



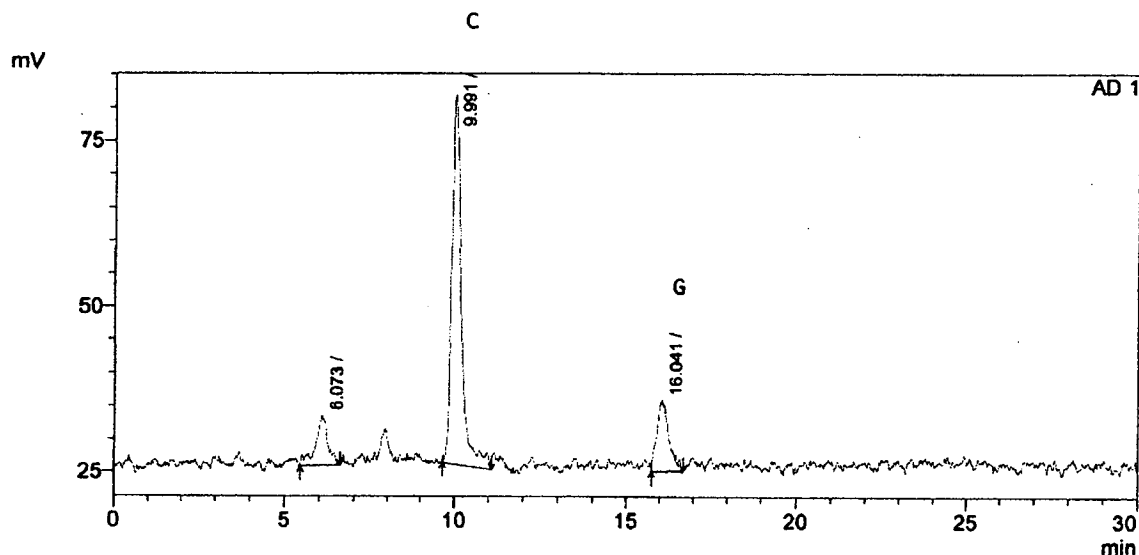
รูปที่ 4.34 HPLC โครมาโทแกรมของสารละลายผสมของโทโคไตรอีนอลและโทโคเฟอรอล เมื่อ A: เดลต้า-โทโคไตรอีนอล, B: บีต้า-โทโคไตรอีนอล, C: แกลม่า-โทโคไตรอีนอล, D: แอลฟ่า-โทโคไตรอีนอล, E: เดลต้า-โทโคเฟอรอล, F: บีต้า-โทโคเฟอรอล, G: แกลม่า-โทโคเฟอรอล, และ H: แอลฟ่า-โทโคเฟอรอล ตามลำดับ



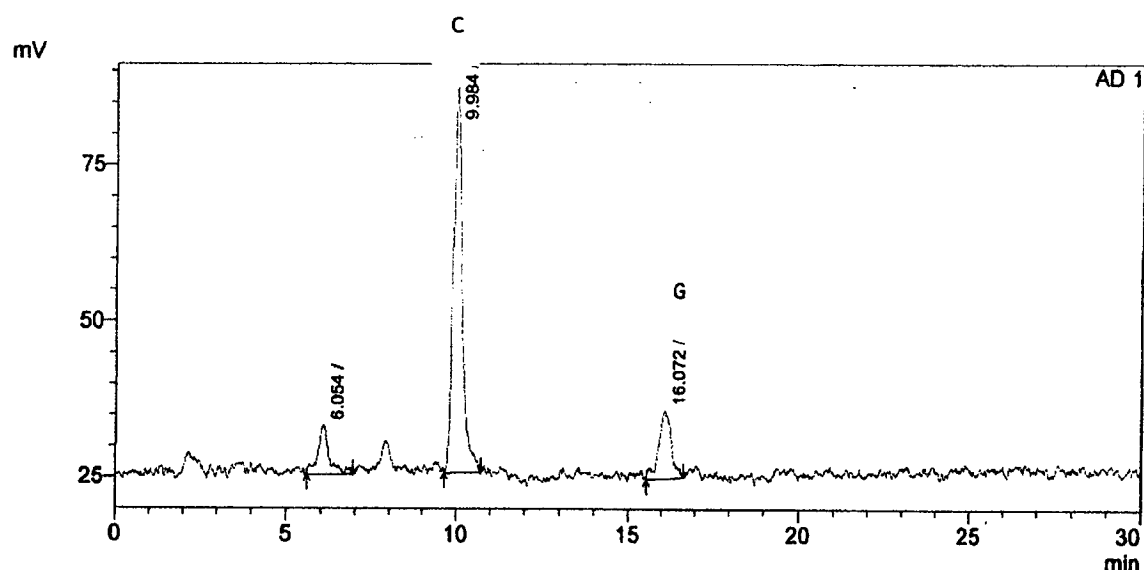
รูปที่ 4.35 HPLC โครมาโทแกรมของน้ำมันรำข้าวเหนียวสันป่าตอง เมื่อสกัดด้วยการบีบเย็นซึ่งประกอบด้วย C: แคมม่า-โทโคไตรอีนอล และ G: แคมม่า-โทโคเฟอรอล



รูปที่ 4.36 HPLC โครมาโทแกรมของน้ำมันรำข้าวเหนียวสันป่าตอง เมื่อสกัดด้วยเทคนิคคาร์บอนไดออกไซด์วิกลุตยิ่ง Lydia ซึ่งประกอบด้วย C: แคมม่า-โทโคไตรอีนอล และ G: แคมม่า-โทโคเฟอรอล



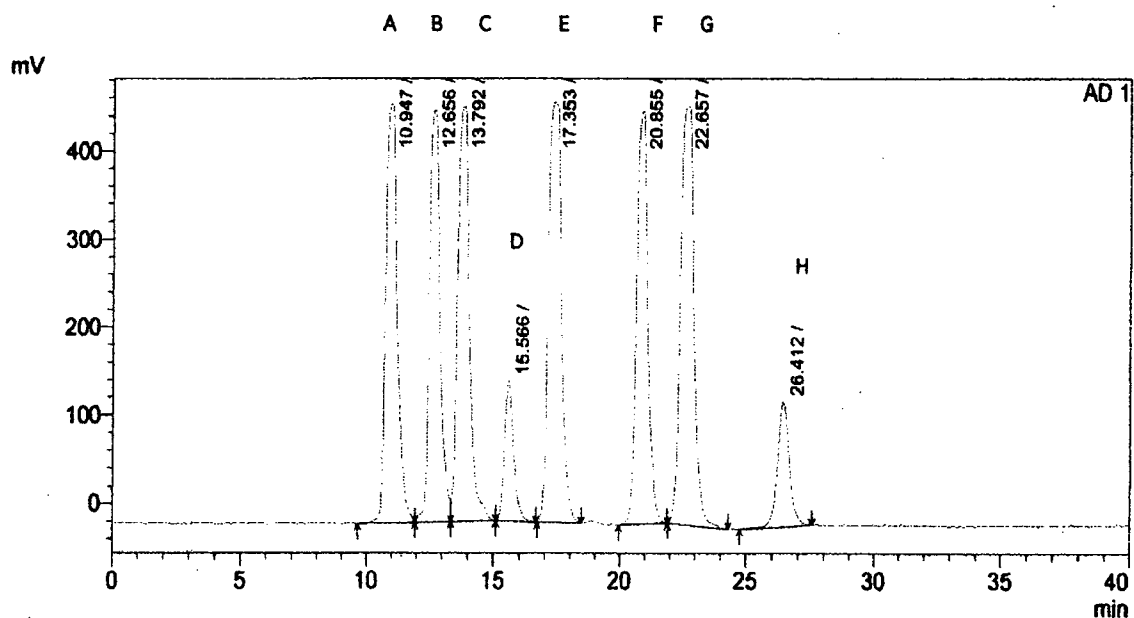
รูปที่ 4.37 HPLC โครมาโทแกรมของน้ำมันรำข้าวขาวดอกมะลิ 105 เมื่อสกัดด้วยการบีบเย็นซึ่งประกอบด้วย C: แคมม่า-โทโคไตรอีนอล และ G: แคมม่า-โทโคเฟอรอล



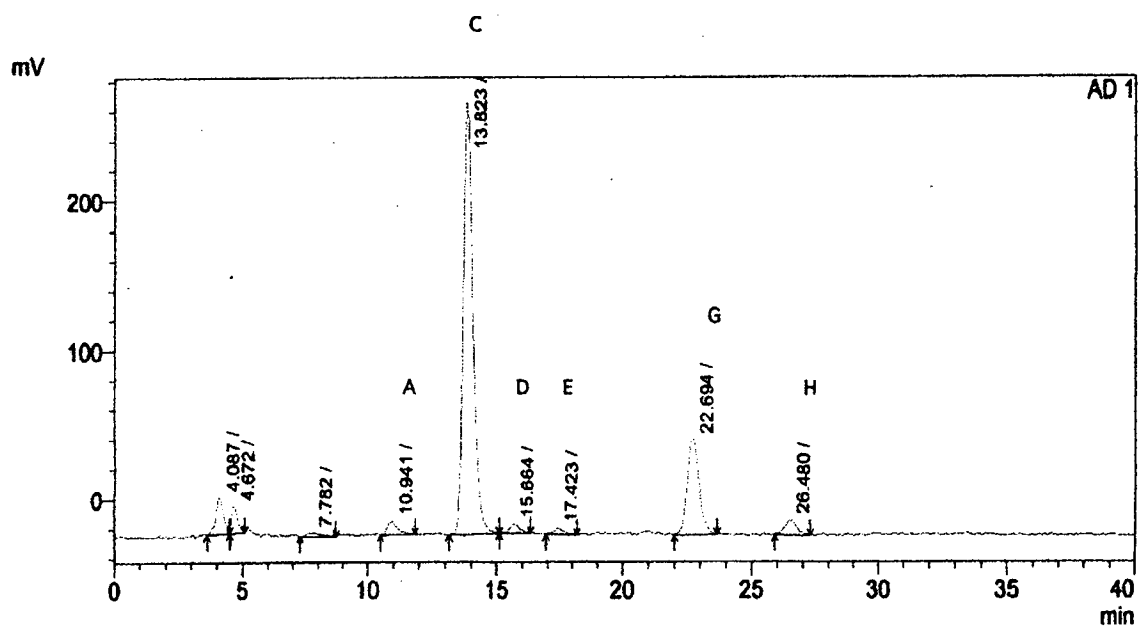
รูปที่ 4.38 HPLC โครมาโทแกรมของน้ำมันรำข้าวขาวดอกมะลิ 105 เมื่อสกัดด้วยเทคนิคการบอนไดออกไซด์วิกลุตยิงยาด ซึ่งประกอบด้วย C: แคมม่า-โทโคไตรอีนอล และ G: แคมม่า-โทโคเฟอรอล

จากการวิเคราะห์ปริมาณโทโคไตรอีนอลและโทโคเฟอรอลในน้ำมันรำข้าวกำลังหงุด 14 ตัวอย่างดังแสดงในรูปที่ 4.40 – 4.45 เปรียบเทียบกับ HPLC โครมาโทแกรมของสารมาตรฐานโทโคไตรอีนอลและโทโคเฟอรอล ดังแสดงในรูปที่ 4.39 แสดงให้เห็นว่าน้ำมันรำข้าวกำลังประกอบด้วยสารสำคัญกลุ่มโทโคไตรอีนอลและโทโคเฟอรอลมากกว่าน้ำมันรำข้าวขาว โดยตรวจวิเคราะห์พบเดลต้า-โทโคไตรอีนอล แคมม่า-โทโคไตรอีนอล และฟ้า-โทโคไตรอีนอล เดลต้า-โทโคเฟอรอล แคมม่า-โทโคเฟอรอล และแอลฟ้า-โทโคเฟอรอล มีเพียงน้ำมันรำข้าวกำลังหงุดอยละเกิดเท่านั้นที่ตรวจ

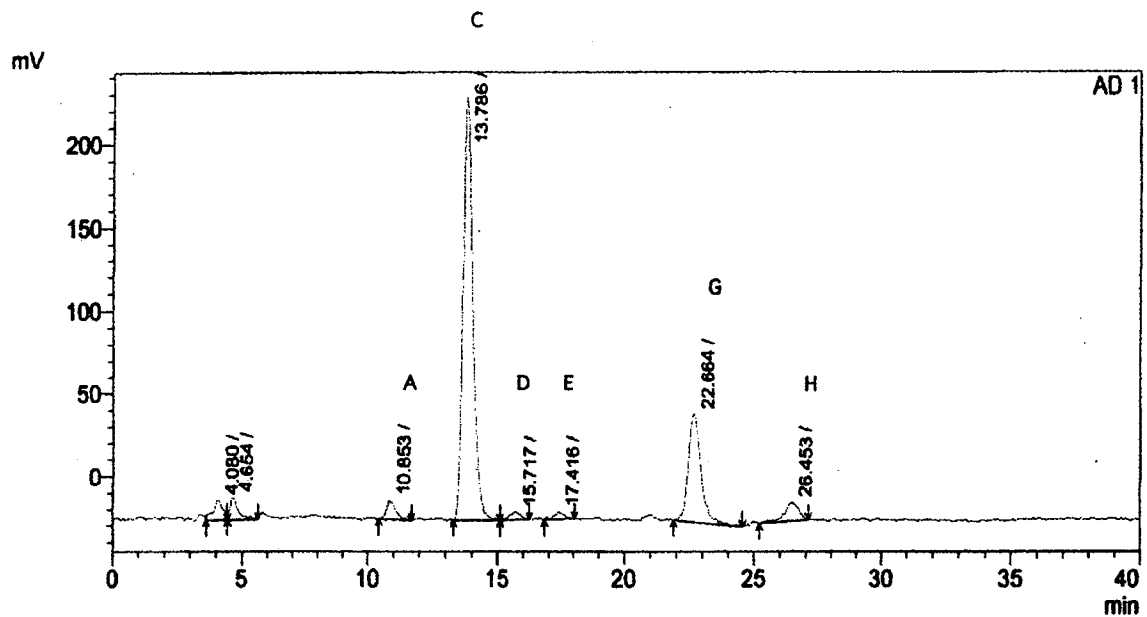
ไม่พบแอลฟ่า-ໂທໂຄໄຕຣີເຫືນອລ ແຕ່ກລັບຕຽກວິເຄຣະໜີພບປີຕໍ່າ-ໂທໂຄເພອຮອລ ຜຶ່ງແຕກຕ່າງຈາກນ້ຳມັນ
ຮ່າຂ້າວກໍາເືື່ນໆ ພລກາວິເຄຣະໜີປິມານໂທໂຄໄຕຣີເຫືນອລແລະໂທໂຄເພອຮອລດັ່ງແສດງໃນຕາງໆທີ່ 4.9 –
4.14



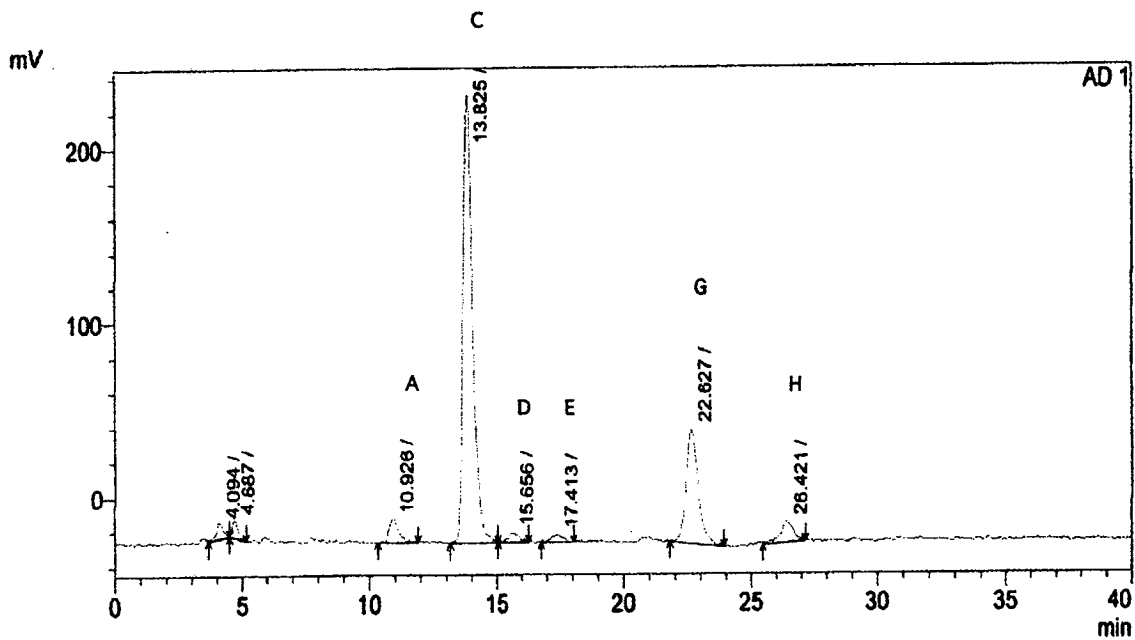
ຮູບທີ່ 4.39 HPLC ຄୋରມາໂທແກຣມຂອງສາຮລະລາຍພສມຂອງໂທໂຄໄຕຣີເຫືນອລແລະໂທໂຄເພອຮອລ ເມື່ອ A:
ເດລຕໍ່າ-ໂທໂຄໄຕຣີເຫືນອລ, B: ປີຕໍ່າ-ໂທໂຄໄຕຣີເຫືນອລ, C: ແກມມ່າ-ໂທໂຄໄຕຣີເຫືນອລ, D: ແອລຟ້າ-ໂທໂຄ
ໄຕຣີເຫືນອລ, E: ເດລຕໍ່າ-ໂທໂຄເພອຮອລ, F: ປີຕໍ່າ-ໂທໂຄເພອຮອລ, G: ແກມມ່າ-ໂທໂຄເພອຮອລ, ແລະ H:
ແອລຟ້າ-ໂທໂຄເພອຮອລ ຕາມສຳດັບ



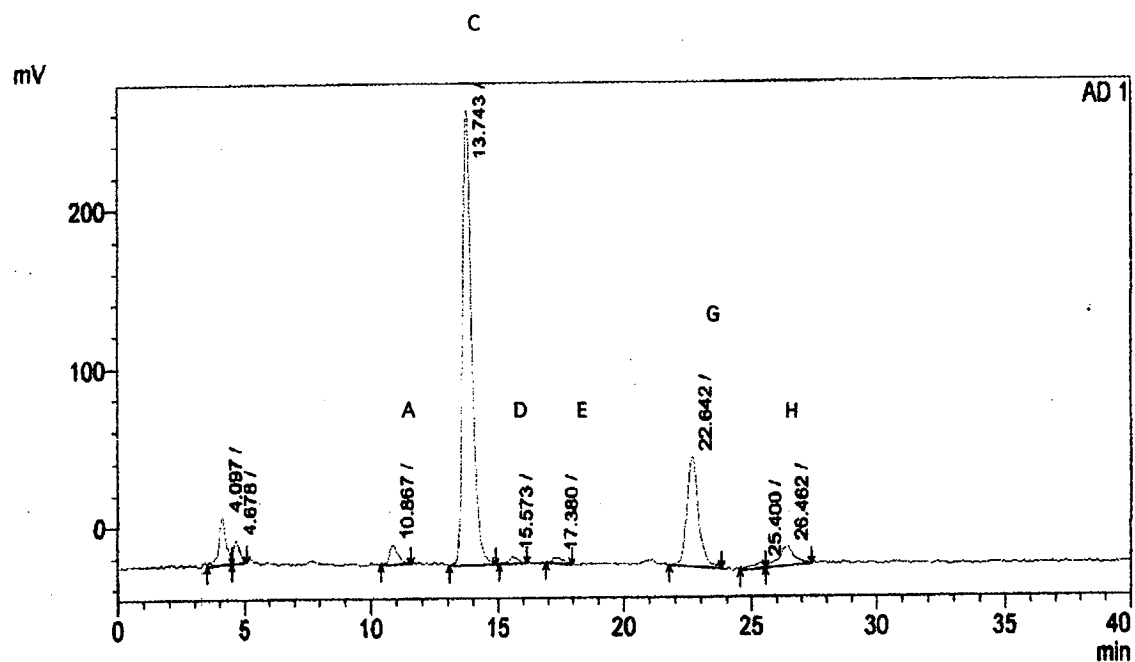
รูปที่ 4.40 HPLC โครมาโทแกรมของน้ำมันรำข้าวกำลีมผัว เมื่อสกัดด้วยการบีบเย็นซึ่งประกอบด้วย A: เเดลต้า-โทโคไตรอีนอล, C: แกรมม่า-โทโคไตรอีนอล, D: แอลฟ่า-โทโคไตรอีนอล, E: เเดลต้า-โทโคเฟอรอล, G: แกรมม่า-โทโคเฟอรอล และ H: แอลฟ่า-โทโคเฟอรอล



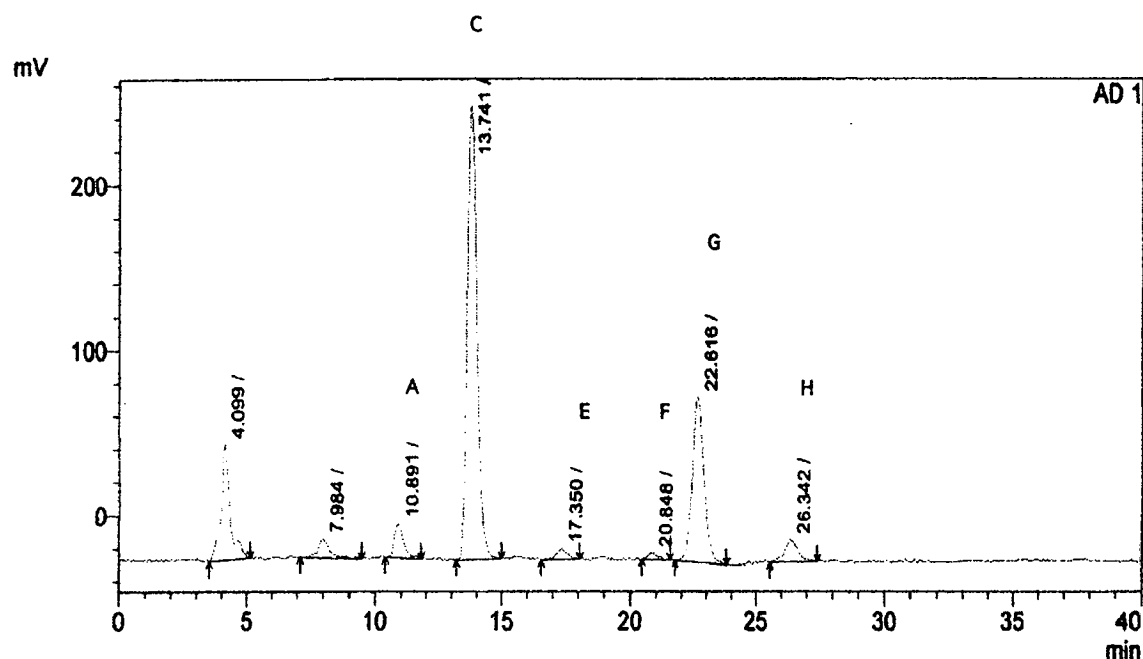
รูปที่ 4.41 HPLC โครมาโทแกรมของน้ำมันรำข้าวกำลีมผัว เมื่อสกัดด้วยเทคนิคการบอนไดออกไซด์ วิกรุตยิงယุดซึ่งประกอบด้วย A: เเดลต้า-โทโคไตรอีนอล, C: แกรมม่า-โทโคไตรอีนอล, D: แலฟ่า-โทโคไตรอีนอล, E: เเดลต้า-โทโคเฟอรอล, G: แกรมม่า-โทโคเฟอรอล และ H: แலฟ่า-โทโคเฟอรอล



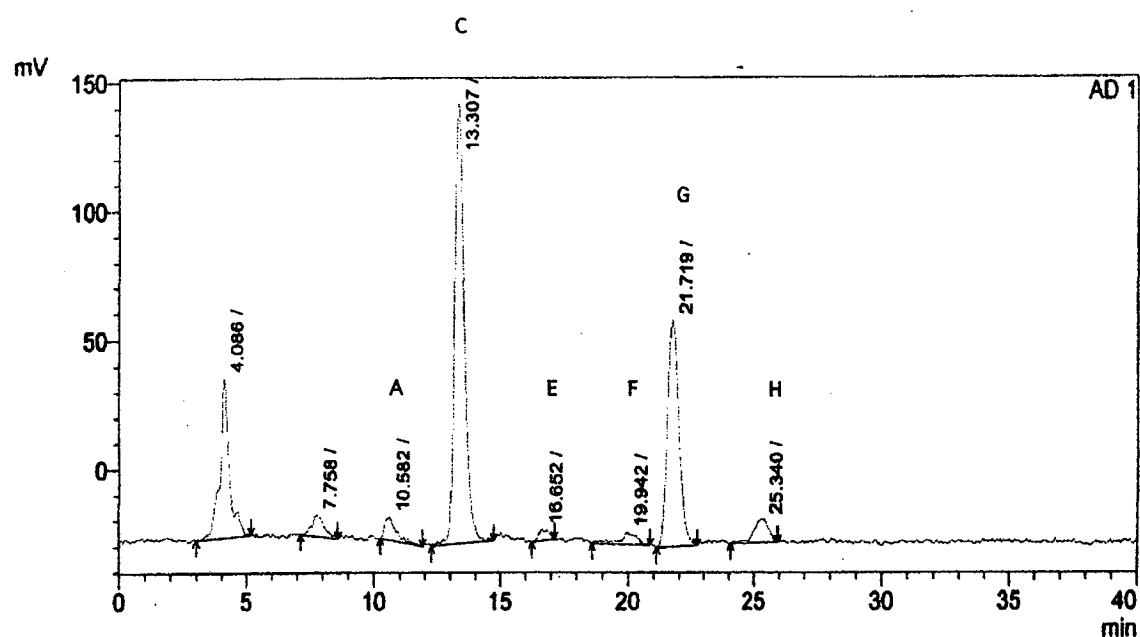
รูปที่ 4.42 HPLC โครมาโทแกรมของน้ำมันรำข้าวกำป้าอีคิว เมื่อสกัดด้วยการบีบเย็นซึ่งประกอบด้วย A: เเดลต้า-โทโคไตรอีนอล, C: แคมม่า-โทโคไตรอีนอล, D: แอลฟ่า-โทโคไตรอีนอล, E: เเดลต้า-โทโคเฟอรอล, G: แคมม่า-โทโคเฟอรอล และ H: แอลฟ่า-โทโคเฟอรอล



รูปที่ 4.43 HPLC โครมาโทแกรมของน้ำมันรำข้าวกำป้าอีคิว เมื่อสกัดด้วยเทคนิคการบอนไดออกไซด์วิกลฤทธิ์ยิ่งยอดซึ่งประกอบด้วย A: เเดลต้า-โทโคไตรอีนอล, C: แคมม่า-โทโคไตรอีนอล, D: แอลฟ่า-โทโคไตรอีนอล, E: เเดลต้า-โทโคเฟอรอล, G: แคำม่า-โทโคเฟอรอล และ H: แอลฟ่า-โทโคเฟอรอล



รูปที่ 4.44 HPLC โครมาโทแกรมของน้ำมันรำข้าวกำลังอยู่สะเก็ด เมื่อสกัดด้วยการบีบเย็นซึ่งประกอบด้วย A: เเดลต้า-โทโคไตรอีนอล, C: แคมม่า-โทโคไตรอีนอล, E: เเดลต้า-โทโคเฟอรอล, F: บีต้า-โทโคเฟอรอล, G: แคมม่า-โทโคเฟอรอล และ H: แอลฟ่า-โทโคเฟอรอล



รูปที่ 4.45 HPLC โครมาโทแกรมของน้ำมันรำข้าวกำลังอยู่สะเก็ด เมื่อสกัดด้วยเทคนิคการบอนไดออกไซด์วิกลุตยิงยาดซึ่งประกอบด้วย A: เเดลต้า-โทโคไตรอีนอล, C: แคมม่า-โทโคไตรอีนอล, E: เเดลต้า-โทโคเฟอรอล, F: บีต้า-โทโคเฟอรอล, G: แคมม่า-โทโคเฟอรอล และ H: แอลฟ่า-โทโคเฟอรอล

ตารางที่ 4.9 ปริมาณเดลต้า-ໂໂโคໂຕຣອິນອລ

ลำดับที่	ตัวอย่าง	ปริมาณเดลต้า-ໂໂโคໂຕຣອິນອລ (mg/g น้ำมัน)	
		การบีบเย็น	SCDE
1	ข้าวกำลีมผ้า	0.12 ± 0.02	0.13 ± 0.03
2	ข้าวกำดอยสะเก็ด	0.07 ± 0.01	0.07 ± 0.01
3	ข้าวกำพะ夷า	nd.	nd.
4	ข้าวกำเชียงราย	nd.	nd.
5	ข้าวกำต่อ	0.09 ± 0.02	0.10 ± 0.02
6	ข้าวกำปึง	0.09 ± 0.02	0.09 ± 0.02
7	ข้าวกำป้าอีค้อ	0.11 ± 0.03	0.10 ± 0.02
8	ข้าวเหนียวสันป่าตอง	nd.	nd.
9	ข้าวขาดอกมะลิ 105	nd.	nd.

จากตารางที่ 4.9 แสดงให้เห็นว่า น้ำมันรำข้าวขาวหั้ง 2 สายพันธุ์ ข้าวเหนียวสันป่าตอง และ ข้าวขาดอกมะลิ 105 ทั้งการเตรียมตัวอย่างน้ำมันรำข้าวด้วยเทคนิคการบีบเย็นและ กระบวนการโดยออกไซด์วิกฤตยิงความดันตรวจวิเคราะห์ไม่พบเดลต้า-ໂໂโคໂຕຣອິນອລตัวอย่างเทคนิคโดย มาก็กราฟชี้ของเหลวสมรรถนะสูง (HPLC) ด้วยตัวตรวจวัดชนิดฟลูออเรสเซนต์ รวมทั้งน้ำมันรำข้าว ก้าพะ夷าและน้ำมันรำข้าวกำเชียงรายซึ่งตรวจวิเคราะห์ไม่พบ ในขณะที่ตรวจพบเดลต้า-ໂໂโคໂຕຣອິນอยู่ในน้ำมันรำข้าวกำลีมผ้า น้ำมันรำข้าวกำป้าอีค้อ น้ำมันรำข้าวกำปึง น้ำมันรำข้าวกำต่อและ น้ำมันรำข้าวกำดอยสะเก็ด แต่ตรวจพบในปริมาณน้อย ซึ่งสัมพันธ์กับรายงานของ Huang และ Ng (2011) ที่ทำการวิเคราะห์ปริมาณเดลต้า-ໂໂโคໂຕຣອິນอยู่ในข้าวที่มีการจำหน่ายในประเทศไต้หวัน จำนวน 14 ตัวอย่างพบว่าตรวจพบเดลต้า-ໂໂโคໂຕຣອິນอยู่ในระดับต่ำโดยมีค่าเฉลี่ยเท่ากับ $2.54 \pm 0.71 \text{ mg/kg}$

ตารางที่ 4.10 ปริมาณแกรมม่า-โทโคไตรอีนอล

ลำดับที่	ตัวอย่าง	ปริมาณแกรมม่า-โทโคไตรอีนอล (mg/g น้ำมัน)	
		การบีบเย็น	SCDE
1	ข้าวกำลีมผ้า	1.63 ± 0.12	1.57 ± 0.10
2	ข้าวกำลือยสะเก็ด	1.38 ± 0.09	1.32 ± 0.10
3	ข้าวกำลophys夷	1.26 ± 0.08	1.28 ± 0.09
4	ข้าวกำลเชียงราย	1.22 ± 0.10	1.19 ± 0.08
5	ข้าวกำลต้อ	1.39 ± 0.12	1.33 ± 0.09
6	ข้าวกำลนึ่ง	1.45 ± 0.09	1.42 ± 0.08
7	ข้าวกำลป้าอีค้อ	1.53 ± 0.13	1.46 ± 0.09
8	ข้าวเหนียวลันป่าตอง	0.79 ± 0.08	0.82 ± 0.10
9	ข้าวขาวดอกมะลิ 105	0.73 ± 0.08	0.68 ± 0.07

ค่าเฉลี่ย ± ส่วนเบี่ยงเบนมาตรฐาน

จากการวิเคราะห์ปริมาณแกรมม่า-โทโคไตรอีนอลในน้ำมันรำข้าวขาวและน้ำมันรำข้าวกำล พบว่า ทั้งน้ำมันรำข้าวขาวและน้ำมันรำข้าวกำล มีแกรมม่า-โทโคไตรอีนอลเป็นองค์ประกอบสูงสุดในสารสำคัญกลุ่มโทโคไตรอีนอลและโทโคเฟอรอล โดยพบว่า น้ำมันรำข้าวกำลีมผ้าที่สกัดด้วยการบีบเย็นตราชพแกรมม่า-โทโคไตรอีนอลสูงสุดเท่ากับ $1.63 \pm 0.12 \text{ mg/g}$ น้ำมัน ซึ่งเมื่อเปรียบเทียบระหว่างน้ำมันรำข้าวกำล และน้ำมันรำข้าวขาว พบว่า น้ำมันรำข้าวกำล มีปริมาณแกรมม่า-โทโคไตรอีนอลสูงกว่าน้ำมันรำข้าวขาวประมาณ $1.5 - 2$ เท่า นอกจากนี้ การเตรียมตัวอย่างน้ำมันรำข้าวด้วยเทคนิคการบีบเย็นและเทคนิคการบ่อนได้ออกไซด์วิกฤตยิ่งยวดนั้นให้ปริมาณของแกรมม่า-โทโคไตรอีนอลไม่แตกต่างกัน

ตารางที่ 4.11 ปริมาณแอลฟ่า-ໂໂടົໂຕຣອິນອລ

ลำดับที่	ตัวอย่าง	ปริมาณแอลฟ่า-ໂໂടົໂຕຣອິນອລ (mg/g น้ำมัน)	
		การบีบเย็น	SCDE
1	ข้าวกำลีมผ้า	0.24 ± 0.03	0.22 ± 0.03
2	ข้าวกำัดอยสะเก็ด	nd.	nd.
3	ข้าวกำพะ夷າ	0.16 ± 0.02	0.17 ± 0.03
4	ข้าวกำเชียงราย	0.16 ± 0.03	0.14 ± 0.02
5	ข้าวกำต่อ	0.18 ± 0.02	0.17 ± 0.02
6	ข้าวกำปึง	0.20 ± 0.03	0.18 ± 0.02
7	ข้าวกำป้าอีค้อ	0.28 ± 0.04	0.23 ± 0.03
8	ข้าวเหนียวสันป่าตอง	nd.	nd.
9	ข้าวขาวดอกมะลิ 105	nd.	nd.

ค่าเฉลี่ย ± ส่วนเบี่ยงเบนมาตรฐาน

ตารางที่ 4.12 ปริมาณเดลต้า-ໂໂടົເພອຣອລ

ลำดับที่	ตัวอย่าง	ปริมาณเดลต้า-ໂໂດເພອຣອລ (mg/g น้ำมัน)	
		การบีบเย็น	SCDE
1	ข้าวกำลีมผ้า	0.15 ± 0.03	0.12 ± 0.02
2	ข้าวกำัดอยสะเก็ด	0.08 ± 0.02	0.07 ± 0.02
3	ข้าวกำพะ夷າ	nd.	nd.
4	ข้าวกำเชียงราย	nd.	nd.
5	ข้าวกำต่อ	0.08 ± 0.02	0.09 ± 0.02
6	ข้าวกำปึง	0.09 ± 0.02	0.09 ± 0.02
7	ข้าวกำป้าอีค้อ	0.12 ± 0.03	0.11 ± 0.03
8	ข้าวเหนียวสันป่าตอง	nd.	nd.
9	ข้าวขาวดอกมะลิ 105	nd.	nd.

ค่าเฉลี่ย ± ส่วนเบี่ยงเบนมาตรฐาน

จากการวิเคราะห์ปริมาณแอลฟ่า-โทโคไตรอีนอลพบว่ามีน้ำมันรำข้าวกำป้าอีกอยู่ปริมาณแอลฟ่า-โทโคไตรอีนอลสูงสุด ตามมาด้วยน้ำมันรำข้าวกำลีมผัว โดยที่ตรวจวิเคราะห์ไม่พบแอลฟ่า-โทโคไตรอีนอลในน้ำมันรำข้าวขาวและน้ำมันรำข้าวกำคอดอยละเกิด นอกจากนั้นการวิเคราะห์ปริมาณเดลต้า-โทโคเฟอรอล พบว่าตรวจไม่พบเดลต้า-โทโคเฟอรอลในน้ำมันรำข้าวขาว รวมทั้งน้ำมันรำข้าวกำพะ夷าและข้าวกำเชียงราย ซึ่งผลการวิเคราะห์เดลต้า-โทโคเฟอรอลเป็นไปในทางเดียวกับผลการวิเคราะห์เดลต้า-โทโคไตรอีนอล โดยพบว่ามีน้ำมันรำข้าวกำลีมผัวมีปริมาณเดลต้า-โทโคเฟอรอลสูงสุด ตามมาด้วยน้ำมันรำข้าวกำป้าอีก

ตารางที่ 4.13 ปริมาณบีต้า-โทโคเฟอรอล

ลำดับที่	ตัวอย่าง	ปริมาณบีต้า-โทโคเฟอรอล (mg/g น้ำมัน)	
		การบีบเย็น	SCDE
1	ข้าวกำลีมผัว	nd.	nd.
2	ข้าวกำคอดอยละเกิด	0.09 ± 0.02	0.10 ± 0.03
3	ข้าวกำพะ夷า	nd.	nd.
4	ข้าวกำเชียงราย	nd.	nd.
5	ข้าวกำต้อ	nd.	nd.
6	ข้าวกำบึง	nd.	nd.
7	ข้าวกำป้าอีค้อ	nd.	nd.
8	ข้าวเหนียวสันป่าตอง	nd.	nd.
9	ข้าวขาวดอกมะลิ 105	nd.	nd.

ค่าเฉลี่ย ± ส่วนเบี่ยงเบนมาตรฐาน

จากการวิเคราะห์ปริมาณบีต้า-โทโคเฟอรอลพบว่าตรวจพบบีต้า-โทโคเฟอรอลเฉพาะในน้ำมันรำข้าวกำคอดอยละเกิดเพียงตัวอย่างเดียวเท่านั้น โดยที่ตัวอย่างน้ำมันรำข้าวกำลีมผัวและน้ำมันรำข้าวขาวอื่นๆ ตรวจไม่พบบีต้า-โทโคเฟอรอลหรืออาจมีองค์ประกอบชนของบีต้า-โทโคเฟอรอลแต่มีปริมาณที่ต่ำกว่า Limit of quantitation (LOQ) ของวิชีวิเคราะห์ซึ่งมีค่าเท่ากับ 23 นาโนกรัม ซึ่งล้มพังธุรกับรายงานวิจัยของ Huang และ Ng (2011) ที่ทำการวิเคราะห์ปริมาณบีต้า-โทโคเฟอรอลในข้าวที่มีการจำหน่ายในประเทศไทยให้วันจำนวน 14 ตัวอย่างพบว่าตรวจพบบีต้า-โทโคเฟอรอลในระดับต่ำโดยมีค่าเฉลี่ยเท่ากับ $1.90 \pm 0.67 \text{ mg/kg}$

ตารางที่ 4.14 ปริมาณแกรมม่า-ໂໂຄເຟຣອລ

ลำดับที่	ตัวอย่าง	ปริมาณแกรมม่า-ໂໂຄເຟຣອລ (mg/g น้ำมัน)	
		การบีบเย็น	SCDE
1	ข้าวกำลีมผ้า	1.19 ± 0.09	1.06 ± 0.08
2	ข้าวกำดอยสะเก็ด	1.02 ± 0.09	0.96 ± 0.09
3	ข้าวกำพะ夷า	0.97 ± 0.07	0.92 ± 0.08
4	ข้าวกำเชียงราย	0.94 ± 0.08	0.86 ± 0.07
5	ข้าวกำต่อ	1.01 ± 0.09	0.95 ± 0.07
6	ข้าวกำบึง	1.09 ± 0.07	1.03 ± 0.08
7	ข้าวกำปາอືគອ	1.06 ± 0.08	0.98 ± 0.07
8	ข้าวเหนียวสันป่าตอง	0.56 ± 0.07	0.58 ± 0.08
9	ข้าวขาวดอกมะลิ 105	0.62 ± 0.06	0.55 ± 0.08

ตารางที่ 4.15 ปริมาณแอลฟා-ໂໂຄເຟຣອල

ลำดับที่	ตัวอย่าง	ปริมาณแอลฟා-ໂໂຄເຟຣອල (mg/g น้ำมัน)	
		การบีบเย็น	SCDE
1	ข้าวกำลีมผ้า	0.54 ± 0.04	0.48 ± 0.03
2	ข้าวกำดอยสะเก็ด	0.36 ± 0.03	0.30 ± 0.03
3	ข้าวกำพะ夷า	0.27 ± 0.03	0.28 ± 0.02
4	ข้าวกำเชียงราย	0.29 ± 0.02	0.30 ± 0.03
5	ข้าวกำต่อ	0.34 ± 0.03	0.32 ± 0.03
6	ข้าวกำบึง	0.38 ± 0.04	0.35 ± 0.03
7	ข้าวกำปາອືគອ	0.45 ± 0.03	0.43 ± 0.04
8	ข้าวเหนียวสันป่าตอง	nd.	nd.
9	ข้าวขาวดอกมะลิ 105	nd.	nd.

จากการวิเคราะห์ปริมาณแกรมม่า-ໂໂຄເຟຣອලและแอลฟා-ໂໂຄເຟຣອලในน้ำมันรำข้าวทั้ง 18 ตัวอย่างพบว่า ตรวจวิเคราะห์พบแกรมม่า-ໂໂຄເຟຣອลและแอลฟා-ໂໂຄເຟຣອลสูงสุดในน้ำมันรำข้าวกำลีมผ้า โดยที่น้ำมันรำข้าวกำลีมผ้ามีปริมาณแกรมม่า-ໂໂຄເຟຣອลสูงกว่าน้ำมันรำข้าวประมาณ 1.5 – 2 เท่า โดยที่ตรวจวิเคราะห์ไม่พบแอลฟා-ໂໂຄເຟຣອลในน้ำมันรำข้าว

จากการวิเคราะห์ปริมาณโทโคไตรอีนอลและโทโคเฟอรอลในตัวอย่างรำข้าวกำทั้งหมด 14 ตัวอย่างและน้ำมันรำข้าวขาวทั้งหมด 4 ตัวอย่างสามารถสรุปปริมาณโทโคไตรอีนอลและโทโคเฟอรอลได้ดังตารางที่ 4.16

ตารางที่ 4.16 ปริมาณโทโคไตรอีนอลและโทโคเฟอรอลในน้ำมันรำข้าวกำและน้ำมันรำข้าวขาว

ตัวอย่าง	การบีบเย็น					
	δ -T3	γ -T3	α -T3	δ -T4	γ -T4	α -T4
ข้าวกำลีมผัว	+++++	+++++	++++	+++++	+++++	+++++
ข้าวกำคอดอยสะเก็ด	+++	+++	nd.	+++	+++	+++
ข้าวกำพะ夷า	nd.	++	++	nd.	+++	++
ข้าวกำเชียงราย	nd.	++	++	nd.	+++	++
ข้าวกำต่อ	+++	+++	+++	+++	+++	+++
ข้าวกำบึง	+++	++++	+++	+++	++++	+++
ข้าวกำป้าอีค้อ	+++++	++++	+++++	++++	++++	++++
ข้าวเหนียวสันป่าตอง	nd.	+	nd.	nd.	++	+
ข้าวขาวดอกมะลิ 105	nd.	+	nd.	nd.	++	+
ตัวอย่าง	คาร์บอนไดออกไซด์วิกฤตยิ่งวด (SCDE)					
	δ -T3	γ -T3	α -T3	δ -T4	γ -T4	α -T4
ข้าวกำลีมผัว	+++++	+++++	+++++	+++++	+++++	+++++
ข้าวกำคอดอยสะเก็ด	++	+++	nd.	nd.	+++	+++
ข้าวกำพะ夷า	nd.	++	++	++	+++	++
ข้าวกำเชียงราย	nd.	++	++	++	+++	++
ข้าวกำต่อ	++++	+++	+++	+++	+++	+++
ข้าวกำบึง	+++	++++	+++	+++	+++	+++
ข้าวกำป้าอีค้อ	++++	++++	+++++	+++++	++++	++++
ข้าวเหนียวสันป่าตอง	nd.	+	nd.	nd.	++	nd.
ข้าวขาวดอกมะลิ 105	nd.	+	nd.	nd.	++	nd.

T3: โทโคไตรอีนอล, T4: โทโคเฟอรอล, +++++ มากรีด, ++++ มาด, +++ ปานกลาง, ++ น้อย, + น้อยที่สุด
เปรียบเทียบในแต่ละวิธีการสกัด

จากตารางที่ 4.16 แสดงผลการสรุปปริมาณโทโคไตรอีนอลและโทโคเฟอรอล แสดงให้เห็นว่า น้ำมันรำข้าวกำลีมผัวทั้งที่เตรียมจาก การบีบเย็น และ คาร์บอนไดออกไซด์วิกฤตยิ่งวด มีปริมาณ

โทโคไตรอีนอลและโทโคเพอรอลสูงสุด ตามมาด้วยน้ำมันรำข้าวกำป้าอีกอ ข้าวกำปึงและข้าวกำต่อ ตามลำดับ ในขณะที่น้ำมันรำข้าวกำป้าอีกอที่เตรียมด้วยเทคนิคการบอนไดออกไซด์วิกฤตยิ่งขาดมีปริมาณแคมม่า-โไฮเดรชันอลสูงสุด แต่เมื่อวิเคราะห์ทางสถิติแล้วพบว่าน้ำมันรำข้าวกำป้าอีกอที่เตรียมด้วยเทคนิคการบอนไดออกไซด์วิกฤตยิ่งขาดมีปริมาณแคมม่า-โไฮเดรชันอลไม่แตกต่างอย่างมีนัยสำคัญทางสถิติกับน้ำมันรำข้าวกำป้าที่เตรียมด้วยการบีบเย็น นอกจากนี้ต้นทุนในการเตรียมน้ำมันรำข้าวด้วยเทคนิคการบอนไดออกไซด์วิกฤตยิ่งขาดมีนัยสำคัญกว่าการบีบเย็น นอกจานี้ต้นทุนในการอย่างน้อย 5 เท่า ดังนั้นคงจะผู้วิจัยจึงเลือกการเตรียมด้วยการบีบเย็นมาวิเคราะห์ชนิดและปริมาณกรดไขมันโดยได้คัดเลือกตัวอย่างน้ำมันรำข้าวด้วยเทคนิคการบีบเย็น มาศึกษาชนิดและปริมาณของกรดไขมัน โดยได้คัดเลือกตัวอย่างน้ำมันรำข้าวกำป้าลีมผ้า ข้าวกำป้าอีกอ ข้าวกำปึงและข้าวกำต่อที่เตรียมด้วยการบีบเย็นมาวิเคราะห์ชนิดและปริมาณกรดไขมันเปรียบเทียบกับตัวอย่างน้ำมันรำข้าวขาวอีก 2 ตัวอย่างคือ น้ำมันรำข้าวเหนียวสันปันปะตองและน้ำมันรำข้าวขาวดอกมะลิ 105

4.7 การวิเคราะห์ชนิดและปริมาณของกรดไขมัน

จากการส่งน้ำมันรำข้าวกำป้าลีมผ้า น้ำมันรำข้าวกำป้าอีกอ น้ำมันรำข้าวกำปึง น้ำมันรำข้าว ต่อ น้ำมันรำข้าวเหนียวสันปันปะตองและน้ำมันรำข้าวขาวดอกมะลิ 105 ที่สกัดด้วยการบีบเย็นเพื่อตรวจวิเคราะห์ชนิดและปริมาณกรดไขมันด้วยเทคนิค GC-MS/MS ณ ห้องปฏิบัติการวิจัยและบริการ ศูนย์วิทยาศาสตร์สาธารณสุขฯ จุฬาลงกรณ์มหาวิทยาลัย พบร่วมกับวิเคราะห์พบกรดไขมันชนิด oleic acid (C18:1 n-9 cis) มากที่สุด รองลงมาคือ กรดไขมันชนิด linoleic acid (C18:2 n-6 cis), palmitic acid (C16:0), และ stearic acid (C18:0) ตามลำดับดังแสดงในตารางที่ 4.17 และผลการตรวจวิเคราะห์ดังแสดงในภาคผนวก

ตารางที่ 4.17 ร้อยละของกรดไขมันที่ตรวจพบในน้ำมันรำข้าวที่สกัดด้วยการบีบเย็น

ตัวอย่าง	ร้อยละของกรดไขมันที่ตรวจพบ			
	oleic acid	linoleic acid	palmitic acid	stearic acid
ข้าวกำป้าลีมผ้า	45.84	38.75	14.68	0.73
ข้าวกำป้าอีกอ	46.66	31.35	20.99	0.99
ข้าวกำปึง	42.66	34.67	21.78	0.89
ข้าวกำต่อ	45.63	32.91	20.30	1.16
ข้าวเหนียวสันปันปะตอง	46.29	32.04	20.45	1.23
ข้าวขาวดอกมะลิ 105	49.69	29.70	19.79	0.82

จากการสั่งตรวจวิเคราะห์ชนิดและปริมาณกรดไขมันพบว่ามีมันรำข้าวกำล้าและน้ำมันรำข้าว
ขาวที่สกัดด้วยการบีบเย็นมีชนิดและปริมาณของกรดไขมันไม่แตกต่างกัน

จากการวิเคราะห์ปริมาณสารสำคัญในน้ำมันรำข้าวกำล้าและน้ำมันรำข้าวขาว ซึ่ง^{ช่อง}
ประกอบด้วยการวิเคราะห์ปริมาณสารประกอบฟีนอลิกทั้งหมด ปริมาณสารประกอบฟลาโวนอยด์
ทั้งหมดและปริมาณสารกลุ่มแอนโธไซยานินทั้งหมดสามารถสรุปผลการตรวจวิเคราะห์ได้ตารางที่

4.18

ตารางที่ 4.18 ปริมาณสารประกอบฟีนอลิกทั้งหมด ฟลาโวนอยด์ทั้งหมดและแอนโธไซยานิน^{ช่อง}
ทั้งหมด

ตัวอย่าง	การบีบเย็น		
	Total phenolic content	Total flavonoid content	Total anthocyanin content
ข้าวกำล้าลีมผ้า	+++++	+++++	+++++
ข้าวกำล้าดอยละเก็ด	+++	++++	+++
ข้าวกำล้าพะ夷า	++	+++	++
ข้าวกำล้าเชียงราย	++	+++	++
ข้าวกำล้าต่อ	++++	++++	++++
ข้าวกำล้าบึง	++++	+++++	+++++
ข้าวกำล้าป้าอีค้อ	+++++	+++++	+++++
ข้าวเหนียวลันป้าตอง	+	++	nd.
ข้าวขาดอกมะลิ 105	+	++	nd.
ตัวอย่าง	การบีบอ่อนโดยออกไซด์ไวกฤตอย่างรวดเร็ว		
	Total phenolic content	Total flavonoid content	Total anthocyanin content
ข้าวกำล้าลีมผ้า	+++++	+++++	+++++
ข้าวกำล้าดอยละเก็ด	+++	++++	+++
ข้าวกำล้าพะ夷า	+++	+++	++
ข้าวกำล้าเชียงราย	++	+++	++
ข้าวกำล้าต่อ	++++	++++	+++
ข้าวกำล้าบึง	++++	+++++	+++++
ข้าวกำล้าป้าอีค้อ	+++++	+++++	++++
ข้าวเหนียวลันป้าตอง	+	++	nd.
ข้าวขาดอกมะลิ 105	+	++	nd.

+++++ มากที่สุด, ++++
มาก, +++
ปานกลาง, ++
น้อย, +
น้อยที่สุด; เปรียบเทียบในแต่ละวิธีการสกัด

จากตารางที่ 4.18 แสดงให้เห็นว่ามีน้ำมันรำข้าวกำลีมผัวและน้ำมันรำข้าวกำป้าอีกด้วยที่สกัดด้วยการบีบเย็นมีปริมาณสารประกอบพื้นอิสิกทั้งหมดสารประกอบฟลาโวนอยด์ทั้งหมดและสารประกอบกลุ่มแอนโธไซยานินทั้งหมดสูงสุด เมื่อพิจารณาถึงสารสำคัญกลุ่มโภโคไตรอีนอลและโภโคเฟอรอลซึ่งแสดงผลการสรุปปริมาณของสารกลุ่มดังกล่าวในตารางที่ 4.16 แสดงให้เห็นว่า น้ำมันรำข้าวกำลีมผัวที่สกัดด้วยการบีบเย็นมีปริมาณโภโคไตรอีนอลและโภโคเฟอรอลสูงสุด เช่นเดียวกัน ถึงแม้ว่าในตารางที่ 4.6 จะแสดงให้เห็นว่ามีน้ำมันรำข้าวกำป้าอีกด้วยการบีบเย็นและคาร์บอนไดออกไซด์วิกฤติยังขาดจะมีปริมาณแคมมา-โอะไรชานอลสูงกว่าน้ำมันรำข้าวกำลีมผัวที่สกัดด้วยการบีบเย็นและคาร์บอนไดออกไซด์วิกฤติยังขาดตามแต่เมื่อวิเคราะห์ในทางสถิติแล้วพบว่าไม่มีความแตกต่างกันอย่างมีนัยสำคัญทางสถิติ อีกทั้งการสกัดน้ำมันรำข้าวด้วยเทคนิคคาร์บอนไดออกไซด์วิกฤติยังมีต้นทุนที่สูงกว่าการบีบเย็นอย่างน้อยประมาณ 5 เท่า เมื่อพิจารณาจากผลการวิเคราะห์ปริมาณสารสำคัญและต้นทุนการเตรียมตัวอย่างน้ำมันแล้ว คงจะผู้ริจัยจึงเลือกน้ำมันรำข้าวกำลีมผัวมาพัฒนาเป็นผลิตภัณฑ์ชนิดแคปซูลแข็งชนิดเคลือบเอนเทอเริกเพื่อบังกันการสูญเสียและปลดปล่อยสารสำคัญในกระบวนการอาหารต่อไป

4.8 การทดลองหาสารเจือจางที่เหมาะสมกับน้ำมันรำข้าวกำลีมผัวและการประเมินประสิทธิภาพสารเจือจาง

เนื่องจากน้ำมันรำข้าวกำลีมผัวมีลักษณะทางกายภาพเป็นของเหลว มีสีเข้ม มีความข้นหนืด การนำมานำรูแคปซูลจึงต้องหาสารเจือจางที่เหมาะสมที่สามารถลดดูดซับน้ำมันรำข้าวกำลีมผัวได้ดี เพื่อเปลี่ยนสภาพจากของเหลวขึ้นหนืดให้เป็นผงแห้งและสามารถโหลดได้ดี เหมาะสมที่จะนำมาบรรจุแคปซูล จากการศึกษาจากโครงการวิจัยเรื่อง “การพัฒนาระบบนำส่งสารสกัดแคมมา-โอะไรชานอลจากข้าวสาลีพันธุ์ไทยที่มีคุณภาพในการบังกันการก่อมะเร็งลำไส้ใหญ่และลำไส้ตรง” ได้ประเมินประสิทธิภาพสารเจือจางชนิดต่างๆ ได้แก่ แบงช้าโพด แบงมันสำปะหลังและแคลคโอล กับ microcrystalline cellulose (Avicel[®] pH 101) ในการดูดซับน้ำมันรำข้าวกำลีมผัว Avicel[®] pH 101 มีประสิทธิภาพดีกว่าแบงชนิดต่างๆ และแคลคโอล ในการทดลองนี้จึงเลือกใช้ Avicel[®] pH 101 เป็นสารเจือจางสำหรับการเตรียมแคปซูลน้ำมันรำข้าวกำ ร่วมกับ colloidal silicon dioxide ในสัดส่วนที่เหมาะสม นอกจากทำหน้าที่เป็นสารดูดซับที่ดีแล้ว colloidal silicon dioxide มีสมบัติเป็นสารช่วยให้ลดจักษุให้แก่รูปแบบให้ได้ดีอีกด้วย

การประเมินประสิทธิภาพสารเจือจาง โดยการวัดปริมาณความชื้นและความสามารถในการโหลดด้วยค่า Carr's Compressibility index พบว่า ปริมาณสารเจือจางที่เหมาะสมสำหรับน้ำมันรำข้าวกำจันได้ผงที่แห้ง คือ ผงผสมของ Avicel[®] pH 101 กับ colloidal silicon dioxide ในอัตราส่วน 4:1 โดยน้ำหนัก โดยมีค่า Carr's Compressibility index เท่ากับ 9.68 ± 1.18 และร้อยละของปริมาณความชื้น 4.46 ± 0.35 ปริมาณของ colloidal silicon dioxide คิดเป็นร้อยละ 15 ของตัวรับ เป็น

ปริมาณที่มากกว่าการทำหน้าที่เป็นสารช่วยเหลือ ซึ่งปกติจะใช้ในความเข้มข้นร้อยละ 0.1-0.5 ของตัวรับ

4.9 การเตรียมแกรนูลของน้ำมันรำข้าวกำลีมผัว

เพื่อให้ได้ผงแห้งของน้ำมันรำข้าวกำลีมผัวที่มีสมบัติการไหลที่ดี จึงนำมาเตรียมเป็นแกรนูลด้วยวิธีแกรนูลเปียกโดยใช้ polyvinyl pyrrolidone K90 ที่ละลายน้ำ propyl alcohol เป็นสารยึดเกาะ ปริมาณที่เหมาะสมของ PVP K90 ตามสูตรต่อไปนี้จะได้แกรนูลที่เหมาะสมและร้อยละผลผลิตของแกรนูลแห้งที่ได้ (% yield) เท่ากับ 97.31

สูตรตัวรับ

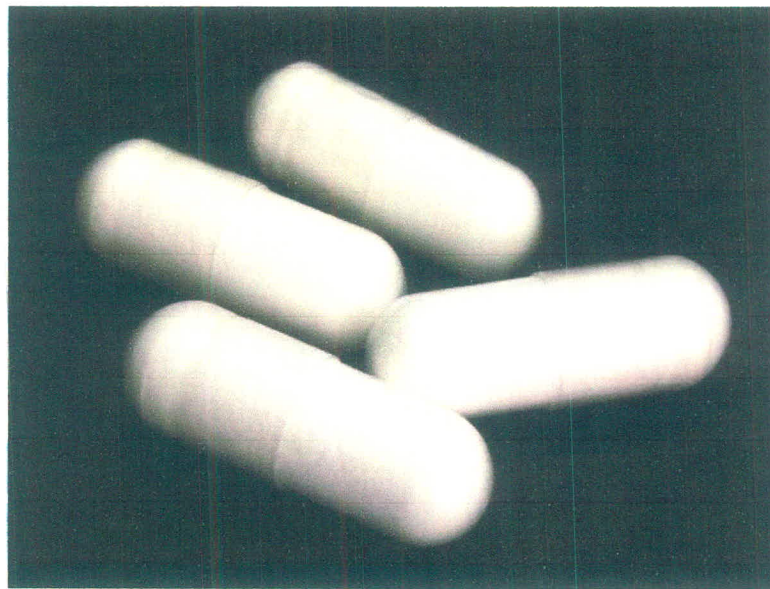
น้ำมันรำข้าวกำลีมผัว	10.0 g
ผงผสม Avicel® pH 101: colloidal silicon dioxide (4:1 w/w)	30.0 g
PVP K90	3.43%

4.10 การเตรียมแคปซูลน้ำมันรำข้าวกำลีมผัว

การตั้งสูตรตัวรับแคปซูลต้องการให้มีน้ำมันรำข้าวกำลีมผัวประมาณ 90-100 มิลลิกรัมต่อแคปซูล แคปซูลเปล่าที่ใช้ในการบรรจุน้ำมันรำข้าวกำลีมผัวเป็นชนิด DR capsules หรือ delayed release หรือ enteric coated capsule สำหรับการนำส่งด้วยไปยังลำไส้เล็กส่วนต้น ขนาดแคปซูลเบอร์ 1 ซึ่งมีความจุโดยประมาณ 0.48 มิลลิลิตร ปริมาณสารที่สามารถบรรจุได้สูงสุดขึ้นกับความหนาแน่นของแกรนูล (ความหนาแน่นของแกรนูล 0.6-0.8 กรัม/มิลลิลิตร ปริมาณที่บรรจุมีน้ำหนัก 288-384 มิลลิกรัม) และเนื่องจากแกรนูลน้ำมันรำข้าวกำลีมผัวมีความหนาแน่นค่อนข้างต่ำ (tapped density = 0.41±0.02) ปริมาณแกรนูลน้ำมันรำข้าวกำลีมผัวที่บรรจุได้มีค่าเฉลี่ยเท่ากับ 364±14.1 มิลลิกรัม

4.11 การประเมินคุณภาพแคปซูลของน้ำมันรำข้าวกำลีมผัว

4.11.1 การตรวจสอบลักษณะทางกายภาพของแคปซูล แคปซูลส่วนใหญ่มีลักษณะสมบูรณ์เปลือกแคปซูลไม่ฉีกขาด ตรวจพบเพียงบางแคปซูล (3-5 แคปซูล/150 แคปซูล) ที่ส่วนปลายมีการถูกตัด จึงต้องคัดออก



รูปที่ 4.46 ลักษณะภายนอกของแคปซูลน้ำมันรำข้าวกำลีมผัว

4.11.2 ความแปรปรวนของน้ำหนักแคปซูล

ผลิตภัณฑ์แคปซูลน้ำมันรำข้าวกำลีมผัวมีวัตถุประสงค์เพื่อพัฒนาเป็นผลิตภัณฑ์สำหรับใช้เสริมอาหาร (dietary supplement) การประเมินคุณภาพด้านความแปรปรวนของน้ำหนักแคปซูล จึงใช้เกณฑ์ตาม USP/NF <2019> WEIGHT VARIATION OF DIETARY SUPPLEMENTS โดยประเมินความแปรปรวนของน้ำหนักร่วม (gross weight) จำนวน 20 แคปซูล กรณีที่การตรวจสอบพบว่ามีแคปซูลใดแคปซูลหนึ่ง มีน้ำหนักร่วมแตกต่างจากค่าเฉลี่ยมากกว่าร้อยละ 10 จึงทำการประเมินความแปรปรวนน้ำหนักสุทธิของสารที่บรรจุภายใน

ในการวิจัยครั้งนี้ ได้ทำการประเมินความแปรปรวนของน้ำหนักแคปซูลทั้งสองแบบ พบว่า ค่าความแปรปรวนของน้ำหนักร่วมและความแปรปรวนของน้ำหนักสุทธิ อยู่ในเกณฑ์ที่ยอมรับได้ดังนี้

1) ค่าความแปรปรวนของน้ำหนักร่วม ได้ค่าเฉลี่ยของน้ำหนักแคปซูลรวมเท่ากับ 364 ± 14.1 มิลลิกรัมและน้ำหนักของแต่ละแคปซูลอยู่ในช่วงร้อยละ 90–110 ของน้ำหนักค่าเฉลี่ย ดือ มีค่าร้อยละ $93.52\text{--}105.85$ ของค่าเฉลี่ย

2) ค่าความแปรปรวนของน้ำหนักสุทธิ ได้ค่าเฉลี่ยของน้ำหนักสุทธิของสารที่บรรจุเท่ากับ 364 ± 14.1 มิลลิกรัมและน้ำหนักสุทธิของแต่ละแคปซูลมีค่าเท่ากับร้อยละ $93.52\text{--}107.83$ มิลลิกรัม จึงไม่มีแคปซูลใดๆ ที่มีน้ำหนักสุทธิแตกต่างจากค่าเฉลี่ยมากกว่าร้อยละ 10

4.11.3 การวิเคราะห์หาปริมาณสารสำคัญในแคปซูลน้ำมันรำข้าวกำลีมผัว

จากน้ำหนักสุทธิของแกรนูลน้ำมันรำข้าวกำลีมผัวที่บรรจุในแคปซูลมีค่าเฉลี่ยเท่ากับ 364 ± 14.1 มิลลิกรัม จากสูตรคำนวณแกรนูลจำนวนนี้ จะเทียบเท่ากับปริมาณน้ำมันรำข้าวกำลีมผัว

เท่ากับ 90.48 ± 3.50 มิลลิกรัมต่อแคปซูล (ตามทฤษฎี) ในการวิเคราะห์ปริมาณสารสำคัญในแคปซูลน้ำมันรำข้าวกำลังผ่านน้ำ คณะผู้วิจัยได้เลือกวิเคราะห์สารสำคัญ 4 ชนิดคือ แกรมม่า-โไฮชานอล แกรมม่า-โทโคไตรอีนอล แอลฟ่า-โทโคเฟอรอลและแกรมม่า-โทโคเฟอรอล เนื่องจากเป็นสารสำคัญที่พบในปริมาณสูงในน้ำมันรำข้าวกำลังผ่านน้ำ ในการวิเคราะห์ปริมาณสารสำคัญโดยใช้ HPLC ได้ปริมาณสารสำคัญ ดังนี้

1) แกรมม่า-โไฮชานอล	8.70 ± 0.50	มิลลิกรัม/แคปซูล
2) แกรมม่า-โทโคไตรอีนอล	0.15 ± 0.03	มิลลิกรัม/แคปซูล
3) แอลฟ่า-โทโคเฟอรอล	0.05 ± 0.01	มิลลิกรัม/แคปซูล
4) แกรมม่า-โทโคเฟอรอล	0.10 ± 0.02	มิลลิกรัม/แคปซูล

ในส่วนของแกรมม่า-โไฮชานอล ซึ่งเป็นสารสำคัญหลักวิเคราะห์ปริมาณได้เป็นร้อยละ 96.16 ± 3.74 ของค่าตามทฤษฎี โดยคำนวณจากพื้นที่ใต้กราฟของสารสำคัญหลักทั้ง 4 ชนิด ที่ตรวจวิเคราะห์พบในสารมาตรฐานแกรมม่า-โไฮชานอล ซึ่งประกอบด้วย cycloartenyl ferulate, 24-methylenecycloartanyl ferulate, campesteryl ferulate, และ sitosteryl ferulate

4.11.4 การศึกษาการปลดปล่อยสารสำคัญจากแคปซูลชนิดเคลือบเอนเทอเริกในสภาวะจำลองกระเพาะอาหารและลำไส้เล็กส่วนต้น

จากการสุ่มตัวอย่างแคปซูลน้ำมันรำข้าวกำลังผ่านน้ำชนิดเคลือบเอนเทอเริกมาศึกษาการปลดปล่อยสารสำคัญ คือ แกรมม่า-โไฮชานอล แกรมม่า-โทโคไตรอีนอล แกรมม่า-โทโคเฟอรอล และแอลฟ่า-โทโคเฟอรอลในสภาวะที่จำลองทางเดินอาหาร 2 ส่วน คือ กระเพาะอาหารโดยใช้สารละลายตัวกลางในการศึกษา คือ simulated gastric fluid ที่ไม่มีเอนไซม์และมี pH เท่ากับ 1.2 โดยทำการศึกษาในสภาวะนี้นาน 2 ชั่วโมง ตามด้วยการศึกษาการปลดปล่อยสารสำคัญในสภาวะจำลองลำไส้เล็กส่วนต้นในสารละลาย simulated intestinal fluid ที่ไม่มีเอนไซม์และมี pH เท่ากับ 6.8 ซึ่งเป็นบริเวณที่ต้องการให้เกิดการปลดปล่อยตัวยาจากแคปซูลและเกิดการดูดซึมสารสำคัญเข้าสู่ร่างกายที่บริเวณนี้ เนื่องจากสารสำคัญที่พบในน้ำมันรำข้าวกำลังผ่านน้ำชนิดคือ โทโคไตรอีนอล และโทโคเฟอรอลนั้นมีความคงตัวต่ำในกระเพาะอาหารในสภาวะที่เป็นกรดและสภาวะที่มีออกซิเจน (Adam et al., 2007) ทำการทดลองสุ่มตัวอย่างสารละลายมาเตรียมตัวอย่างที่เวลาต่างๆ จนถึง 2 ชั่วโมง ทำการเตรียมตัวอย่างโดยการสกัดสารละลายที่ได้ด้วยสารละลายผสมระหว่างเยกเซนและเอชิลอะซีเตต ทำการระเหยตัวทำละลายออกเพื่อเพิ่มความเข้มข้นให้แก่ตัวอย่างที่จะทำการวิเคราะห์ จากนั้นจึงวิเคราะห์ปริมาณสารสำคัญทั้ง 4 ชนิด ซึ่งประกอบด้วย แกรมม่า-โไฮชานอล แกรมม่า-โทโคไตรอีนอล แกรมม่า-โทโคเฟอรอลและแอลฟ่า-โทโคเฟอรอล โดยใช้ HPLC คำนวณร้อยละของปริมาณสารสำคัญ ดังแสดงค่าร้อยละในตารางที่ 4.19 และนำมาสร้างกราฟการปลดปล่อยตัวในรูปที่ 4.47 – 4.50

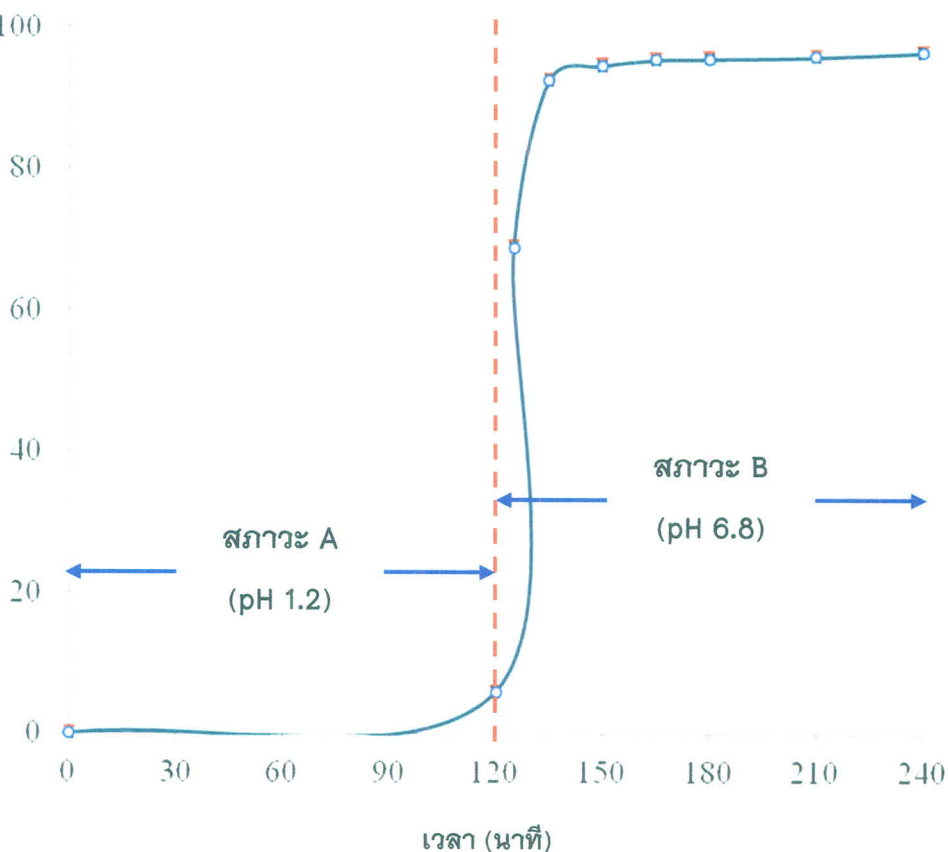
ตารางที่ 4.19 ร้อยละของการปลดปล่อยสารสำคัญจากแคปซูลน้ำมันรำข้าวกำลังผ้า

สภาพทดสอบ	เวลา (นาที)	ร้อยละที่ปลดปล่อย (ค่าเฉลี่ย±ค่าเบี่ยงเบนมาตรฐาน)			
		แกรมม่า- ไฮโดรเจนอล	แกรมม่า- ไฮโดรเจนอล	แอลฟ่า- ไฮโดรเจนอล	แกรมม่า- ไฮโดรเจนอล
SGF pH 1.2	120	5.89±0.34	7.90±1.12	0	6.19±0.89
SIF pH 6.8	125	68.79±2.16	63.64±4.00	57.18±4.28	54.29±2.12
	135	92.42±1.45	89.94±1.68	79.31±2.67	90.15±1.59
	150	94.47±1.08	91.77±1.91	81.61±4.03	91.29±2.43
	165	95.29±0.78	92.42±1.77	83.05±2.97	92.30±1.88
	180	95.43±1.20	92.53±1.58	86.21±3.62	92.68±2.01
	210	94.67±1.15	93.51±1.42	89.08±2.09	94.82±1.21
	240	96.28±0.95	93.72±0.79	88.79±2.38	92.95±1.41

หมายเหตุ SGF – simulated gastric fluid; SIF – simulated intestinal fluid

ร้อยละการปลดปล่อย

แคมม่า-โอไรซานอล

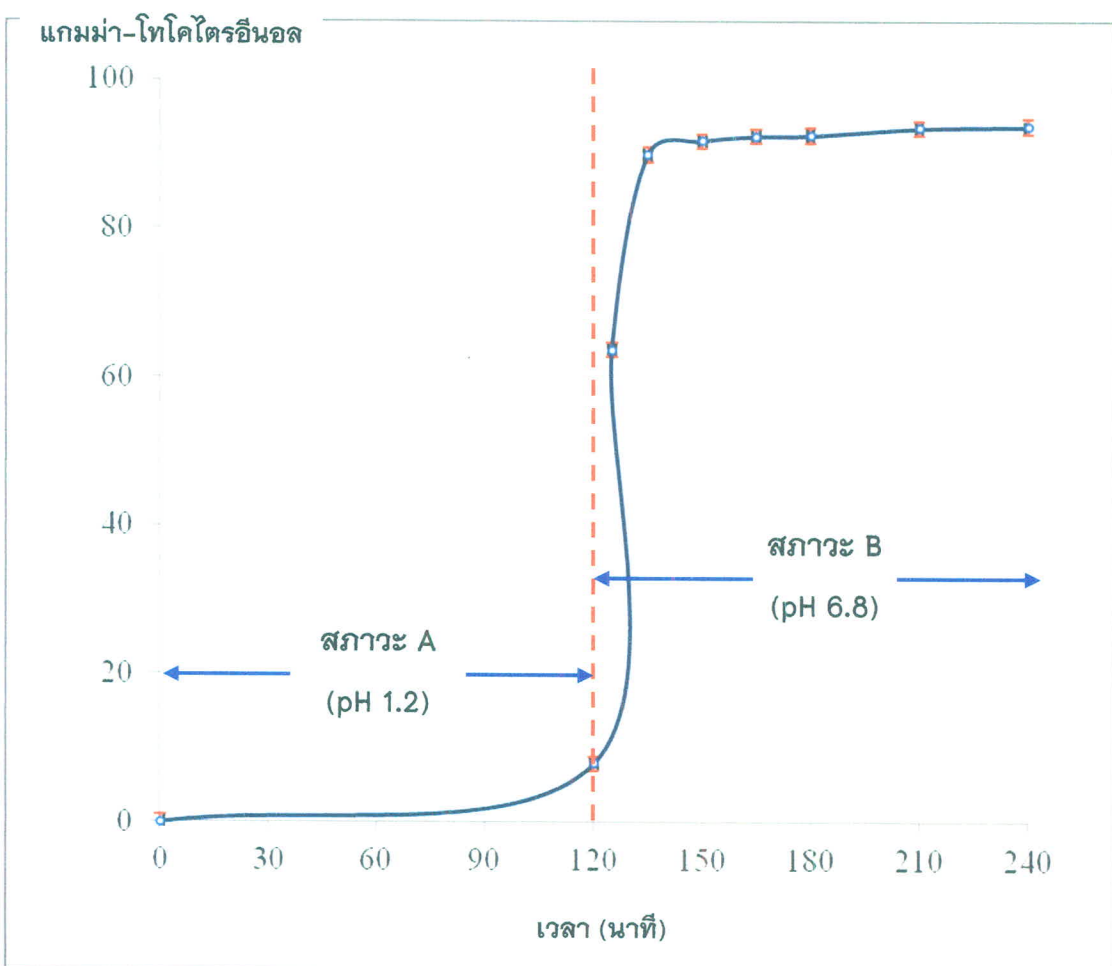


รูปที่ 4.47 ร้อยละ (ค่าเฉลี่ย±ค่าเบี่ยงเบนมาตรฐาน) การปลดปล่อยแคมม่า-โอไรซานอลจากแคปซูลน้ำมันรำข้าวชนิดเคลือบเงินเทอริกในตัวกลางที่จำลองของสภาวะกระเพาะอาหาร (A) และสภาวะจำลองของลำไส้เล็ก (B) ที่เวลาต่างๆ

จากรูปที่ 4.47 แสดงให้เห็นว่าหลังจากเตรียมตัวอย่างสารละลายที่เก็บตัวอย่างจากการทดสอบการละลายและปลดปล่อยสารสำคัญให้มีความเข้มข้นมากขึ้นโดยการสกัดสารสำคัญด้วยสารละลายผสมระหว่าง酢酇และเอธิลอะซีเตต เนื่องจากสารสำคัญที่พบในน้ำมันรำข้าวถูกทำเป็นสารกลุ่มกึ่งมีขั้วนถึงไม่มีข้าว จึงสามารถทำการวิเคราะห์ปริมาณแคมม่า-โอไรซานอลด้วยเทคนิค reversed-phased HPLC ได้อย่างถูกต้องมากขึ้น ดังจะเห็นได้จากค่าส่วนเบี่ยงเบนมาตรฐานในการวิเคราะห์มีค่าค่อนข้างต่ำ (ดังแสดงในตารางที่ 4.19) จากการวิเคราะห์การปลดปล่อยแคมม่า-โอไรซานอลในสภาวะจำลองของกระเพาะอาหารพบว่าการปลดปล่อยแคมม่า-โอไรซานอลออกมาก ร้อยละ 5.89 ± 0.34 ซึ่งมีค่าต่ำกว่าร้อยละ 10 โดยพบว่าการปลดปล่อยแคมม่า-โอไรซานอลเกิดขึ้นอย่างสมบูรณ์คือ มากกว่าร้อยละ 90 ที่บริเวณลำไส้เล็กส่วนต้น (duodenum) ซึ่งมีการปลดปล่อยแคมม่า-โอไรซานอลสูงสุดภายในเวลาประมาณ 35–45 นาทีในสภาวะจำลองลำไส้เล็กส่วนต้น

ร้อยละการปลดปล่อย

แคมม่า-โทโคไตรอีนอล



รูปที่ 4.48 ร้อยละ (ค่าเฉลี่ย±ค่าเบี่ยงเบนมาตรฐาน) การปลดปล่อยแคมม่า-โทโคไตรอีนอลจากแคปซูลน้ำมันรำข้าวกำชันนิดเคลือบเอนเทอเริกในตัวกลางที่จำลองของສภาวะกระเพาะอาหาร (A) และສmatchConditionจำลองของลำไส้เล็ก (B) ที่เวลาต่างๆ

เช่นเดียวกับการวิเคราะห์การปลดปล่อยแคมม่า-โทโคไตรอีนอลจากแคปซูลน้ำมันรำข้าวกำชันนิดเอนเทอเริก จากรูปที่ 4.48 แสดงให้เห็นว่าหลังจากเตรียมตัวอย่างสารละลายที่เก็บตัวอย่างจากการทดสอบการละลายและปลดปล่อยสารสำคัญให้มีความเข้มข้นมากขึ้น จึงสามารถทำการวิเคราะห์ปริมาณแคมม่า-โทโคไตรอีนอลด้วยเทคนิค reversed-phase HPLC โดยใช้ตัวตรวจนัด ชนิดฟลูออเรสเซนต์ได้อย่างถูกต้องมากขึ้น ดังจะเห็นได้จากค่าส่วนเบี่ยงเบนมาตรฐานในการวิเคราะห์มีค่าค่อนข้างต่ำ (ดังแสดงในตารางที่ 4.19) จากการวิเคราะห์การปลดปล่อยแคมม่า-โทโคไตรอีนอลในສmatchConditionจำลองของกระเพาะอาหารพบว่ามีการปลดปล่อยแคมม่า-โทโคไตรอีนอลออกมาร้อยละ 7.90 ± 1.12 ซึ่งมีค่าต่ำกว่าร้อยละ 10 โดยพบร่วมกับการปลดปล่อยแคมม่า-โทโคไตรอีนอลเกิดขึ้นอย่างสมบูรณ์คือมากกว่าร้อยละ 90 ที่บริเวณลำไส้เล็กส่วนต้น (duodenum) ซึ่งมีการปลดปล่อยแคมม่า-โทโคไตรอีนอลสูงสุดภายในเวลาประมาณ 60-90 นาทีในສmatchConditionจำลองลำไส้เล็กส่วนต้น

ร้อยละการปลดปล่อย

แอลฟ่า-โทโคเฟอรอล

100

80

60

40

20

0

สภาพ A
(pH 1.2)

สภาพ B
(pH 6.8)

เวลา (นาที)

0 30 60 90 120 150 180 210 240

รูปที่ 4.49 ร้อยละ (ค่าเฉลี่ย±ค่าเบี่ยงเบนมาตรฐาน) การปลดปล่อยแอลฟ่า-โทโคเฟอรอลจากแคปซูลน้ำมันรำข้าวกำชันนิดเคลือบเงินเทอริกในตัวกลางที่จำลองของสภาวะกระเพาะอาหาร (A) และสภาวะจำลองของลำไส้เล็ก (B) ที่เวลาต่างๆ

เช่นเดียวกับการวิเคราะห์การปลดปล่อยแคมม่า-โอไรซานอลจากแคปซูลน้ำมันรำข้าวกำชันนิดเคลือนเทอริก จากรูปที่ 4.49 แสดงให้เห็นว่าหลังจากเตรียมตัวอย่างสารละลายที่เก็บตัวอย่างจากการทดสอบการละลายและปลดปล่อยสารสำคัญให้มีความเข้มข้นมากขึ้น จึงสามารถทำการวิเคราะห์ปริมาณแอลฟ่า-โทโคไตรอีนอลด้วยเทคนิค reversed-phase HPLC โดยใช้ตัวตรวจวัดชนิดฟลูออเรสเซนต์ได้อย่างถูกต้องมากขึ้น ดังจะเห็นได้จากค่าส่วนเบี่ยงเบนมาตรฐานในการวิเคราะห์มีค่าค่อนข้างต่ำ (ดังแสดงในตารางที่ 4.19) จากการวิเคราะห์การปลดปล่อยแอลฟ่า-โทโคเฟอรอลในสภาวะจำลองของกระเพาะอาหารพบว่าตรวจไม่พบการปลดปล่อยแอลฟ่า-โทโคเฟอรอลออกมากซึ่งมีค่าต่ำกว่าร้อยละ 10 โดยพบว่าการปลดปล่อยแอลฟ่า-โทโคเฟอรอลเกิดขึ้นอย่างสมบูรณ์คือมากกว่าร้อยละ 90 ที่บริเวณลำไส้เล็กส่วนต้น (duodenum) ซึ่งมีการปลดปล่อยแอลฟ่า-โทโคไตรอีนอลสูงสุดภายในเวลาประมาณ 90 นาทีในสภาวะจำลองลำไส้เล็กส่วนต้น

ร้อยละการปลดปล่อย

แคมม่า-ໂໂຄເຟອຣອລ

100

80

60

40

20

0

ສກາວະ B

(pH 6.8)

ສກາວະ A

(pH 1.2)

0

30

60

90

120

150

180

210

240

ເວລາ (ນາທີ)

ຮູບທີ 4.50 ຮູ່ອຍລະ (ຄ່າເຄື່ອງຕ່າງໆ) ການປັດປຸງແກມມ່າ-ໂໂຄເຟອຣອລຈາກແປປູລນໍ້າມັນຮ້າງກໍາໜິດເຄື່ອບເຂອງເຫຼືອຮົກໃນຕົວລາງທີ່ຈຳລອງຂອງສກາວະກະພະອາຫານ (A) ແລະສກາວະຈຳລອງຂອງລຳໄສ້ເລັກ (B) ທີ່ເວລາຕ່າງໆ

ເຊັ່ນເດືອນກັບກາວິເຄຣະທີ່ການປັດປຸງແກມມ່າ-ໂໂຄເຟອຣອລຈາກແປປູລນໍ້າມັນຮ້າງກໍາໜິດເຂອງເຫຼືອຮົກ ຈາກຮູບທີ 4.50 ແສດງໃຫ້ເຫັນວ່າຫລັງຈາກເຕີຍມຕົວອ່າງສາຮະລາຍທີ່ເກີບຕົວອ່າງຈາກກາທສອບກາຮະລາຍແລະປັດປຸງສາຮສຳຄັງໃຫ້ມີຄວາມເຂັ້ມຂັ້ນມາກັ້ນ ຈຶ່ງສາມາດທຳການວິເຄຣະທີ່ປົມມາມແກມມ່າ-ໂໂຄເຟອຣອລດ້ວຍເຖິງເຄີຍກົງ (reversed-phase HPLC) ໂດຍໃຫ້ຕົວຈົວຈັດທີ່ມີພູອອເຣສເໜີຕື່ມືອ່າງຍຸກຕ້ອງມາກັ້ນ ດັ່ງຈະເຫັນໄດ້ຈາກຄ່າສ່ວນເປັນມາຕຽບກັນໃນກາວິເຄຣະທີ່ມີຄ່າຄ່ອນຂ້າງຕໍ່າ (ດັ່ງແສດງໃນຕາງໆທີ່ 4.19) ຈາກກາວິເຄຣະທີ່ການປັດປຸງແກມມ່າ-ໂໂຄເຟອຣອລໃນສກາວະຈຳລອງຂອງກະພະອາຫານພວກເຮົາມີການປັດປຸງແກມມ່າ-ໂໂຄເຟອຣອລອອກມາຮ້ອຍລະ 6.19 ± 0.89 ຊົ່ງມີຄ່າຕໍ່າກວ່າຮ້ອຍລະ 10 ໂດຍພວກເຮົາມີການປັດປຸງແກມມ່າ-ໂໂຄເຟອຣອລເກີດຂຶ້ນອ່າງສົມບູຮົນດີ້ອ ມາກກວ່າຮ້ອຍລະ 90 ທີ່ປະເວັນລຳໄສ້ເລັກສ່ວນຕົນ (duodenum) ຊົ່ງມີການປັດປຸງແກມມ່າ-ໂໂຄເຟອຣອລສູງສຸດກາຍໃນເວລາປະມານ 60–90 ນາທີໃນສກາວະຈຳລອງລຳໄສ້ເລັກສ່ວນຕົນ

จากตารางที่ 4.19 และรูปที่ 4.47-4.50 แสดงการปลดปล่อยสารสำคัญทั้ง 4 ชนิดจากแคปซูลน้ำมันรำข้าวกำชันดิเคลสีอบเนนเทอเริกในสภาวะจำลองกระเพาะอาหารและสภาวะจำลองลำไส้เล็กส่วนต้น คือ แคมม่า-ໂອไรชานอล แคมม่า-ໂโโคไตรีนอล แอลฟ่า-ໂโโคเฟอรอลและแคมม่า-ໂโโคเฟอรอล ตามลำดับ พบร่วมกันในสภาวะจำลองกระเพาะอาหารมีการปลดปล่อยสารสำคัญทั้ง 4 ชนิดน้อยกว่าร้อยละ 10 ซึ่งอยู่ในช่วงที่ยอมรับได้ และการปลดปล่อยสารสำคัญเกิดขึ้นอย่างสมบูรณ์ คือ มากกว่าร้อยละ 90 ที่บริเวณลำไส้เล็กส่วนต้น (duodenum) โดยการปลดปล่อยถึงจุดสูงสุดภายใน 60-90 นาที ในสภาวะจำลองลำไส้เล็กส่วนต้น

4.12 การจัดทำมาตรฐานของผลิตภัณฑ์น้ำมันรำข้าวกำชันดิแคปซูล

การจัดทำมาตรฐานของผลิตภัณฑ์น้ำมันรำข้าวกำชันดิแคปซูล เสริมอาหาร ณ ศูนย์วิทยาศาสตร์การแพทย์ที่ 1 เชียงใหม่ กรมวิทยาศาสตร์การแพทย์ ผลการตรวจวิเคราะห์ดังแสดงในตารางที่ 4.20 และเอกสารการทดสอบดังแสดงในภาคผนวก

ตารางที่ 4.20 ผลการตรวจวิเคราะห์คุณภาพของผลิตภัณฑ์น้ำมันรำข้าวกำชันดิแคปซูล

รายการทดสอบ	ผลการทดสอบ	เกณฑ์กำหนด
ตะไคร้, มก./กก.	0.07	ไม่เกิน 1
สารหนู, มก./กก.	ไม่พบ	ไม่เกิน 2
แอดเมียม, มก./กก.	ไม่พบ	-
<i>Escherichia coli</i> , MPN/ก.	น้อยกว่า 3	น้อยกว่า 3
<i>Clostridium</i> spp./ 0.1 ก.	ไม่พบ	ไม่พบ
<i>Staphylococcus aureus</i> / 0.1 ก.	ไม่พบ	ไม่พบ
<i>Salmonella</i> spp./ 25 ก.	ไม่พบ	ไม่พบ

จากผลการตรวจวิเคราะห์ดังแสดงในตารางที่ 4.20 แสดงให้เห็นว่าผลิตภัณฑ์น้ำมันรำข้าวกำชันดิแคปซูลชนิดเคลสีอบเนนเทอเริกที่ได้ทำการผลิตขึ้นเป็นไปตามมาตรฐานของผลิตภัณฑ์เสริมอาหาร ตามประกาศสำนักงานคณะกรรมการอาหารและยา เรื่อง ผลิตภัณฑ์เสริมอาหาร